

リサイクル燃料備蓄センター設工認
設 1-補-009-01 改 3
2021年7月15日

リサイクル燃料備蓄センター  
設計及び工事の計画の変更認可申請書  
(補足説明資料)

耐震Cクラス施設、設備の耐震、地盤  
に関する説明

令和3年7月  
リサイクル燃料貯蔵株式会社

## 目次

1. 本補足説明資料の目的	1
2. 耐震Cクラス施設、設備の地盤	1
2.1 基本方針	1
2.2 地盤の物性値	2
2.3 直接基礎の許容支持力	2
3. 耐震Cクラス施設、設備の評価	6
3.1 耐震Cクラス施設、設備	6
3.2 耐震Cクラス施設、設備の評価方針	7
4. 使用材料及び材料定数	7
4.1 建物・構築物	7
4.2 機器・配管系	7
5. 荷重及び荷重の組合せ	7
5.1 建物・構築物	7
5.2 機器・配管系	7
6. 許容限界	7
6.1 建物・構築物	7
6.2 機器・配管系	7
6.3 対象設備の評価項目	8
7. 評価方法及び設計用地震力	8
7.1 評価方法	8
7.2 電気設備の設計用地震力	9
8. 評価結果	10
9. 添付資料	12

## 1. 本補足説明資料の目的

本資料は、電気設備をはじめとする耐震Cクラス施設、設備について耐震評価及び地盤について説明を行う。

また、今回申請設備の電気設備について各電気設備の具体的な耐震評価方法について説明を行い、評価の結果を説明するものである。

## 2. 施設、設備の地盤

### 2. 1 基本方針

使用済燃料貯蔵施設（以下「貯蔵施設」という。）は、技術基準規則第6条に適合するため、耐震設計上の重要度に応じた地震力が作用した場合においても当該貯蔵施設を十分に支持することができる地盤に設置されたものとする。

貯蔵施設には、施設に大きな影響を及ぼすような地震の発生によって崩壊するおそれがある斜面は存在せず、貯蔵施設は耐震設計上の重要度に応じた地震力が作用した場合においても当該貯蔵施設を十分に支持することができる地盤に設置される。

貯蔵施設のうち、使用済燃料貯蔵建屋（以下「貯蔵建屋」という。）は杭基礎とし、耐震Bクラス施設に適用される地震力及び基準地震動  $S_s$ による地震力が作用した場合においても貯蔵建屋を十分に支持することができる地盤に設置されたものとする。

貯蔵施設のうち、電気設備をはじめとする耐震Cクラス施設、設備は、耐震Cクラス施設に適用される地震力が作用した場合においても当該施設、設備を十分に支持することができる地盤に設置されたものとする。

耐震Cクラス施設、設備は、貯蔵建屋に設置される耐震Cクラス施設、設備、貯蔵建屋以外の建屋に設置される耐震Cクラス施設、設備、直接地盤に設置される耐震Cクラス施設、設備のいずれかに類別される。

貯蔵建屋に設置される耐震Cクラス施設、設備は、貯蔵建屋に支持させる。貯蔵建屋は杭基礎とし、耐震Bクラス施設に適用される地震力及び基準地震動  $S_s$ による地震力が作用した場合においても当該貯蔵建屋を十分に支持することができる地盤に支持させるため、貯蔵建屋に設置される耐震Cクラス施設、設備は、耐震Cクラス施設に適用される地震力が作用した場合においても当該施設、設備を十分に支持することができる地盤に設置されたものとなる。

貯蔵建屋以外の建屋に設置される耐震Cクラス施設、設備は、当該建屋に支持させる。当該建屋は直接基礎とし、耐震Cクラス施設に適用される地震力と同等である建築基準法に基づく地震力が作用した場合においても当該建屋を十分に支持することができる地盤に支持させるため、貯蔵建屋以外の建屋に設置される耐震Cクラス施設、設備は、耐震Cクラス施設に適用される地震力が作用した場合においても当該施設、設備を十分に支持することができる地盤に設置されたものとなる。

直接地盤に設置される耐震Cクラス施設、設備は直接基礎とし、重量や形状を考慮し、地盤が当該施設、設備を十分に支持することができるものであることを確認する。これにより、建屋外に設置される耐震Cクラス施設、設備は、耐震Cクラス施設に適用される地震力が作用した場合においても当該施設、設備を十分に支持することができる地盤に設置されたものとなる。

地盤の許容応力度及び基礎杭の許容支持力は、建築基準法施行令に示される値を用いる方法、建築基準法施行令の関連告示に示される原位置試験（平板載荷試験等）の方法、建築基礎構造設計指針（（社）日本建築学会）の支持力式で施設、設備の支持地盤の室内土質試験等に基づき算定する方法のいずれかを用いることとし、地盤の状況や、施設、設備の重量や形状等に応じて算定する。

## 2. 2 地盤の物性値

対象施設を設置する地盤の物理特性、強度特性、変形特性等の物性値については、原位置試験及び室内試験から得られた各種物性値を基に設定する。地盤の物性値は、事業変更許可申請書（添付書類四）に記載した値を用いることを基本とする。

地盤の許容応力度及び基礎杭の許容支持力の算定に用いる物性値として、事業変更許可申請書に記載された物性値を「表2-1 地盤の物性値」に、設定根拠を「表2-2 地盤の物性値の設定根拠」に示す。

## 2. 3 直接基礎の許容支持力

直接基礎の極限鉛直支持力を算定するための支持力式（建築基礎構造設計指針）を以下に示す。

$$R_u = q_u \cdot A = (i_c \cdot \alpha \cdot c \cdot N_c + i_\gamma \cdot \beta \cdot \gamma_1 \cdot B \cdot \eta \cdot N_\gamma + i_q \cdot \gamma_2 \cdot D_f \cdot N_q) \cdot A$$

$R_u$	: 直接基礎の極限鉛直支持力 (k N)
$q_u$	: 単位面積当たりの極限鉛直支持力度 (k N/m <sup>2</sup> )
$A$	: 基礎の底面積 (m <sup>2</sup> )
$N_c, N_\gamma, N_q$	: 支持力係数（表2-3参照）
$c$	: 支持地盤の粘着力 (k N/m <sup>2</sup> )
$\gamma_1$	: 支持地盤の単位体積重量 (k N/m <sup>3</sup> )
$\gamma_2$	: 根入れ部分の土の単位体積重量 (k N/m <sup>3</sup> ) ( $\gamma_1, \gamma_2$ には、地下水位以下の場合には水中単位体積重量を用いる)
$\alpha, \beta$	: 基礎の形状係数（表2-4参照）
$\eta$	: 基礎の寸法効果による補正係数
$i_c, i_\gamma, i_q$	: 荷重の傾斜に対する補正係数
$B$	: 基礎幅 (m)
$D_f$	: 根入れ深さ (m)

表2-1 地盤の物性値

	物理特性	強度特性		静的変形特性		動的変形特性			
		湿潤密度 $\rho_t$ (g/cm <sup>3</sup> )	ピーク強度 $C$ (N/mm <sup>2</sup> )	残留強度 $C_r$ (N/mm <sup>2</sup> )	初期変形係数 $E_0$ (N/mm <sup>2</sup> )	静ボアソン比 $\nu$	動せん断弾性係数 $G_0$ (N/mm <sup>2</sup> )	動ボアソン比 $\nu_d$	正規化せん断弾性係数 のひずみ依存性 $G/G_0 \sim \gamma$
盛土・埋土 (bk)	1.75	0.035	0.033	16.4	0.19	50.6	0.49	$\frac{1}{1+(\gamma/0.000495)^{0.860}}$	$\gamma$ $6.06 \cdot \gamma + 0.00455$ + 0.0259
ローム (Lm)	1.47	0.085	0.084	21.8	0.21	231	0.46	$\frac{1}{1+(\gamma/0.000743)^{0.744}}$	$\gamma$ $12.3 \cdot \gamma + 0.00625$ + 0.0226
中位段丘堆積物 (M)	1.79	0.073	0.071	11.6	0.13	71.8	0.49	$\frac{1}{1+(\gamma/0.000463)^{0.796}}$	$\gamma$ $10.9 \cdot \gamma + 0.00270$ + 0.0216
上部砂質・粘性土 (Tn <sub>5</sub> )	1.80	0.231	0.213	29.1	0.19	227	0.48	$\frac{1}{1+(\gamma/0.00151)^{0.775}}$	$\gamma$ $14.2 \cdot \gamma + 0.00876$ + 0.0165
中部砂質土 (Tn <sub>4</sub> )	1.59	0.140	0.116	26.3	0.09	256	0.47	$\frac{1}{1+(\gamma/0.00147)^{0.632}}$	$\gamma$ $13.0 \cdot \gamma + 0.0122$ + 0.0404
中部粘性土 (Tn <sub>3</sub> )	1.91	0.297	0.233	13.4	0.19	284	0.47	$\frac{1}{1+(\gamma/0.00105)^{0.730}}$	$\gamma$ $14.5 \cdot \gamma + 0.00549$ + 0.0252
下部砂質土 (Tn <sub>2</sub> )	1.92	0.621	0.551	172	0.11	376	0.45	$\frac{1}{1+(\gamma/0.000819)^{0.814}}$	$\gamma$ $12.3 \cdot \gamma + 0.00287$ + 0.0094
下部粘性土 (Tn <sub>1</sub> )	1.69	0.277	0.184	106	0.20	333	0.46	$\frac{1}{1+(\gamma/0.00594)^{0.448}}$	$\gamma$ $24.6 \cdot \gamma + 0.00273$ + 0.0116
上部軽石混じり砂岩 (Sn <sub>4</sub> )	1.82	$0.301 - 0.0152 \cdot Z$	$0.300 - 0.0140 \cdot Z$	$104 - 4.91 \cdot Z$	0.15	326 - 5.11 · $Z$	0.45	$\frac{1}{1+(\gamma/0.00173)^{0.809}}$	$\gamma$ $11.7 \cdot \gamma + 0.00784$ + 0.0237
中部軽石混じり砂岩 (Sn <sub>3</sub> )	1.83	$0.728 - 0.00289 \cdot Z$	$0.741 - 0.00239 \cdot Z$	386	0.15	288 - 4.54 · $Z$	0.44	$\frac{1}{1+(\gamma/0.00228)^{0.957}}$	$\gamma$ $5.46 \cdot \gamma + 0.0205$ + 0.0177
火山礫凝灰岩 (Sn <sub>2</sub> )	2.01	1.34	1.24	422	0.19	1,230	0.41	$\frac{1}{1+(\gamma/0.00180)^{0.801}}$	$\gamma$ $6.45 \cdot \gamma + 0.0236$ + 0.0229
下部軽石混じり砂岩 (Sn <sub>1</sub> )	1.77	1.12	1.04	606	0.14	172 - 3.77 · $Z$	0.42	$\frac{1}{1+(\gamma/0.00271)^{0.956}}$	$\gamma$ $6.27 \cdot \gamma + 0.0232$ + 0.0118
	<ul style="list-style-type: none"> <li>・ <math>Z</math> は標高(m)を示す。</li> <li>・ 強度特性(ピーク強度・残留強度)は右図により設定する。 ただし、残留強度の場合は <math>C</math> を <math>C_r</math> に置き換える。</li> <li>・ すべり安全率の算定には、安全側に盛土・埋土(bk), ローム層(Lm), 中位段丘堆積物(M)の強度は無視する。</li> </ul>								

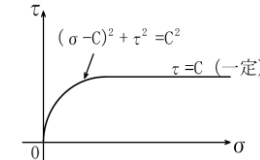


表 2-2 地盤の物性値の設定根拠

	物理特性	強度特性		静的変形特性		動的変形特性		
		湿潤密度 $\rho_t$	ピーク強度 $C$	残留強度 $C_r$	初期変形係数 $E_0$	静ボアソン比 $\nu$	動せん断弾性係数 $G_0$	動ボアソン比 $\nu_d$
盛土・埋土 (bk)								
ローム (Lm)	ブロック試料から採取した供試体の湿潤密度							
中位段丘堆積物 (M)								
上部砂質・粘性土 ( $Tn_5$ )								
中部砂質土 ( $Tn_4$ )								
中部粘性土 ( $Tn_3$ )								
下部砂質土 ( $Tn_2$ )								
下部粘性土 ( $Tn_1$ )	ボーリングコア試料から採取した供試体の湿潤密度							
上部軽石混じり砂岩 ( $Sn_4$ )								
中部軽石混じり砂岩 ( $Sn_3$ )								
火山礫凝灰岩 ( $Sn_2$ )								
下部軽石混じり砂岩 ( $Sn_1$ )								
	動的FEM解析は、動せん断弾性係数 $G_0$ 及び動ボアソン比 $\nu_d$ からあらかじめ体積弾性係数 $K$ を求めておき、 $G_0$ が変動しても $K$ は常に初期値一定になるように、 $\nu_d$ を変更する手法(体積弾性係数 $K$ 一定)を用いている。 $K = \frac{2(1+\nu_d)}{3(1-2\nu_d)} \cdot G_0$ 盛土・埋土 (bk) は砂質土と粘性土から構成されることから、それぞれについて物性値を設定し、解析用物性値は両者の平均値とした。							

第2-3表 支持力係数

$\phi$	$N_c$	$N_\gamma$	$N_q$
0°	5.1	1.0	0.0
5°	6.5	1.6	0.1
10°	8.3	2.5	0.4
15°	11.0	3.9	1.1
20°	14.8	6.4	2.9
25°	20.7	10.7	6.8
28°	25.8	14.7	11.2
30°	30.1	18.4	15.7
32°	35.5	23.2	22.0
34°	42.2	29.4	31.1
36°	50.6	37.8	44.4
38°	61.4	48.9	64.1
40° 以上	75.3	64.2	93.7

51

第2-4表 形状係数

基礎底面 の形状	連 続	正方形	長方形	円 形
$\alpha$	1.0	1.2	$1.0 + 0.2 B/L$	1.2
$\beta$	0.5	0.3	$0.5 - 0.2 B/L$	0.3

B : 長方形の短辺長さ, L : 長方形の長辺長さ

### 3. 耐震Cクラス施設、設備の評価

#### 3. 1 耐震Cクラス施設、設備

設備分類		今回申請	次回申請	
構築物・建物	建物	—	廃棄物貯蔵室	
	構築物	—	—	
機器・配管系	容器	軽油貯蔵タンク	空気貯槽	
			空気除湿装置	
			除湿装置 前置フィルタ	
			除湿装置 後置フィルタ	
	ポンプ	—	冷却水系統 (冷却水ポンプ)	
	圧縮機	—	空気圧縮機	
	架台	—	仮置架台	
			たて起こし架台	
			検査架台	
	配管	—	圧縮空気主配管	
	電気計装機器	無停電電源装置	蓋間圧力検出器	
		共用無停電電源装置	表面温度検出器	
		電気設備 (常用電源設備) ※予備電源から給電が必要な負荷までの母線を含む電路とした範囲	給排気温度検出器	
			表示・警報装置	
			代替計測用計測器	
			ガンマ線エリアモニタ	
			中性子線エリアモニタ	
			モニタリングポスト	
			モニタリングポイント	
			放射線サーベイ機器	
			出入管理設備	
			個人管理用測定設備 (個人線量計)	
通信連絡設備		—	通信連絡設備	
避難通路		—	誘導灯 安全避難用扉	
消防用設備		—	消火器 防火水槽 防火シャッタ 防火扉 動力消防ポンプ	
避雷設備		—	棟上導体	
車両		電源車	—	

### 3. 2 耐震Cクラス施設、設備の評価方針

耐震Cクラス施設、設備の直接支持構造物及び間接支持構造物について、要求させる設計用地震力、荷重の組合せと許容限界を考慮し、評価する方針とする。

## 4. 使用材料及び材料定数

### 4. 1 建物・構築物

原子力発電所耐震設計技術指針（J E A G 4 6 0 1－1987）（日本電気協会 電気技術基準調査会 昭和62年8月）（以下「J E A G 4 6 0 1」という。）、建築基準法・同施行令及び鉄筋コンクリート構造計算基準・同解説（日本建築学会 1999改定）（以下「R C基準」という。）の規定に基づく、材料及び材料定数を使用する。

### 4. 2 機器・配管系

J E A G 4 6 0 1 及び発電用原子力設備規格（設計・建設規格 J S M E S N C 1－2005）（日本機械学会 2005年9月）（以下「設計・建設規格」という。）の規定に基づく、材料及び材料定数を使用する。

## 5. 荷重及び荷重の組合せ

### 5. 1 建物・構築物

J E A G 4 6 0 1、建築基準法・同施行令及びR C基準に規定されている地震力以外の荷重を考慮する。また、J E A G 4 6 0 1及び建築基準法・同施行令の荷重の組合せの考え方に基づき、地震力と地震力以外の荷重を組み合わせて評価する。

### 5. 2 機器・配管系

J E A G 4 6 0 1 及び設計・建設規格に規定されている地震力以外の荷重を考慮する。また、J E A G 4 6 0 1の荷重の組合せの考え方に基づき、地震力と地震以外の荷重を組み合わせて評価する。

今回申請設備の電気設備については、貯蔵時の状態で作用する荷重、金属キャスク取り扱いの状態で作用する荷重はないため、静的地震力と常時作用している荷重、すなわち死荷重を組み合わせる。

## 6. 許容限界

### 6. 1 建物・構築物

J E A G 4 6 0 1、建築基準法・同施行令及びR C基準の規定に基づき、施設に応じた許容限界を設定する。

### 6. 2 機器・配管系

J E A G 4 6 0 1 及び設計・建設規格に基づき、設備に応じた許容限界を設定する。

### 6. 3 対象設備の評価項目

今回申請設備である電気設備について評価項目を以下に示す。なお、次回申請設備については次回申請にて評価項目を示す。

設備分類		設備名称		評価部位	許容限界	
機器・配管系	電気計装機器	無停電電源装置	基礎ボルト (注1)	一次応力	せん断	
		共用無停電電源装置				
		電気設備(常用電源設備)				
	容器	軽油貯蔵タンク	タンク本体	胴	一次一般膜応力	
					一次応力	
			タンク室	固定バンド	一次応力	引張り
				アンカーボルト	一次応力	引張り
		タンク室	鉄筋	鉄筋	地震時応力	引張り
				コンクリート	地震時応力	圧縮
						せん断
車両		電源車	(評価対象物) 電源車	(許容状態) 地震力による車両の移動がないこと。(注2)		

(注1) 一般的に電気盤の耐震評価は据付部のボルトを評価対象としており、使用済燃料貯蔵施設における電気計装機器の盤についても同様としている。電気計装機器の盤について、筐体は、鉄板とフレームで構成された構造で、その構造強度は十分大きいものである。そのためCクラスの地震力に対して転倒しないことを確認するため、基礎ボルトを評価する。

(注2) 水平地震力が路面とタイヤの摩擦力を下回ることにより確認する。

### 7. 評価方法及び設計用地震力

#### 7. 1 評価方法

今回申請設備である電気設備について評価方法を以下に示す。なお、次回申請設備については次回申請にて評価方法を示す。

##### (1) 盤

無停電電源装置、共用無停電電源装置、電気設備(常用電源)は盤で構成された設備である。盤は基礎ボルトで固定されており、耐震計算については水平地震力に対する基礎ボルトのせん断応力の評価を行う。また、ベースの上に複数の盤が据付けられている場合は、ベース単位で評価を行う。評価の具体例を添付1に示す。

##### (2) 軽油貯蔵タンク

軽油貯蔵タンクは、両端に鏡板を有する横置円筒型容器である。タンクをタンク室内の基礎台に載せ、胴を固定バンドで固定し、固定バンドをアンカーボルトで基礎台に据え付ける。タンクが軸

直角方向に作用する水平方向地震力を受けた場合が最も保守的と考え、この時の胴、固定バンド、アンカーボルトについて評価を行う。

タンク室の鉄筋コンクリート部については、地震時の土圧を考慮した荷重により生じる鉄筋及びコンクリートの応力について評価を行う。評価を添付2に示す。

### (3) 電源車

電源車については、Cクラス施設、設備の設計用地震力により横滑りしないことを評価することにより電源車が有する安全機能を損なわないことの確認を行う。評価を添付3に示す。

## 7. 2 電気設備の設計用地震力

耐震Cクラスである電気設備の設計用地震力は静的地震力とする。

電気設備は、貯蔵建屋、受変電施設、施設南側高台及び南東側高台に設置される。各建屋、設置場所における水平震度について以下に記載する。

### (1) 貯蔵建屋内の耐震Cクラス設備における水平震度

貯蔵建屋内に設置される無停電電源装置、電気設備（常用電源）の水平震度について「表7-2 貯蔵建屋内の耐震Cクラス設備における水平震度（ $1.2C_i$ ）」に記載する。

なお、記載する水平震度については「添付5-1 申請設備に係る耐震設計の基本方針」（以下「耐震設計の基本方針」とする。）に記載の地震層せん断力係数： $C_i$ に1.2（耐震Cクラスの耐震設計上の重要度分類に応じた係数1.0を乗じ20%増しした値）を乗じた値を記載する。

表7-2 貯蔵建屋内の耐震Cクラス設備における水平震度（ $1.2C_i$ ）

T. P. (m)	水平震度	
	NS	EW
43.5	0.324	0.281
39.3	0.269	0.271
33.22	0.257	0.262
29.22	0.24	0.24
16.3		

(2) 受変電施設に設置される電気設備の水平震度

受変電施設は地表面に設置されており、1階のみの構造である。そのため受変電施設に設置される共用無停電電源装置の水平震度は「表7-2 貯蔵建屋内の耐震Cクラス設備における水平震度(1.2C<sub>i</sub>)」のT.P. 16.3 (m)と同様の値となり、NS, EWともに0.24である。

(3) 南側高台に設置される電気設備の水平震度

南側高台に配置、設置する設備は、電源車である。

電源車の配置面は地表面であり、電源車の水平震度は「表7-2 貯蔵建屋内の耐震Cクラス設備における水平震度(1.2C<sub>i</sub>)」のT.P. 16.3 (m)と同様の値となり、NS, EWともに0.24である。

(4) 南東側高台に設置される電気設備の水平震度

軽油貯蔵タンク(地下式)の水平震度は、「表7-2 貯蔵建屋内の耐震Cクラス設備における水平震度(1.2C<sub>i</sub>)」のT.P. 16.3 (m)の値である0.24とする。

## 8. 評価結果

今回申請設備である電気設備については評価の結果、全ての評価部位について発生応力が許容応力以下であることを確認した。

また、電源車については路面と電源車の摩擦力が、耐震Cクラス設備における水平震度(1.2C<sub>i</sub>)に基づく地震力を上回り、電源車の滑動が生じることはなく、耐震Cクラス設備における水平震度(1.2C<sub>i</sub>)に基づく地震力に耐えうるものとなっていることを確認した。

評価結果を以下に示す。

(1) 盤

a. 無停電電源装置

盤名称	設計用 水平地 震力 1.2Ci	水平方向荷重 Goh [N]	基礎ボルトにか かる せん断応力 $\tau$ [MPa]	SS400のボル トの許容応力 f sb [MPa]	判定
充電器盤	0.262	6166.5	5.12	135	良
整流器盤					
インバータ盤	0.262	4367.9	3.63	135	良
出力盤					
蓄電池盤1・2	0.262	16443.8	3.72	135	良
蓄電池盤3・4	0.262	16443.8	3.72	135	良
蓄電池盤5	0.262	5652.6	3.52	135	良

b. 共用無停電源装置

盤名称	設計用 水平地 震力 1.2Ci	水平方向荷重 Goh [N]	基礎ボルトにか かるせん断応力 $\tau$ [MPa]	SS400 のボル トの許容応力 $f_{sb}$ [MPa]	判定
出力盤	0.24	4707.2	3.91	135	良
バイパス入力盤					
インバータ盤	0.24	4707.2	3.91	135	良
充電器盤	0.24	7766.9	6.45	135	良
蓄電池用ラック 1	0.24	28059.6	12.42	135	良
蓄電池用ラック 2	0.24	30116.7	13.40	135	良

(2) 軽油貯蔵タンク

a. 軽油貯蔵タンク

(単位 : MPa)

部位	材料	応力	計算応力	許容応力	判定
胴板	SS400	一次一般膜	$\sigma_0 = 7$	$S_a = 208$	良
		一次	$\sigma_1 = 7$	$S_a = 208$	良
固定バンド	SS400	引張り	$\sigma_{FB} = 48$	$f_t = 208$	良
アンカー ボルト	SS400	引張り	$\sigma_b = 47$	$f_{to} = 156$	良

b. 軽油貯蔵タンク室

○曲げモーメント

$$\begin{aligned}
 \text{必要鉄筋断面積 } As_a &= M / (7/8 \cdot ft \cdot d) \\
 &= 29.58 \times 10^6 / (7/8 \times 265 \times 240) \\
 &= 532 \text{ (mm}^2/\text{m})
 \end{aligned}$$

ft : 鉄筋の許容引張応力 (kN/mm<sup>2</sup>)

d : 有効高さ (部材高さ h (300mm) - 鉄筋被り dt (60mm)) (mm)

配筋は D13@200 で鉄筋断面積は 634 (mm<sup>2</sup>/m) あり, 必要鉄筋断面積 532 (mm<sup>2</sup>/m) を上回る。

(発生応力/許容応力 : 0.84)

○せん断力

$$\begin{aligned}
 \text{せん断応力度 } \tau &= Q / (b \cdot h) \\
 &= 57.95 \times 10^3 / (1000 \times 300) \\
 &= 0.20 \text{ (N/mm}^2)
 \end{aligned}$$

b : 部材幅 (mm)

せん断応力度 0.20 (N/mm<sup>2</sup>) は、コンクリートの短期許容せん断応力度 1.05 (N/mm<sup>2</sup>) を下回り、許容値以内となる。

(発生応力/許容応力 : 0.20)

以上より、タンク室は、水平震度 0.30 の地震力により鉄筋及びコンクリートに生じる応力が許容応力以内となることから、耐震Cクラス設備に求められる地震力（水平震度 0.24）により鉄筋及びコンクリートに生じる応力も許容応力以内となる。

### (3) 電源車

#### 電源車の横滑り発生に必要な荷重

$$\begin{aligned} F &= \mu s \cdot m \cdot g \\ &= 3.45194 \times 10^4 \text{ (N)} \cdots \cdots \cdots \textcircled{1} \end{aligned}$$

#### 設計地震力の加速度によって発生する水平方向の荷重

$$\begin{aligned} F &= m \cdot a \\ &= 1.88288 \times 10^4 \text{ (N)} \cdots \cdots \cdots \textcircled{2} \end{aligned}$$

上記①と②を比較すると、①>②の関係になり、路面と電源車の摩擦力が、耐震Cクラス設備における水平震度 (1.2C<sub>i</sub>) に基づく地震力を上回り、電源車の滑動が生じることはない。

以上のことから、電源車は耐震Cクラス設備における水平震度 (1.2C<sub>i</sub>) に基づく地震力に耐えるものとなっていることを確認した。

## 9. 添付資料

添付 1：無停電電源装置及び共用無停電電源装置の耐震性についての計算書

添付 2：軽油貯蔵タンクの耐震性についての計算書

添付 3：電源車の耐震性についての計算書

## 無停電電源装置（予備電源）の耐震計算書

### 1. はじめに

無停電電源装置は、複数の盤で構成された耐震 C クラスの設備である。盤はボルトで固定されており、耐震計算としては水平地震力に対するボルトのせん断応力の評価を行う。また、ベースの上に複数の盤が据付けられている場合は、ベース単位で評価を行う。

耐震計算は以下のとおり行うものとする。

### 2. 計算方法

#### (1) 盤の仕様

盤名称	盤重量 W [kg]	基礎ボルト本数 Nb [本]	基礎ボルト 材質	基礎ボルト呼径 と軸面積 Ab [mm <sup>2</sup> ]
充電器盤	2400	6	SS400	M16 201
整流器盤				
インバータ盤		6		
出力盤				
蓄電池盤 1・2		22		
蓄電池盤 3・4		22		
蓄電池盤 5		8		

#### (2) 設計条件

盤名称	耐震クラス	据付場所及び 床面高さ (m)	水平方向 設計震度	最高使 用温度 (°C)	周囲環境 温度 (°C)
充電器盤					
整流器盤					
インバータ盤					
出力盤	C クラス	使用済燃料 貯蔵建屋 T.P. +21.6	0.262	—	40
蓄電池盤 1・2					
蓄電池盤 3・4					
蓄電池盤 5					

設計用水平地震力  $1.2 \times C_i$

地震層せん断力係数  $C_i = 0.218$

(設置床レベルが中間階の T.P. +21.6m であることから、 $C_i$  は T.P. 29.22m～33.22m の 0.218 (EW) と 0.214 (NS) の大きい値を用いる)

(3) 盤にかかる荷重

設計用水平地震力により盤に水平方向にかかる荷重を以下の通り計算する。

$$\text{水平方向荷重 } G_{oh} = 1.2 C_i \times W \times 9.80665$$

(4) 基礎ボルトの許容応力

ボルトの材質は、SS400である。

SS400のボルトの設計・建設規格により定める基準値Fは、

$$F = 235$$

許容せん断応力  $f_{sb}$  は、

$$f_{sb} = F / (1.5 \cdot \sqrt{3}) \times 1.5 \\ \approx 135 \text{ MPa}$$

(5) 基礎ボルトにかかるせん断応力

$$\text{基礎ボルトにかかるせん断応力 } \tau = G_{oh} / (N_b \times A_b)$$

(6) 判定

$\tau \leq f_{sb}$  の場合、良と判断する。

(7) 基礎ボルトにかかる引張力

耐震Cクラス設備における水平地震力による基礎ボルトへの引張力は盤の荷重より小さいことから  
基礎ボルトにかかる引張力は発生しない。

### 3. 耐震計算結果

(1) 無停電電源装置の各盤の計算結果

盤名称	設計用水平 地震力 $1.2 C_i$	水平方向荷重 $G_{oh}$ [N]	基礎ボルトに かかる せん断応力 $\tau$ [MPa]	SS400のボ ルトの許容 応力 $f_{sb}$ [MPa]	判定
充電器盤	0.262	6166.5	5.12	135	良
整流器盤					
インバータ盤	0.262	4367.9	3.63	135	良
出力盤					
蓄電池盤1・2	0.262	16443.8	3.72	135	良
蓄電池盤3・4	0.262	16443.8	3.72	135	良
蓄電池盤5	0.262	5652.6	3.52	135	良

## 共用無停電電源装置（予備電源）の耐震計算書

### 1. はじめに

共用無停電電源装置は、複数の盤で構成された耐震 C クラスの設備である。盤はボルトで固定されており、耐震計算としては水平地震力に対するボルトのせん断応力の評価を行う。また、ベースの上に複数の盤が据付けられている場合は、ベース単位で評価を行う。

耐震計算は以下のとおり行うものとする。

### 2. 計算方法

#### (1) 盤の仕様

盤名称	盤重量 W [kg]	基礎ボルト本数 Nb [本]	基礎ボルト 材質	基礎ボルト呼径 と軸面積 Ab [mm <sup>2</sup> ]
出力盤	2000	6	SS400	M16 201
バイパス入力盤				
インバータ盤	2000	6	SS400	M16 201
充電器盤	3300	6	SS400	M16 201
蓄電池用ラック 1	11922	20	SS400	M12 113
蓄電池用ラック 2	12796	20	SS400	M12 113

#### (2) 設計条件

盤名称	耐震クラス	据付場所及び 床面高さ (m)	水平方向 設計震度	最高使用 温度 (°C)	周囲環境 温度 (°C)
出力盤					
バイパス入力盤					
インバータ盤	C クラス	受変電施設 T. P. + 16. 4 (地表面に設置 された 1 階のみ の構造)	0. 24	—	40
充電器盤					
蓄電池用ラック 1					
蓄電池用ラック 2					

設計用水平地震力  $1.2 \times C_i$

地震層せん断力係数  $C_i = 0.2$

#### (3) 盤にかかる荷重

設計用水平地震力により盤に水平方向にかかる荷重を以下の通り計算する。

水平方向荷重  $G_{oh} = 1.2 C_i \times W \times 9.80665$

#### (4) 基礎ボルトの許容応力

ボルトの材質は、SS400である。

SS400のボルトの設計・建設規格により定める基準値Fは、

$$F = 235$$

許容せん断応力 $f_{sb}$ は、

$$\begin{aligned} f_{sb} &= F / (1.5 \cdot \sqrt{3}) \times 1.5 \\ &\doteq 135 \text{ N/mm}^2 \end{aligned}$$

#### (5) 基礎ボルトにかかるせん断応力

基礎ボルトにかかるせん断応力 $\tau = Goh / (Nb \times Ab)$

#### (6) 判定

$\tau \leq f_{sb}$  の場合、良と判断する。

### 3. 耐震計算結果

#### (1) 無停電電源装置の各盤の計算結果

盤名称	設計用 水平地 震力 $1.2 C_i$	水平方向荷重 $Goh$ [N]	基礎ボルトにか かるせん断応力 $\tau$ [MPa]	SS400のボル トの許容応力 $f_{sb}$ [MPa]	判定
出力盤	0.24	4707.2	3.91	135	良
バイパス入力盤					
インバータ盤	0.24	4707.2	3.91	135	良
充電器盤	0.24	7766.9	6.45	135	良
蓄電池用ラック 1	0.24	28059.6	12.42	135	良
蓄電池用ラック 2	0.24	30116.7	13.40	135	良

## 軽油貯蔵タンク（地下式）の耐震性に関する計算書

### 1. 概要

本計算書は、軽油貯蔵タンク（地下式）が設計用地震力に対して十分な構造強度を有していることを説明するものである。

### 2. 適用基準

本計算書においては、発電用原子力設備規格（設計・建設規格 J S M E S N C 1 – 2012）（日本機械学会 2012年12月）（以下「設計・建設規格」という。）、原子力発電所耐震設計技術指針（重要度分類・許容応力編 J E A G 4 6 0 1・補-1984 及び J E A G 4 6 0 1-1987）（日本電気協会 電気技術基準調査委員会 昭和59年9月及び昭和62年8月）及び危険物の規制に関する規則（昭和34年総理府令第55号）を適用して評価する。

### 3. 計算条件

#### 3.1 計算条件

##### (1) 軽油貯蔵タンク（地下式）の構造

軽油貯蔵タンク（地下式）の概要図を図3-1に示す。

タンクは、両端に鏡板を有する横置円筒形容器である。タンクをタンク室内の基礎台に載せ、胴を固定バンドで固定し、固定バンドをアンカーボルトで基礎台に据え付ける。タンク室内は乾燥砂を敷き詰める。

タンクが軸直角方向に作用する水平方向地震力を受けた場合に、固定バンドはタンクが軸直角方向へ回転しようとする力を支え、アンカーボルトは固定バンドを引っ張り、その力を支える。

長手方向の水平方向地震力には、タンクと基礎台、タンクと固定バンドの摩擦力があるものの固定する部分ではなく、タンク室内に敷き詰めた乾燥砂によりタンクの移動が制限されることにより固定バンドおよびアンカーボルトが受けもつ力は小さいため、タンクが軸直角方向に作用する水平方向地震力を受けた場合が最も保守的と考え、この時の胴、固定バンド、アンカーボルトについて評価を行う。

##### (2) 乾燥砂の影響

タンクが軸直角方向に作用する水平方向地震力を受けた場合の評価は、タンク重量、液荷重に加え、乾燥砂重量によりタンク中心に集中荷重が発生するものとする。

但し、タンク室内に敷き詰めた乾燥砂によりタンクの移動が制限される事象は考慮しない（保守的な条件とする）。

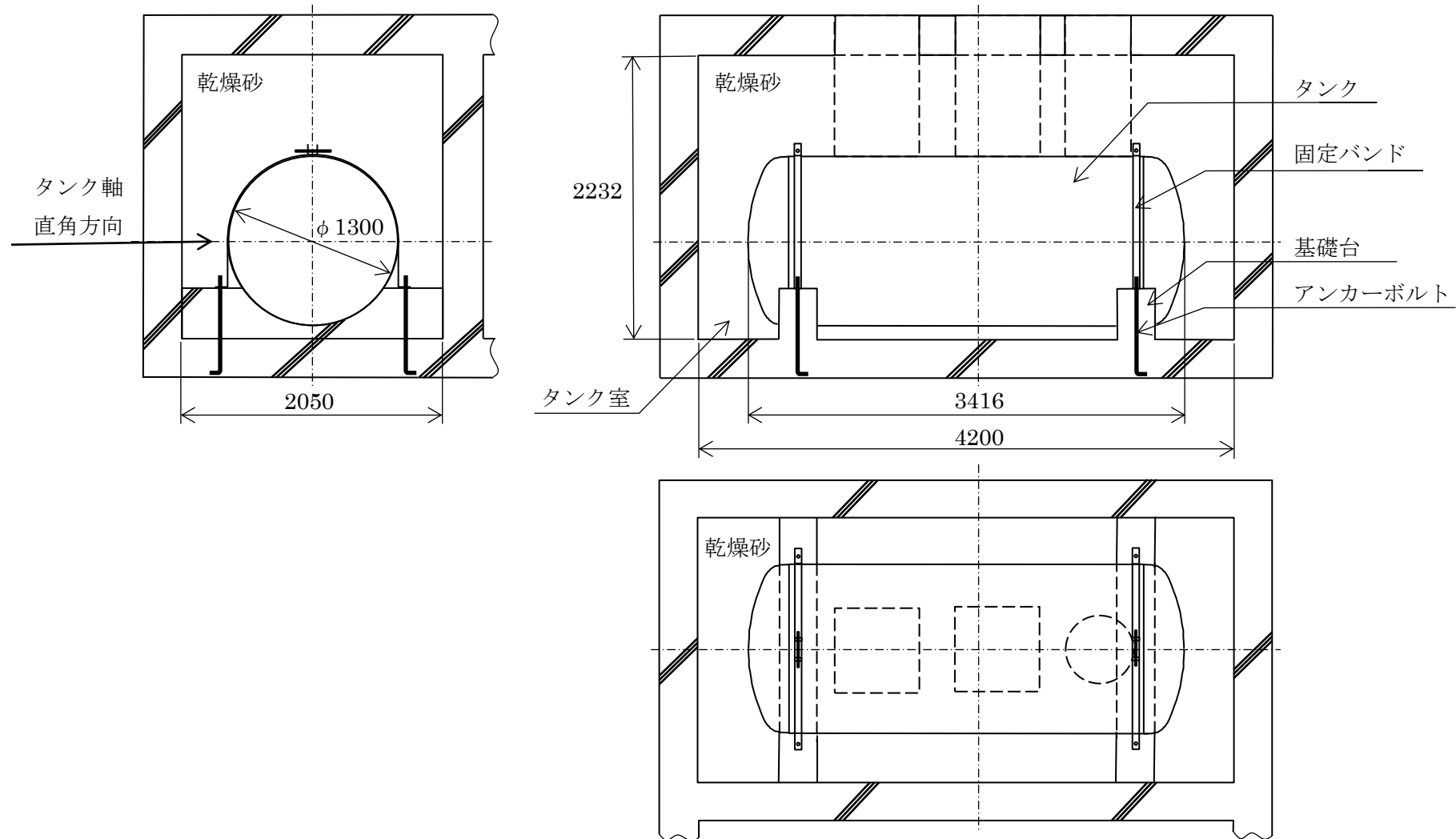


図 3-1 軽油貯蔵タンク（地下式）の概要図

### 3.2 記号の説明

記号	記号の説明	単位
$A_b$	アンカーボルトのねじ部の有効断面積	mm <sup>2</sup>
$A_{FB}$	固定バンドの所要断面積	mm <sup>2</sup>
$B_i$	タンク室の内法幅	mm
$b_T$	タンクの支持点の間隔（軸直角方向）	mm
$b_M$	アンカーボルトとタンクの支持点の間隔（軸直角方向）	mm
$C_H$	水平方向震度設計震度	—
$D_0$	タンクの外径	mm
$D_i$	胴の内径	mm
$d$	アンカーボルトのねじ部の谷径	mm
$d_B$	アンカーボルト中心間距離（軸直角方向）	mm
$F$	設計・建設規格 SSB-3121.1(1)に定める値	MPa
$F_H$	タンクの軸直角方向に作用する水平方向地震力	N
$f_t$	固定バンドの許容引張応力	MPa
$f_{to}$	引張力のみを受けるアンカーボルトの許容引張応力	MPa
$g$	重力加速度 (=9.80665)	m/s <sup>2</sup>
$H$	水頭（油液位）	mm
$H_i$	タンク室の内法高さ	mm
$h_2$	基礎台とタンクの支点から胴中心までの高さ	mm
$h_S$	乾燥砂被りの深さ	mm
$L$	タンクの胴の長さ	mm
$L_i$	タンク室の内法長さ	mm
$M_c$	タンクの支点のモーメント	MPa
$m_0$	タンクの質量	kg
$n$	固定バンドの本数	—
$P_G$	タンクに生じる内圧	MPa
$P_L$	タンクに生じる静水圧	MPa
$P_r$	最高使用圧力	MPa
$P_s$	乾燥砂重量によりタンクに生じる外圧	MPa
$P_T$	定期点検（漏れの点検）によりタンクに生じる外圧	MPa
$R$	固定バンド、アンカーボルトに発生する荷重	N
$S$	許容引張応力、材料規格 Part3 第1章 表3に規定される値	MPa
$S_a$	胴の許容応力	MPa
$S_u$	設計引張強さ、材料規格 Part3 第1章 表7に規定される値	MPa
$S_y$	設計降伏点、材料規格 Part3 第1章 表6に規定される値	MPa
$t$	胴板の厚さ	mm

記号	記号の説明	単位
$t_s$	タンクの外殻の厚さ	mm
$V$	タンクの実容量	ℓ
$V_s$	乾燥砂の容量	mm <sup>3</sup>
$V_T$	タンクの容積	mm <sup>3</sup>
$W_1$	タンクの重量	N
$W_2$	液の重量	N
$W_3$	乾燥砂の重量	N
$\pi$	円周率 (=3. 14159)	—
$\rho_1$	液体の密度 (=比重×10 <sup>-6</sup> )	—
$\rho_2$	乾燥砂の密度 (=比重×10 <sup>-6</sup> )	—
$\sigma_0$	胴の一次一般膜応力の最大値	MPa
$\sigma_1$	胴の一次応力の最大値	MPa
$\sigma_b$	アンカーボルトに生じる引張応力の最大値	MPa
$\sigma_{FB}$	固定バンドに生じる引張応力の最大値	MPa
$\sigma_{x1}$	内圧又は静水頭により胴に生じる軸方向応力	MPa
$\sigma_{xs}$	乾燥砂重量又は定期点検（漏れの点検）により胴に生じる軸方向応力	MPa
$\sigma_{\phi 1}$	内圧又は静水頭により胴に生じる周方向応力	MPa
$\sigma_{\phi s}$	乾燥砂重量又は定期点検（漏れの点検）により胴に生じる周方向応力	MPa

### 3.3 計算精度と数値の丸め方

精度は、有効数字 6 桁以上を確保する。

表示する数値の丸め方は表 3-1 に示すとおりである。

表 3-1 表示する数値の丸め方

数値の種類	単位	処理桁	処理方法	表示桁
震度	—	小数点以下第 3 位	切上げ	小数点以下第 2 位
温度	℃	—	—	整数位
比重	—	小数点以下第 3 位	四捨五入	小数点以下第 2 位
質量	kg	—	—	整数位
重量	N	有効数字 5 桁目	切上げ	有効数字 4 桁 <sup>*2</sup>
長さ	下記以外の長さ	mm	—	整数位 <sup>*1</sup>
	胴板の厚さ	mm	—	小数点以下第 1 位
面積	mm <sup>2</sup>	有効数字 5 桁目	四捨五入	有効数字 4 桁 <sup>*2</sup>
容積	mm <sup>3</sup>	有効数字 5 桁目	四捨五入	有効数字 4 桁 <sup>*2</sup>
モーメント	N・mm	有効数字 5 桁目	四捨五入	有効数字 4 桁 <sup>*2</sup>
算出応力	MPa	小数点以下第 1 位	切上げ	整数位
許容応力 <sup>*3</sup>	MPa	小数点以下第 1 位	切上げ	整数位

注記\*1：設計上定める値が小数点以下第 1 位の場合は、小数点以下第 1 位表示とする。

\*2：絶対値が 1000 以上のときは、べき数表示とする。

\*3：設計・建設規格 付録材料図表に記載された温度の中間における引張強さ及び降伏点は、比例法により補間した値の小数点以下第 1 位を切り捨て、整数位までの値とする。

## 4. 構造強度評価

### 4.1 構造強度評価方法

3.1 の条件で計算する。概要図を 4-1 に示す。

軽油貯蔵タンク（地下式）の構造強度評価は、横置円筒型容器の耐震計算方法を参考に行う。

### 4.2 設計用地震力

「静的震度」による地震力は、原子力発電所耐震設計技術規程に基づき設計する。

耐震重要度分類Cクラスの機器・配管系の耐震設計に適用する静的地震力は、水平地震力とする。

$$\begin{aligned} C_H &= 1.2 \cdot C_i \\ &= 1.2 \times 0.2 \\ &= 0.24 [-] \end{aligned}$$

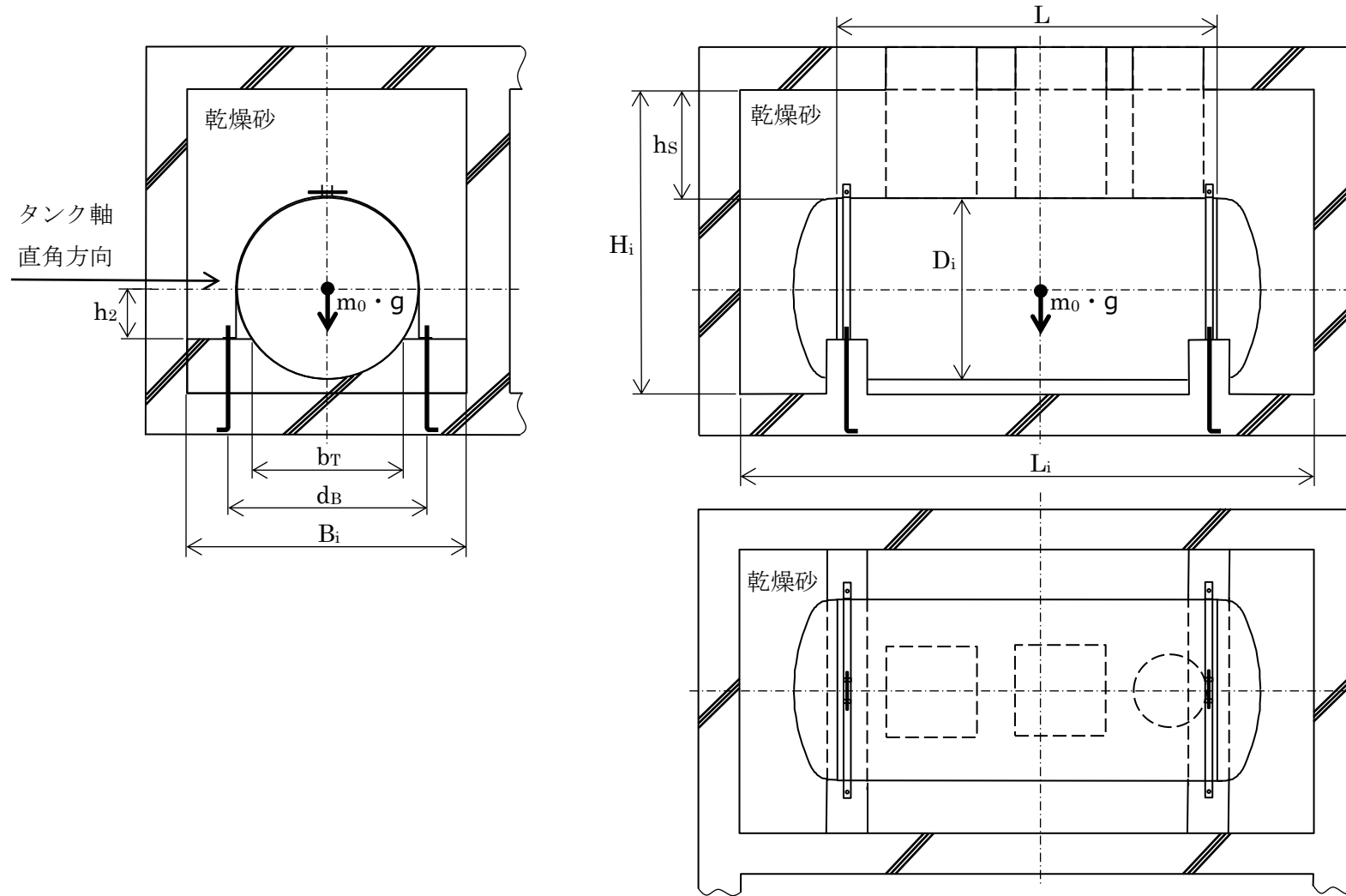


図 4-1 概要図

### 4.3 計算方法および計算

タンクの軸直角方向に作用する水平方向の荷重による応力を、以下のとおりに計算する。

#### 4.3.1 荷重

##### (1) タンク重量

$$\begin{aligned} W_1 &= m_0 \cdot g \\ &= 1600 \times 9.80665 \\ &\doteq 15690.6 \\ &\doteq 1.570 \times 10^4 \text{ [N]} \end{aligned}$$

$$m_0 := 1600 \text{ [kg]}$$

##### (2) 液荷重（軽油）

$$\begin{aligned} W_2 &= \rho_1 \cdot g \cdot V \\ &= 1.00 \times 10^{-6} \times 9.80665 \times 4.000 \times 10^9 \\ &\doteq 3.92266 \times 10^4 \\ &\doteq 3.923 \times 10^4 \text{ [N]} \end{aligned}$$

$$\rho_1 := 1.00 \times 10^{-6} \text{ [kg/mm}^3\text{]}$$

(軽油 :  $0.84 \times 10^{-6}$  [kg/mm<sup>3</sup>] であるが保守的な値とする。)

$$\begin{aligned} V &:= 4000 [\ell] \\ &= 4.000 \times 10^9 \text{ [mm}^3\text{]} \end{aligned}$$

##### (3) 乾燥砂重量

###### タンク容積

$$\begin{aligned} V_T &= (\pi / 4 \cdot D_i^2 \cdot L) + 2 \cdot (0.09896 \cdot D_i^3 + 0.31514 \cdot \pi \cdot D_i^2 \cdot t) \\ &= (3.14159 / 4 \times 1322^2 \times 2890) \\ &\quad + 2 \times (0.09896 \times 1300^3 + 0.31514 \times 3.14159 \times 1300^2 \times 9) \\ &\doteq 3.96689 \times 10^9 + 2 \times (2.17415 \times 10^8 + 1.50585 \times 10^7) \\ &\doteq 3.96689 \times 10^9 + 4.64947 \times 10^8 \\ &\doteq 4.43184 \times 10^9 \text{ [mm}^3\text{]} \\ &\doteq 4.432 \times 10^9 \text{ [mm}^3\text{]} \end{aligned}$$

$$D_i := 1300 \text{ [mm]}$$

$$\begin{aligned} D_0 &:= D_i + 2 \cdot (t + t_s) \\ &= 1300 + 2 \times (9 + 2) \\ &= 1322 \text{ [mm]} \end{aligned}$$

$$L := 2890 \text{ [mm]}$$

$$t := 9 \text{ [mm]}$$

$$t_s := 2 \text{ [mm]}$$

乾燥砂容積

$$\begin{aligned} V_S &= (B_i \cdot L_i \cdot H_i) - V_T \\ &= (2050 \times 4200 \times 2232) - 4.432 \times 10^9 \\ &\doteq 1.92175 \times 10^{10} - 4.432 \times 10^9 \\ &\doteq 1.47855 \times 10^{10} \\ &\doteq 1.479 \times 10^{10} \text{ [mm}^3\text{]} \end{aligned}$$

乾燥砂重量

$$\begin{aligned} W_3 &= \rho_2 \cdot g \cdot V_S \\ &= 1.80 \times 10^{-6} \times 9.80665 \times 1.479 \times 10^{10} \\ &\doteq 17.7 \times 10^{-6} \times 1.479 \times 10^{10} \\ &\doteq 2.61783 \times 10^5 \\ &\doteq 2.618 \times 10^5 \text{ [N]} \end{aligned}$$

$$\begin{aligned} \rho_2 : &= 17.7 \times 10^{-6} \text{ [N/mm}^3\text{]} \quad (\text{消防危第 112 号 1. 標準的な設置条件等}) \\ &\doteq 1.80490 \times 10^{-6} \text{ [kg/mm}^3\text{]} \\ &\doteq 1.80 \times 10^{-6} \text{ [kg/mm}^3\text{]} \end{aligned}$$

#### 4.3.1.1 脇の計算

##### (1) 曲げモーメント

基礎台とタンクは固定されておらず、脇の曲げモーメントは考慮しない。

##### (2) 静水頭又は内圧による応力

静水頭による場合

$$\begin{aligned} \text{静水圧 } P_L &= \rho_1 \cdot g \cdot H \\ &= 1.00 \times 10^{-6} \times 9.80665 \times 1300 \\ &\doteq 0.0127486 \\ &\doteq 0.01275 \text{ [MPa]} \end{aligned}$$

$$H := 1300 \text{ [mm]} \quad (D_i \text{ で代用する})$$

$$\begin{aligned} \sigma_{\phi 1} &= P_L \cdot D_i / (2 \cdot t) \\ &= 0.01275 \times 1300 / (2 \times 9) \\ &\doteq 0.920833 \\ &\doteq 1 \text{ [MPa]} \end{aligned}$$

$$\begin{aligned}\sigma_{xi} &= P_L \cdot D_i / (4 \cdot t) \\ &= 0.01275 \times 1300 / (4 \times 9) \\ &\approx 0.460417 \\ &\approx 1 [\text{MPa}]\end{aligned}$$

内圧による場合

内圧  $P_G = 0.07 [\text{MPa}]$  (消防法による完成検査前検査(水圧検査)の圧力  
 $70 [\text{kPa}]$ )

$P_r$  は静水圧であるが、保守的に  $P_r = P_L + P_G$  とする。

$$\begin{aligned}\sigma_{\phi i} &= P_r \cdot (D_i + 1.2 \cdot t) / (2 \cdot t) \\ &= (P_L + P_G) \cdot (D_i + 1.2 \cdot t) / (2 \cdot t) \\ &= (0.01275 + 0.07) \times (1300 + 1.2 \times 9) / (2 \times 9) \\ &\approx 6.02604 \\ &\approx 7 [\text{MPa}]\end{aligned}$$

$$\begin{aligned}\sigma_{xi} &= P_r \cdot (D_i + 1.2 \cdot t) / (4 \cdot t) \\ &= (P_L + P_G) \cdot (D_i + 1.2 \cdot t) / (4 \cdot t) \\ &= (0.01275 + 0.07) \times (1300 + 1.2 \times 9) / (4 \times 9) \\ &\approx 3.01302 \\ &\approx 4 [\text{MPa}]\end{aligned}$$

### (3) 乾燥砂重量又は外圧による応力

乾燥砂重量による場合 (外圧)

$$\begin{aligned}P_S &= \rho \cdot g \cdot h_S \\ &= 1.80 \times 10^{-6} \times 9.80665 \times 800 \\ &\approx 17.7 \times 10^{-6} \times 800 \\ &\approx 0.01416 [\text{MPa}] \\ h_S &:= 800 [\text{mm}] (\text{タンク室の蓋の内側から地下タンク頂部までの深さ})\end{aligned}$$

$$\begin{aligned}\sigma_{\phi S} &= P_S \cdot D_i / (2 \cdot t) \\ &= 0.01416 \times 1300 / (2 \times 9) \\ &\approx 1.02267 \\ &\approx 2 [\text{MPa}]\end{aligned}$$

$$\begin{aligned}\sigma_{xs} &= P_S \cdot D_i / (4 \cdot t) \\ &= 0.01416 \times 1300 / (4 \times 9) \\ &\approx 0.511333 \\ &\approx 1 [\text{MPa}]\end{aligned}$$

外圧による場合

外圧  $P_T = 0.02 \text{ [MPa]}$  (消防法による漏れの点検の試験圧力  $20 \text{ [kPa]}$ )

(減圧法の場合))

$$\begin{aligned}\sigma_{\phi S} &= (P_S + P_T) \cdot (D_i + 1.2 \cdot t) / (2 \cdot t) \\ &= (0.01416 + 0.02) \times (1300 + 1.2 \times 9) / (2 \times 9) \\ &\doteq 2.48761 \\ &\doteq 3 \text{ [MPa]}\end{aligned}$$

$$\begin{aligned}\sigma_{xs} &= (P_S + P_T) \cdot (D_i + 1.2 \cdot t) / (4 \cdot t) \\ &= (0.01416 + 0.02) \times (1300 + 1.2 \times 9) / (4 \times 9) \\ &\doteq 1.24380 \\ &\doteq 2 \text{ [MPa]}\end{aligned}$$

#### 4.3.1.2 固定バンド、アンカーボルトの計算

##### (1) タンク固定条件の照査

タンクの軸直角方向に作用する水平方向地震力に対して、タンク固定部分が必要な力に耐える構造とし、基礎台がタンクを支持する点（タンクの支持点という）のモーメントが次の件を満たすこととする。

$$M_c = F_H \cdot h_2 - R \cdot b_M \leq 0$$

$$F_H \cdot h_2 \leq R \cdot b_M$$

タンクの軸直角方向に作用する水平方向地震力が作用した場合に、タンク固定部分に及ぼす力の関係を図4-2に示す。

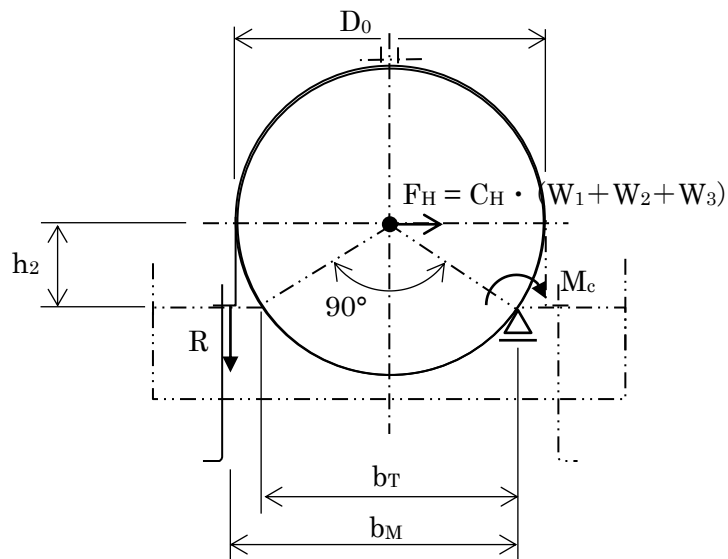


図4-2 タンク固定部分に及ぼす力の関係

タンクの軸直角方向に作用する水平方向地震力は、保守的にタンク重量、液荷重に加え、乾燥砂重量がタンク中心に集中荷重を受けるものとする。

$$\begin{aligned}
 F_H &= C_H \cdot (W_1 + W_2 + W_3) \\
 &= 0.24 \times (1.570 \times 10^4 + 3.924 \times 10^4 + 2.618 \times 10^5) \\
 &\doteq 0.24 \times 3.167 \times 10^5 \\
 &\doteq 7.601080 \times 10^4 \\
 &\doteq 7.602 \times 10^4 [\text{N}]
 \end{aligned}$$

$$\begin{aligned}
 h_2 &= D_0 / 2 \cdot \cos 45^\circ \\
 &= D_0 / 2 / \sqrt{2} \\
 &= 1322 / 2 / 1.41421 \\
 &\doteq 467.40 \\
 &\doteq 467 [\text{mm}]
 \end{aligned}$$

$$\begin{aligned}
 b_M &= D_0 / 2 + b_T / 2 \\
 &= 1322 / 2 + 935 / 2 \\
 &= 1128.5 \\
 &\doteq 1129 [\text{mm}]
 \end{aligned}$$

$b_T$  : (基礎台がタンクを支持する角度は  $90^\circ$  とする)

$$\begin{aligned}
 b_T &= D_0 / 2 \cdot \cos 45^\circ \cdot 2 \\
 &= D_0 / 2 / \sqrt{2} \cdot 2 \\
 &= 1322 / 2 / 1.41421 \times 2 \\
 &\doteq 934.80 \\
 &\doteq 935 [\text{mm}]
 \end{aligned}$$

$$\begin{aligned}
 R &\geqq F_H \cdot h_2 / b_M \\
 &\geqq 7.602 \times 10^4 \times 467 / 1129 \\
 &\geqq 3.14450 \times 10^4 \\
 &\geqq 3.145 \times 10^4 [\text{N}]
 \end{aligned}$$

固定バンド、アンカーボルトは、 $3.145 \times 10^4$  [N]以上の引張荷重に耐えるものを選ぶ。

### (1) 固定バンドに生じる応力

固定バンドは、板厚 9 [mm] × 幅 65 [mm] を用いる。

$$\begin{aligned}\sigma_{FB} &= R / A_{FB} / n \\ &= 3.145 \times 10^4 / 333 / 2 \\ &\approx 47.2 \\ &\approx 48 [\text{MPa}]\end{aligned}$$

$A_{FB}$  : 固定バンドを固定するためのアンカーボルトを設ける部分の  
穴径 (=28 [mm]) を除いた部分の固定バンドの断面積

$$\begin{aligned}A_{FB} &= (65 - 28) \times 9 \\ &= 333 [\text{mm}]\\ &\quad\end{aligned}$$

### (2) アンカーボルトに生じる応力

アンカーボルトは、M24 を用いる。

$$\begin{aligned}\sigma_b &= R / A_b / n \\ &= 3.145 \times 10^4 / 336 / 2 \\ &\approx 46.8 \\ &\approx 47 [\text{MPa}]\end{aligned}$$

$A_b$  : 保守的にアンカーボルトのねじ部の谷径 ( $d = 20.752 \approx 20.7 [\text{mm}]$ ) を直径  
としたアンカーボルトの有効断面積

$$\begin{aligned}A_b &= \pi / 4 \cdot d^2 \\ &= 3.14159 / 4 \times 20.7^2 \\ &\approx 336.5 \\ &\approx 336 [\text{mm}]\\ &\quad\end{aligned}$$

## 4.4 応力の評価

### 4.4.1 脇の応力評価

脇の材料は一般構造用圧延鋼材 SS400 であり、最高使用温度を 60 [°C] とする。

4.3.1.1 項で求めた応力が脇の最高使用温度における許容応力  $S_a$  以下であること。

応力分類	一次一般膜応力	一次応力
許容応力 $S_a$	$\min[S_y, 0.6S_u]$ ただし、オーステナイト系ステンレス鋼及び高ニッケル合金については、 $1.2S$ とすることができます。	$S_y$ , ただし、オーステナイト系ステンレス鋼及び高ニッケル合金については、 $1.2S$ とすることができます。

一次一般膜応力による場合

$$\begin{aligned} S_a &= \min[S_y, 0.6 \cdot S_u] \\ &= \min[208, 0.6 \times 389] \\ &\doteq \min[208, 233.4] \\ &= 208 \text{ [MPa]} \end{aligned}$$

$S_y$  : 60[°C]における  $S_y$  を比例法により計算

$$\begin{aligned} S_y &= 215 - (215-203) / (75-40) \times (60-40) \\ &\doteq 215 - 6.85714 \\ &\doteq 208.1 \\ &\doteq 208 \text{ [MPa]} \end{aligned}$$

ここで、-30～40[°C]で  $S_y = 215 \text{ [MPa]}$ , 75[°C]で  $S_y = 203 \text{ [MPa]}$

$S_u$  : 60[°C]における  $S_u$  を比例法により計算

$$\begin{aligned} S_u &= 400 - (400-381) / (75-40) \times (60-40) \\ &\doteq 400 - 10.8571 \\ &\doteq 389.1 \\ &\doteq 389 \text{ [MPa]} \end{aligned}$$

ここで、-30～40[°C]で  $S_u = 400 \text{ [MPa]}$ , 75[°C]で  $S_u = 381 \text{ [MPa]}$

$$\begin{aligned} \sigma_0 &= \max[\sigma_{\phi 1}, \sigma_{x1}, \sigma_{\phi s}, \sigma_{xs}] \\ &= \max[1, 7 \text{ 又は } 4, 2 \text{ 又は } 3, 1 \text{ 又は } 2] \\ &= 7 \text{ [MPa]} \end{aligned}$$

$$\sigma_0 = 7 \text{ [MPa]} < S_a = 208 \text{ [MPa]}$$

$\sigma_0$  は、許容応力以下である。

一次応力による場合

$$\begin{aligned} S_a &= S_y \\ &= 208 \text{ [MPa]} \end{aligned}$$

$$\begin{aligned} \sigma_1 &= \max[\sigma_{\phi 1}, \sigma_{x1}, \sigma_{\phi s}, \sigma_{xs}] \\ &= 7 \text{ [MPa]} \end{aligned}$$

$$\sigma_1 = 7 \text{ [MPa]} < S_a = 208 \text{ [MPa]}$$

$\sigma_1$  は、許容応力以下である。

#### 4.4.2 固定バンドの応力評価

固定バンドの材料は一般構造用圧延鋼材 SS400 であり、最高使用温度を 60[°C]とする。

4.3.1.2 項で求めた応力が固定バンドの最高使用温度における許容引張応力  $f_t$  以下であること。

応力分類	一次応力
許容引張応力 $f_t$	$F / 1.5 \cdot 1.5$

$$\begin{aligned} f_t &= F / 1.5 \cdot 1.5 \\ &= 208[\text{MPa}] \end{aligned}$$

$$\begin{aligned} F &= \min [ S_y, 0.7 \cdot S_u ] \\ &= \min [ 208, 0.7 \times 389 ] \\ &\doteq \min [ 208, 272.3 ] \\ &= 208[\text{MPa}] \end{aligned}$$

$$\sigma_{FB}=48[\text{MPa}] < f_t = 208[\text{MPa}]$$

$\sigma_{FB}$  は、許容応力以下である。

#### 4.4.3 アンカーボルトの応力評価

アンカーボルトの材料は一般構造用圧延鋼材 SS400 であり、最高使用温度を 60[°C]とする。

4.3.1.2 項で求めた応力がアンカーボルトの最高使用温度における許容引張応力  $f_{to}$  以下であること。

応力分類	一次応力
許容引張応力 $f_{to}$	$F / 2 \cdot 1.5$

$$\begin{aligned} f_{to} &= F / 2 \cdot 1.5 \\ &= 208 / 2 \cdot 1.5 \\ &= 156.0 \\ &= 156 [\text{MPa}] \end{aligned}$$

$$\sigma_b=47[\text{MPa}] < f_{to}=156[\text{MPa}]$$

$\sigma_b$  は、許容応力以下である。

## 5 計算結果

### 5.1 設計条件

機器名称	耐震設計上 の 重要度分類	据付場所及び床面高さ (m)	固有周期(s)		水平方向 設計震度	鉛直方向 設計震度	最高使用 圧力 (MPa)	最高使用 温度 (°C)
			水平方向	鉛直方向				
軽油貯蔵タンク (地下式)	C	施設南側高台 T.P. 約 27	—	—	$C_H = 0.24$	—	静水圧	60

### 5.2 機器要目

L (mm)	$d_B$ (mm)	$b_T$ (mm)
2890	1460	935

$m_0$ (kg)	$D_i$ (mm)	t (mm)	$t_s$ (mm)	$h_2$ (mm)	$h_s$ (mm)
1600	1300	9	2	467	800

n	d (mm)	$A_b$ (mm <sup>2</sup> )	$A_{FB}$ (mm <sup>2</sup> )
2	20.7	336	333

$B_i$ (mm)	$L_i$ (mm)	$H_i$ (mm)
2050	4200	2322

$S_y$ (胴板) (MPa)	$S_u$ (胴板) (MPa)	$S$ (胴板) (MPa)
208 <sup>*1</sup>	389 <sup>*1</sup>	—

$S_y$ (固定バンド) (MPa)	$S_u$ (固定バンド) (MPa)	$S$ (固定バンド) (MPa)	$F$ (固定バンド) (MPa)	$F^*$ (固定バンド) (MPa)
208 <sup>*1</sup>	389 <sup>*1</sup>	—	208 <sup>*1</sup>	—

$S_y$ (アンカーボルト) (MPa)	$S_u$ (アンカーボルト) (MPa)	$S$ (アンカーボルト) (MPa)	$F$ (アンカーボルト) (MPa)	$F^*$ (アンカーボルト) (MPa)
208 <sup>*1</sup>	389 <sup>*1</sup>	—	208 <sup>*1</sup>	—

注記 \*1 : 最高使用温度で算出

### 5.3 評価結果及び結論

以下に示すとおり、計算応力値は許容応力値を下回っており、Cクラスの設計地震力に対して耐える設計である。

(単位 : MPa)

部位	材料	応力	計算応力	許容応力	裕度[-]※	判定
胴板	SS400	一次一般膜	$\sigma_0 = 7$	$S_a = 208$	29.7	良
		一次	$\sigma_1 = 7$	$S_a = 208$	29.7	良
固定バンド	SS400	引張り	$\sigma_{FB} = 48$	$f_t = 208$	4.3	良
アンカー ボルト	SS400	引張り	$\sigma_b = 47$	$f_{to} = 156$	3.3	良

※裕度：許容応力／計算応力の値

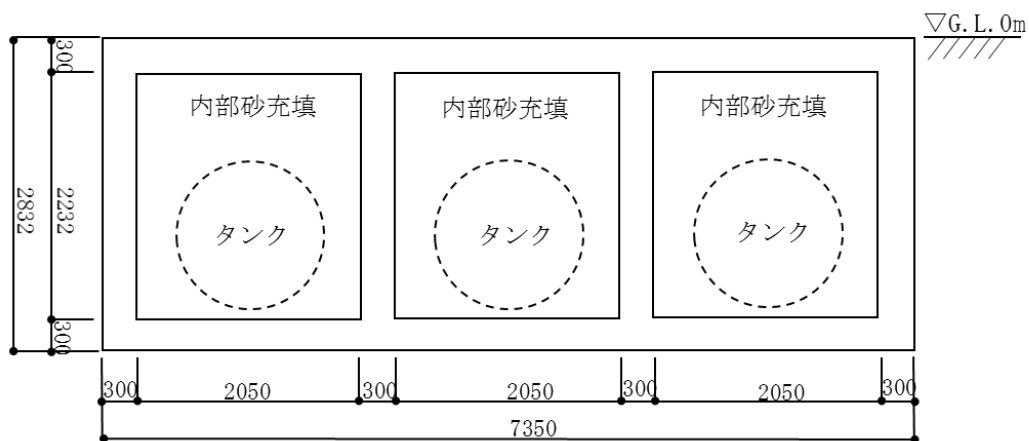
以 上

## 軽油貯蔵タンク（地下式） タンク室の耐震計算書

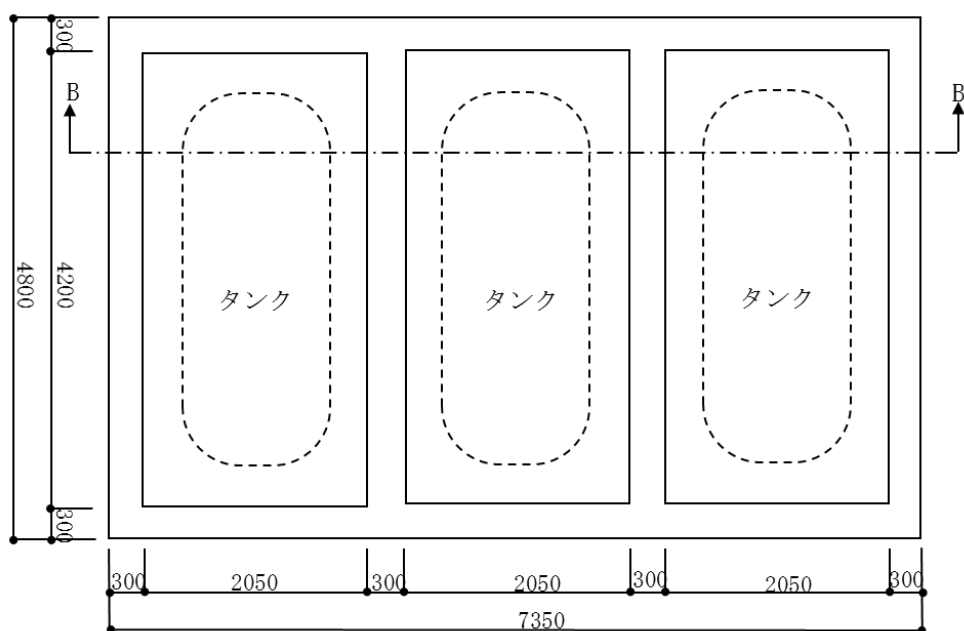
### 1. タンク室の概要

本資料では、軽油貯蔵タンク（地下式）のタンク室が、耐震Cクラス設備に求められる地震力（水平震度 0.24）に対して、概ね弾性状態に留まることを確認した内容を示す。

第1-1図、第1-2図に、軽油貯蔵タンク（地下式）のタンク室の断面、平面を示す。タンク室は3連の室で構成されており、軸対称の配置となっている。側壁、頂版、底版の断面はいずれも厚さ300mmで、主筋はD13@200（上端筋、下端筋共）となっている。



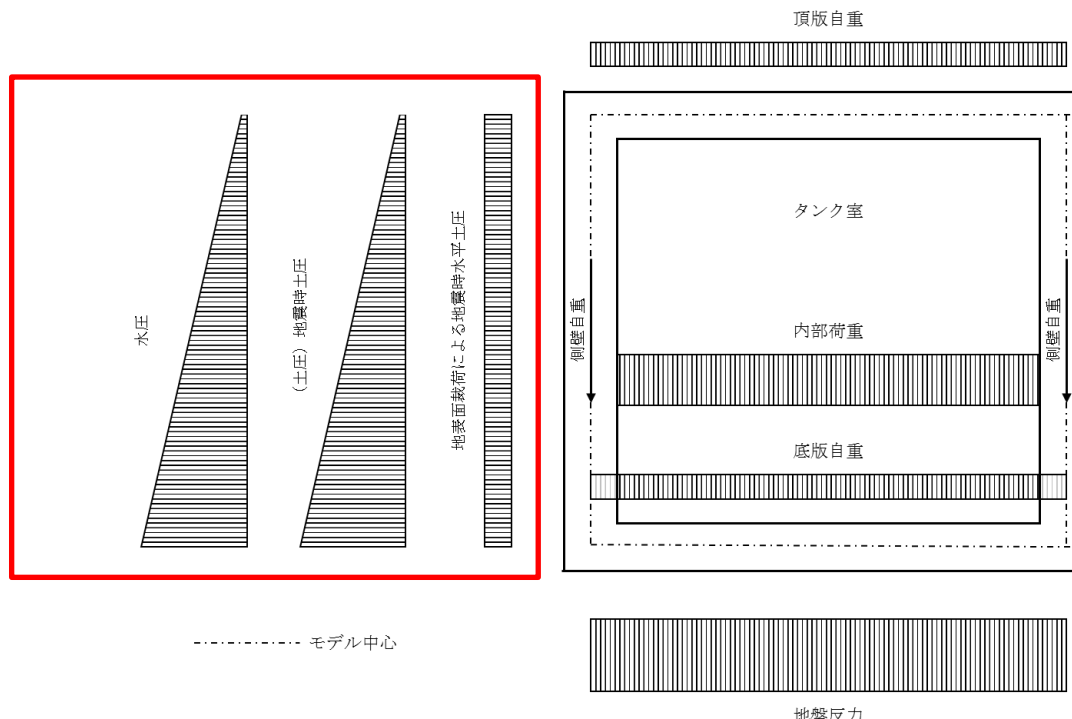
第1-1図 B-B 断面図



第1-2図 平面図

## 2. 考慮する荷重

第2-1図にタンク室に作用する荷重を示す。地震時にタンク室側壁に作用する荷重は赤枠で囲んだ荷重（水圧、地震時土圧、地表面裁荷による地震時水平土圧）であり、この荷重に対する側壁の検討を行う。なお、タンク室内に充填されている乾燥砂は重量としては考慮するが、乾燥砂により側壁に作用する土圧は保守的に考慮しないこととする。



第2-1図 タンク室に作用する荷重

タンク室に作用する荷重の算定は、第2-1表に示す計算式に従い行う。

なお、地下水位は GL-0m とする。

第2-1表 荷重の種類、計算式、荷重

荷重の種類	計算式	荷重 (kN/m <sup>2</sup> )
P <sub>w</sub> : 水圧 (三角形分布)	$P_w = \gamma w \cdot h$ 側壁上端 : $9.8 \times 0.15$ 側壁下端 : $9.8 \times 2.682$	側壁上端 : 1.47 側壁下端 : 26.29
P <sub>d'</sub> : 地震時土圧 (三角形分布)	$P_{d'} = K_E \cdot \gamma s' \cdot h$ 側壁上端 : $1.0 \times 8.8 \times 0.15$ 側壁下端 : $1.0 \times 8.8 \times 2.682$	側壁上端 : 1.32 側壁下端 : 23.61
P <sub>dq'</sub> : 地表面裁荷荷重による地震時水平土圧 (等分布)	$P_{dq'} = K_E \cdot q$ $= 1.0 \times 10.0$	10.0

$\gamma_w$	: 水の比重 (kN/m <sup>3</sup> )
$\gamma_s'$	: 地下水位以下にある土の比重 (kN/m <sup>3</sup> )
q	: 地表面裁荷重 (kN/m <sup>2</sup> )
h	: 地表面からの深さ (モデル中心) (m)

ここで、 $K_E$  (地震時水平土圧係数) は、以下の式により算定する。

$$K_E = \frac{\cos^2 (\phi - \theta)}{\cos^2 \theta \left[ 1 + \sqrt{\frac{\sin \phi \cdot \sin (\phi - \theta)}{\cos \theta}} \right]^2}$$

$\phi$  : 周辺地盤の内部摩擦角 [単位: 度]

$\theta$  : 地震時合成角 [単位: 度]

$$\theta = \tan^{-1} K_h$$

周辺地盤の土質を考慮し、 $\phi$  (周辺地盤の内部摩擦角) は 0 度とする。

$K_h$  (設計水平震度) は、消防法関連告示「危険物の規制に関する技術上の基準の細目を定める告示 第四条の二十三」に示された計算方法により算定される値の最大値である 0.3 とする。

$$K_h = 0.15 \nu^1 \cdot \nu^2$$

$\nu^1$  : 地域別補正係数 (最大値である 1.0 とする)

$\nu^2$  : 地盤別補正係数 (最大値である 2.0 とする)

この値は、地表面に設置される耐震 C クラス設備の耐震設計に求められる水平震度 0.24 より大きな値である。

### 3. タンク室鉄筋コンクリート部材の強度、種別

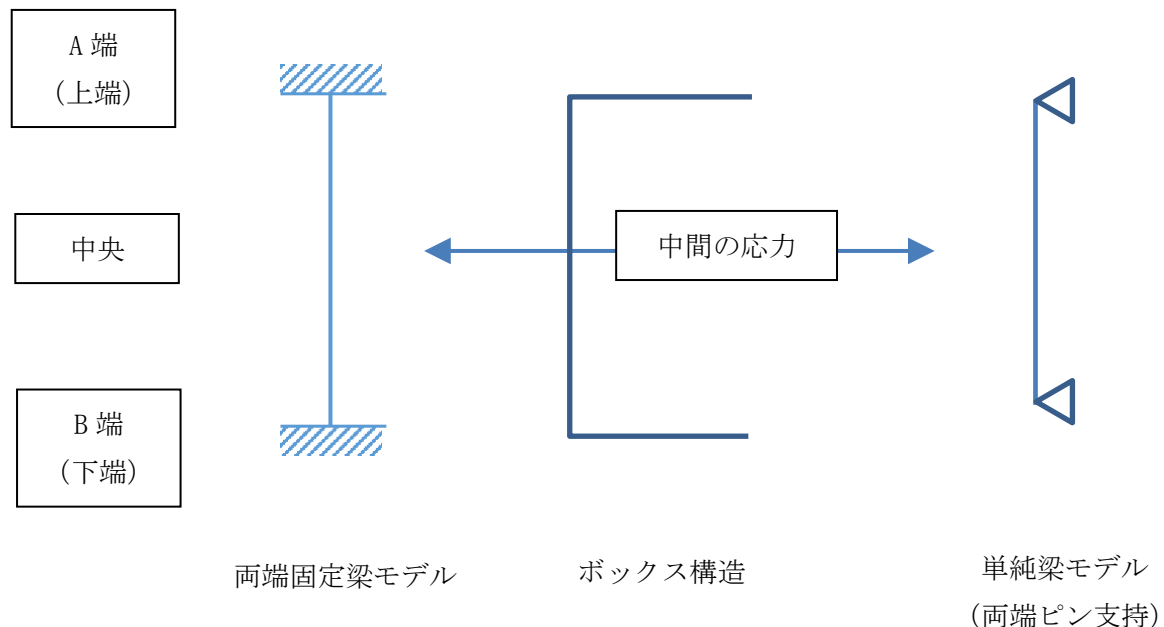
第 3-1 表に、タンク室鉄筋コンクリート部材の強度、種別を示す。

第 3-1 表 鉄筋コンクリート部材の強度、種別

部材	強度、種別
コンクリート	$F_c=21\text{N/mm}^2$
鉄筋	SD295A

#### 4. タンク室側壁の応力算定

タンク室側壁の応力算定にあたっては、第4-1図のように、簡易的に、側壁を両端固定梁モデル及び単純梁モデル（両端ピン支持）に置換して行う。実際のタンク室は3連のボックス構造であるが、側壁を両端固定梁モデル及び単純梁モデルに置換すると、頂版、底版と、側壁との間の応力の伝達を考慮しないこととなる。この場合、曲げモーメントに関して、側壁端部については、両端固定梁モデルの値が実際の値より大きな値となる。側壁中央については、単純梁モデルの値が実際の値よりも大きな値となる。今回の評価では、保守的にこれらの大きな値を用いて検討を行う。



第4-1図 側壁のモデル

## 5. 応力算定、断面算定結果

応力算定結果を以下に示す（1m 幅あたりの値）。

### (1) 両端固定梁モデルの場合

位置	曲げモーメント M(kN・m/m)	せん断力 Q(kN/m)
A 端（上端）	16.91	34.10
中央	9.92	0
B 端（下端）	21.95	57.95

### (2) 単純梁モデル（両端ピン支持）の場合

位置	曲げモーメント M(kN・m/m)	せん断力 Q(kN/m)
A 端（上端）	0	34.10
中央	29.58	0
B 端（下端）	0	57.95

上記の結果、最大応力は以下の通りとなる。

応力	発生位置	応力値
曲げモーメント M(kN・m/m)	中央	29.58
せん断力 Q(kN/m)	B 端（下端）	57.95

### ○曲げモーメント

$$\begin{aligned} \text{必要鉄筋断面積 } As_a &= M / (7/8 \cdot ft \cdot d) \\ &= 29.58 \times 10^6 / (7/8 \times 265 \times 240) \\ &= 532 \text{ (mm}^2\text{/m)} \end{aligned}$$

ft : 鉄筋の許容引張応力 (kN/mm<sup>2</sup>)

d : 有効高さ (部材高さ h (300mm) - 鉄筋被り dt (60mm)) (mm)

配筋は D13@200 で鉄筋断面積は 634 (mm<sup>2</sup>/m) あり、必要鉄筋断面積 532 (mm<sup>2</sup>/m) を上回る。

(発生応力/許容応力 : 0.84)

### ○せん断力

$$\begin{aligned} \text{せん断応力度 } \tau &= Q / (b \cdot h) \\ &= 57.95 \times 10^3 / (1000 \times 300) \\ &= 0.20 \text{ (N/mm}^2\text{)} \end{aligned}$$

b : 部材幅 (mm)

せん断応力度 0.20 (N/mm<sup>2</sup>) は、コンクリートの短期許容せん断応力度 1.05 (N/mm<sup>2</sup>) を下回り、許容値以内となる。

(発生応力/許容応力 : 0.20)

以上より、タンク室は、水平震度 0.30 の地震力により鉄筋及びコンクリートに生じる応力が許容応力以内となることから、耐震Cクラス設備に求められる地震力（水平震度 0.24）により鉄筋及びコンクリートに生じる応力も許容応力以内となる。

## 6. 地盤の支持性能に関する検討

### 地盤の許容支持応力度

地盤の許容支持応力度 ※ (kN/m <sup>2</sup> )	長期	短期	極限
	50	100	—

※建築基準法施行令第93条の表に示される値(ローム層)より設定。

### 重量、地震荷重

	基礎底面から の高さ (m)	重量 (kN)	水平震度 ※	Q (kN)	M (kN・m)
上載荷重	2.832	352.8	0.3	105.9	300.0
タンク	1.061	15.7	0.3	4.8	5.1
軽油	1.061	39.2	0.3	11.8	12.6
乾燥砂	1.416	261.8	0.3	78.6	111.3
タンク室	1.416	994.0	0.3	298.2	422.3
合計		1663.5		499.3	851.3

※水平震度は消防法関連告示「危険物の規制に関する技術上の基準の細目を定める告示 第四条の二十三」に示された計算方法により算定される値の最大値である0.3とする。この値は、地表面に設置される耐震Cクラス設備の耐震設計に求められる水平震度0.24より大きな値である。

### 接地圧の検討

検討方向	短辺方向		
地盤の許容支持応力度 (長期)	q <sub>L</sub>	(kN/m <sup>2</sup> )	50
地盤の許容支持応力度 (短期)	q <sub>S</sub>	(kN/m <sup>2</sup> )	100
鉛直力	N	(kN)	1663.5
転倒モーメント	M	(kN・m)	851.3
基礎の短辺長さ	L <sub>1</sub>	(m)	4.8
基礎の長辺長さ	L <sub>2</sub>	(m)	7.35
基礎の底面積	A	(m <sup>2</sup> )	35.28
限界モーメント (N・L <sub>1</sub> /6)	M <sub>0</sub>	(kN・m)	1330.8
浮き上がり有無			無
偏心距離 (M/N)	e	(m)	0.51
中立軸※1	X <sub>n</sub>	(m)	6.16
接地率	η	%	100
平均接地圧 (N/A)	σ <sub>0</sub>	(kN/m <sup>2</sup> )	47.2

接地圧係数※2	$\alpha$		1.64
最大接地圧 ( $\alpha \cdot \sigma_0$ )	$\sigma_{\max}$	(kN/m <sup>2</sup> )	77.5
判定 (長期 : 地盤の許容支持応力度 (長期) $\geq$ 平均接地圧)	OK		
判定 (短期 : 地盤の許容支持応力度 (短期) $\geq$ 最大接地圧)	OK		

※1 浮き上がり有 :  $3(L_1/2 - e)$  , 浮き上がり無 :  $(L_1/2) \cdot (1 + L_1/6e)$

※2 浮き上がり有 :  $2L_1/X_n$  , 浮き上がり無 :  $1 + 6e/L_1$

以上より、軽油貯蔵タンク（地下式）は、耐震Cクラス施設に適用される地震力が作用した場合においても当該施設、設備を十分に支持することができる地盤に設置されたものであることを確認した。

応力の算定式等分布荷重

## 【両端固定梁モデル】

応力	上端	中央 (最大値)	下端
曲げモーメント	$C_A = \frac{\omega l^2}{12}$	$M_{max} = \frac{\omega l^2}{24}$	$C_B = \frac{\omega l^2}{12}$
せん断力	$R_A = \frac{\omega l}{2}$	0	$R_B = \frac{\omega l}{2}$

## 【単純梁モデル（両端ピン支持）】

応力	上端	中央 (最大値)	下端
曲げモーメント	0	$M_{max} = \frac{\omega l^2}{8}$	0
せん断力	$R_A = \frac{\omega l}{2}$	0	$R_B = \frac{\omega l}{2}$

三角形分布

## 【両端固定梁モデル】

応力	上端	中央 (最大値)	下端
曲げモーメント	$C_A = \frac{\omega l^2}{30}$	$M_{max} = 0.0215\omega l^2 (x=0.548l)$	$C_B = \frac{\omega l^2}{20}$
せん断力	$R_A = \frac{3\omega l}{20}$	0	$R_B = \frac{7\omega l}{20}$

## 【単純梁モデル（両端ピン支持）】

応力	上端	中央 (最大値)	下端
曲げモーメント	0	$M_{max} = 0.064\omega l^2 (x=0.577l)$	0
せん断力	$R_A = \frac{3\omega l}{20}$	0	$R_B = \frac{7\omega l}{20}$

## 応力の算定結果

### 【両端固定梁モデル】

応力	上端	中央 (最大値)	下端
曲げモーメント(等分布)	$C_A = \frac{12.79 \times 2.532^2}{12} = 6.84$	$M_{max} = \frac{12.79 \times 2.532^2}{24} = 3.42$	$C_B = \frac{12.79 \times 2.532^2}{12} = 6.84$
曲げモーメント (三角形分布)	$C_A = \frac{47.11 \times 2.532^2}{30} = 10.07$	$M_{max} = 0.0215 \times 47.11 \times 2.532^2 = 6.50$	$C_A = \frac{47.11 \times 2.532^2}{20} = 15.11$
合計	16. 91	9. 92	21. 95
せん断力(等分布)	$R_A = \frac{12.79 \times 2.532}{2} = 16.20$	0	$R_B = \frac{12.79 \times 2.532}{2} = 16.20$
せん断力 (三角形分布)	$R_A = \frac{3 \times 47.11 \times 2.532}{20} = 17.90$	0	$R_B = \frac{7 \times 47.11 \times 2.532}{20} = 41.75$
合計	34. 10	0	57. 95

### 【単純梁モデル（両端ピン支持）】

応力	上端	中央 (最大値)	下端
曲げモーメント(等分布)	0	$M_{max} = \frac{12.79 \times 2.532^2}{8} = 10.25$	0
曲げモーメント (三角形分布)	0	$M_{max} = 0.064 \times 47.11 \times 2.532^2 = 19.33$	0
合計	0	29. 58	0
せん断力(等分布)	$R_A = \frac{12.79 \times 2.532}{2} = 16.20$	0	$R_A = \frac{12.79 \times 2.532}{2} = 16.20$
せん断力 (三角形分布)	$R_A = \frac{3 \times 47.11 \times 2.532}{20} = 17.90$	0	$R_A = \frac{7 \times 47.11 \times 2.532}{20} = 41.75$
合計	34. 10	0	57. 95

## 電源車および固縛装置の耐震評価について

### 1. はじめに

リサイクル燃料備蓄センターに設置する電源車は耐震 C クラスであるため、設計用地震力 1.2C<sub>i</sub>により電源車が転倒、横滑りしないことを確認する。

また、電源車は固縛装置にて連結材を転調した状態で固縛する運用としていることから、設計用地震力により電源車に発生する荷重で電源車が横滑りすることにより固縛装置が破損しないことを確認する。

### 2. 計算方法

設計用地震力の加速度により発生する水平方向の荷重と、電源車が横滑り発生に必要となる荷重を算出する。

#### 電源車の横滑り発生に必要な荷重

$$\begin{aligned} F &= \mu s \cdot m \cdot g \\ &= 0.44 \times 8000 \times 9.80665 \\ &= 3.45194 \times 10^4 \text{ (N)} \cdots \cdots \cdots \textcircled{1} \end{aligned}$$

m : 電源車の質量 (kg)

g : 重力加速度 (G)

$\mu s$  : 電源車と路面の静摩擦係数<sup>※1</sup>

a : 設計地震力による加速度 ( $m/s^2$ )

#### 設計地震力の加速度

$$\begin{aligned} 1.2C_i &= 1.2 \times 0.2 \\ &= 0.24 \end{aligned}$$

※1 : 「道路構造令 5. 視距」に規定されている表 濡潤状態の路面の制動停止距離より、20km/h の走行速度の値 0.44 を採用。

$$\begin{aligned} a &= 0.24 \times 9.80665 \\ &= 2.35360 \text{ (m/s}^2\text{)} \end{aligned}$$

#### 設計地震力の加速度によって発生する水平方向の荷重

$$\begin{aligned} F &= m \cdot a \\ &= 8000 \times 2.3536 \\ &= 1.88288 \times 10^4 \text{ (N)} \cdots \cdots \cdots \textcircled{2} \end{aligned}$$

上記①と②を比較すると、①>②の関係になり、路面と電源車の摩擦力が、耐震 C クラス設備における水平震度 (1.2C<sub>i</sub>) に基づく地震力を上回り、電源車の滑動が生じることはない。

以上のことから、電源車は耐震 C クラス設備における水平震度 (1.2C<sub>i</sub>) に基づく地震力に耐えうるものとなっていることを確認した。

一方、設 1-補-011-02 電源車の固縛装置の評価方針及び評価結果で示している通り、竜巻(最大風速 100m/s)により電源車が受ける荷重は以下表の通りであり、耐震 C クラス設備における水平震度 (1.2C<sub>i</sub>) に基づく地震力によって発生する水平方向の荷重を大きく上回っているため、固縛装置の評価に包絡される。

### 電源車に作用する設計荷重

ケース		荷重 (N)
横滑り荷重	左右方向	$1.97549 \times 10^5$

### 3. 評価結果

上記より、耐震Cクラス設備における水平震度（ $1.2 C_i$ ）に基づく地震力によって電源車が横滑り及び転倒することではなく、固縛装置に作用する荷重はない。

また、固縛装置の強度評価では、設計荷重から各部材に係る応力を算出し、各部材の許容限界と比較評価し、以下表のとおり、最小裕度となるスプリング部に装着するプラケット部のM10 ボルトでも、十分裕度があり、固縛状態の維持に必要な強度を有している。

### 電源車のバネスプリング部に装着するプラケット部の評価結果

評価部位	応力 (MPa)		許容限界 (MPa)	裕度
M10 ボルト	引張	251	495	1.9
	せん断	252	370	1.4

#### 4. 地盤の支持性能に関する検討

##### 地盤の許容支持応力度

地盤の許容支持応力度 ※ (kN/m <sup>2</sup> )	長期	短期	極限
	50	100	—

※建築基準法施行令第93条の表に示される値(ローム層)より設定。

##### 重量、地震荷重

	基礎底面から の高さ ※1 (m)	重量 (kN)	水平震度 ※2	Q (kN)	M (kN・m)
上載荷重	0.500	144.9	0.24	34.8	17.4
電源車	1.543	78.4	0.24	18.9	29.2
基礎	0.250	170.4	0.24	40.9	10.3
合計		393.7		94.6	56.9

※1 基礎の厚さを0.5mと設定する。

※2 水平震度は、地表面に設置される耐震Cクラス設備の耐震設計に求められる水平震度である0.24とする。

##### 接地圧の検討

検討方向			短辺方向
地盤の許容支持応力度 (長期)	q <sub>L</sub>	(kN/m <sup>2</sup> )	50
地盤の許容支持応力度 (短期)	q <sub>S</sub>	(kN/m <sup>2</sup> )	100
鉛直力	N	(kN)	393.7
転倒モーメント	M	(kN・m)	56.9
基礎の短辺長さ※1	L <sub>1</sub>	(m)	2.18
基礎の長辺長さ※1	L <sub>2</sub>	(m)	6.645
基礎の底面積	A	(m <sup>2</sup> )	14.49
限界モーメント (N・L <sub>1</sub> /6)	M <sub>0</sub>	(kN・m)	143.0
浮き上がり有無			無
偏心距離 (M/N)	e	(m)	0.14
中立軸※2	X <sub>n</sub>	(m)	3.92
接地率	η	%	100
平均接地圧 (N/A)	σ <sub>0</sub>	(kN/m <sup>2</sup> )	27.2
接地圧係数※3	α		1.39
最大接地圧 (α・σ <sub>0</sub> )	σ <sub>max</sub>	(kN/m <sup>2</sup> )	37.9
判定 (長期:地盤の許容支持応力度 (長期) ≥ 平均接地圧)			OK

判定（短期：地盤の許容支持応力度（短期） $\geq$ 最大接地圧）	OK
------------------------------------	----

※1 基礎の短辺長さ、長辺長さは、電源車の全幅、全長で設定する。

※2 浮き上がり有： $3(L_1/2 - e)$ ， 浮き上がり無： $(L_1/2) \cdot (1 + L_1/6e)$

※3 浮き上がり有： $2L_1/X_n$ ， 浮き上がり無： $1 + 6e/L_1$

以上より、電源車は、耐震Cクラス施設に適用される地震力が作用した場合においても当該施設、設備を十分に支持することができる地盤に設置されたものであることを確認した。

補足説明資料（設1－補－009－01）変更前後表

変更前（改1）	変更後（改2）	備考
<p>1. 本補足説明資料の目的 本資料は、電気設備をはじめとする耐震Cクラス施設、設備について耐震評価及び地盤について説明を行う。 また、今回申請設備の電気設備について各電気設備の具体的な耐震評価方法について説明を行い、評価の結果を説明するものである。</p> <p>2. <b>耐震Cクラス</b>施設、設備の地盤 2. 1 基本方針 使用済燃料貯蔵施設（以下「貯蔵施設」という。）は、<b>使用済燃料貯蔵施設の技術基準に関する規則（令和2年4月1日施行。以下「技術基準規則」という。）第六条に適合するため</b>、耐震設計上の重要度に応じた地震力が作用した場合においても当該貯蔵施設を十分に支持することができる地盤に設置されたものとする。 貯蔵施設には、施設に大きな影響を及ぼすような地震の発生によって崩壊するおそれがある斜面は存在せず、貯蔵施設は耐震設計上の重要度に応じた地震力が作用した場合においても当該貯蔵施設を十分に支持することができる地盤に設置される。 貯蔵施設のうち、使用済燃料貯蔵建屋（以下「貯蔵建屋」という。）は杭基礎とし、耐震Bクラス施設に適用される地震力及び基準地震動 <math>S_s</math> による地震力が作用した場合においても<b>当該</b>貯蔵建屋を十分に支持することができる地盤に設置されたものとする。 貯蔵施設のうち、電気設備をはじめとする耐震Cクラス施設、設備は、耐震Cクラス施設に適用される地震力が作用した場合においても当該施設、設備を十分に支持することができる地盤に設置されたものとする。 耐震Cクラス施設、設備は、<b>貯蔵建屋内</b>に設置される耐震Cクラス施設、設備、貯蔵建屋以外の<b>建屋内</b>に設置される耐震Cクラス施設、設備、<b>建屋外</b>に設置される耐震Cクラス施設、設備のいずれかに類別される。 <b>貯蔵建屋内</b>に設置される耐震Cクラス施設、設備は、貯蔵建屋に支持させる。貯蔵建屋は杭基礎とし、耐震Bクラス施設に適用される地震力及び基準地震動 <math>S_s</math> による地震力が作用した場合においても当該貯蔵建屋を十分に支持することができる地盤に支持させるため、<b>貯蔵建屋内</b>に設置される耐震Cクラス施設、設備は、耐震Cクラス施設に適用される地震力が作用した場合においても当該施設、設備を十分に支持することができる地盤に設置されたものとなる。 貯蔵建屋以外の<b>建屋内</b>に設置される耐震Cクラス施設、設備は、当該建屋に支持させる。当該建屋は直接基礎とし、耐震Cクラス施設に適用される地震力と同等である建築基準法に基づく地震力が作用した場合においても当該建屋を十分に支持す</p> <p>1. 本補足説明資料の目的 (変更なし)</p> <p>2. 施設、設備の地盤 2. 1 基本方針 使用済燃料貯蔵施設（以下「貯蔵施設」という。）は、<b>技術基準規則第6条に適合するため</b>、耐震設計上の重要度に応じた地震力が作用した場合においても貯蔵施設を十分に支持することができる地盤に設置されたものとする。 貯蔵施設には、施設に大きな影響を及ぼすような地震の発生によって崩壊するおそれがある斜面は存在せず、貯蔵施設は耐震設計上の重要度に応じた地震力が作用した場合においても貯蔵施設を十分に支持することができる地盤に設置される。 貯蔵施設のうち、使用済燃料貯蔵建屋（以下「貯蔵建屋」という。）は杭基礎とし、耐震Bクラス施設に適用される地震力及び基準地震動 <math>S_s</math> による地震力が作用した場合においても貯蔵建屋を十分に支持することができる地盤に設置されたものとする。 貯蔵施設のうち、電気設備をはじめとする耐震Cクラス施設、設備は、耐震Cクラス施設に適用される地震力が作用した場合においても当該施設、設備を十分に支持することができる地盤に設置されたものとする。 耐震Cクラス施設、設備は、<b>貯蔵建屋内</b>に設置される耐震Cクラス施設、設備、貯蔵建屋以外の<b>建屋内</b>に設置される耐震Cクラス施設、設備、<b>直接地盤</b>に設置される耐震Cクラス施設、設備のいずれかに類別される。 <b>貯蔵建屋内</b>に設置される耐震Cクラス施設、設備は、貯蔵建屋に支持させる。貯蔵建屋は杭基礎とし、耐震Bクラス施設に適用される地震力及び基準地震動 <math>S_s</math> による地震力が作用した場合においても貯蔵建屋を十分に支持することができる地盤に支持させるため、<b>貯蔵建屋内</b>に設置される耐震Cクラス施設、設備は、耐震Cクラス施設に適用される地震力が作用した場合においても当該施設、設備を十分に支持することができる地盤に設置されたものとなる。 貯蔵建屋以外の<b>建屋内</b>に設置される耐震Cクラス施設、設備は、当該建屋に支持させる。当該建屋は直接基礎とし、耐震Cクラス施設に適用される地震力と同等である建築基準法に基づく地震力が作用した場合においても当該建屋を十分に支持すこと</p>		
		「2. 施設、設備の地盤」の記載内容について「添付5-1-2 地盤の支持性能に係る基本方針」に記載する。
		記載の適正化

変更前（改1）	変更後（改2）	備考
<p>ことができる地盤に支持させるため、貯蔵建屋以外の建屋内に設置される耐震Cクラス施設、設備は、耐震Cクラス施設に適用される地震力が作用した場合においても当該施設、設備を十分に支持することができる地盤に設置されたものとなる。</p> <p>建屋外に設置される耐震Cクラス施設、設備は直接基礎とし、重量や形状を考慮し、地盤が当該施設、設備を十分に支持することができるものであることを確認する。これにより、建屋外に設置される耐震Cクラス施設、設備は、耐震Cクラス施設に適用される地震力が作用した場合においても当該施設、設備を十分に支持することができる地盤に設置されたものとなる。</p> <p>地盤の許容支持力は、建築基準法施行令に示される値を用いる方法、建築基準法施行令の関連告示に示される原位置試験（平板載荷試験等）の方法、建築基礎構造設計指針（（社）日本建築学会）の支持力式で施設、設備の支持地盤の室内土質試験等に基づき算定する方法のいずれかを用いることとし、地盤の状況や、施設、設備の重量や形状等に応じて算定する。</p>	<p>ができる地盤に支持させるため、貯蔵建屋以外の建屋に設置される耐震Cクラス施設、設備は、耐震Cクラス施設に適用される地震力が作用した場合においても当該施設、設備を十分に支持することができる地盤に設置されたものとなる。</p> <p>直接地盤に設置される耐震Cクラス施設、設備は直接基礎とし、重量や形状を考慮し、地盤が当該施設、設備を十分に支持することができるものであることを確認する。これにより、建屋外に設置される耐震Cクラス施設、設備は、耐震Cクラス施設に適用される地震力が作用した場合においても当該施設、設備を十分に支持することができる地盤に設置されたものとなる。</p> <p>地盤の許容応力度及び基礎杭の許容支持力は、建築基準法施行令に示される値を用いる方法、建築基準法施行令の関連告示に示される原位置試験（平板載荷試験等）の方法、建築基礎構造設計指針（（社）日本建築学会）の支持力式で施設、設備の支持地盤の室内土質試験等に基づき算定する方法のいずれかを用いることとし、地盤の状況や、施設、設備の重量や形状等に応じて算定する。</p>	記載の適正化
2. 2 地盤の物性値	2. 2 地盤の物性値	記載の適正化
<p>極限鉛直支持力の算定に用いる物性値として、事業変更許可申請書に記載された物性値を「表2-1 地盤の物性値」に、設定根拠を「表2-2 地盤の物性値の設定根拠」に示す。事業変更許可申請書に記載された物性値については、原位置試験及び室内試験から得られた各種物性値を基に設定した。</p>	<p>対象施設を設置する地盤の物理特性、強度特性、変形特性等の物性値については、原位置試験及び室内試験から得られた各種物性値を基に設定する。地盤の物性値は、事業変更許可申請書（添付書類四）に記載した値を用いることを基本とする。</p> <p>地盤の許容応力度及び基礎杭の許容支持力の算定に用いる物性値として、事業変更許可申請書に記載された物性値を「表2-1 地盤の物性値」に、設定根拠を「表2-2 地盤の物性値の設定根拠」に示す。</p>	記載の適正化
2. 3 極限鉛直支持力	2. 3 直接基礎の許容支持力	記載の適正化
極限鉛直支持力を算定するための支持力式を以下に示す。	直接基礎の極限鉛直支持力を算定するための支持力式（建築基礎構造設計指針）を以下に示す。	
$R_u = q_u \cdot A = (i_c \cdot \alpha \cdot c \cdot N_c + i_\gamma \cdot \beta \cdot \gamma_1 \cdot B \cdot \eta \cdot N_\gamma + i_q \cdot \gamma_2 \cdot D_f \cdot N_q) \cdot A$ <p> <math>R_u</math> : 直接基礎の極限鉛直支持力 (kN)  <math>q_u</math> : 単位面積当たりの極限鉛直支持力度 (kN/m<sup>2</sup>)  <math>A</math> : 基礎の底面積 (m<sup>2</sup>)  <math>N_c, N_\gamma, N_q</math> : 支持力係数  <math>c</math> : 支持地盤の粘着力 (kN/m<sup>2</sup>)  <math>\gamma_1</math> : 支持地盤の単位体積重量 (kN/m<sup>3</sup>) </p>	$R_u = q_u \cdot A = (i_c \cdot \alpha \cdot c \cdot N_c + i_\gamma \cdot \beta \cdot \gamma_1 \cdot B \cdot \eta \cdot N_\gamma + i_q \cdot \gamma_2 \cdot D_f \cdot N_q) \cdot A$ <p> <math>R_u</math> : 直接基礎の極限鉛直支持力 (kN)  <math>q_u</math> : 単位面積当たりの極限鉛直支持力度 (kN/m<sup>2</sup>)  <math>A</math> : 基礎の底面積 (m<sup>2</sup>)  <math>N_c, N_\gamma, N_q</math> : 支持力係数（表2-3表参照）  <math>c</math> : 支持地盤の粘着力 (kN/m<sup>2</sup>)  <math>\gamma_1</math> : 支持地盤の単位体積重量 (kN/m<sup>3</sup>) </p>	支持力係数の表の追加

変更前（改1）	変更後（改2）	備考
$\gamma_2$ : 根入れ部分の土の単位体積重量 ( $\text{k N/m}^3$ ) $(\gamma_1, \gamma_2$ には、地下水位以下の場合には水中単位体積重量を用いる) $\alpha, \beta$ : 基礎の形状係数 $\eta$ : 基礎の寸法効果による補正係数 $i_c, i_\gamma, i_q$ : 荷重の傾斜に対する補正係数 $B$ : 基礎幅 (m) $D_f$ : 根入れ深さ (m)	$\gamma_2$ : 根入れ部分の土の単位体積重量 ( $\text{k N/m}^3$ ) $(\gamma_1, \gamma_2$ には、地下水位以下の場合には水中単位体積重量を用いる) $\alpha, \beta$ : 基礎の形状係数 (表 2-4 表参照) $\eta$ : 基礎の寸法効果による補正係数 $i_c, i_\gamma, i_q$ : 荷重の傾斜に対する補正係数 $B$ : 基礎幅 (m) $D_f$ : 根入れ深さ (m)	基礎の形状係数の表の追加
表 2-1 地盤の物性値（省略）	表 2-1 地盤の物性値（省略） (変更なし)	
表 2-2 地盤の物性値の設定根拠（省略）	表 2-2 地盤の物性値の設定根拠（省略） (変更なし)	
	表 2-3 支持力係数	支持力係数の表の追加
	表 2-4 形状係数	形状係数の表の追加

変更前 (改 1)				変更後 (改 2)				備考			
3. 耐震Cクラス施設、設備の評価				3. 耐震Cクラス施設、設備の評価				「3. 耐震Cクラス施設、設備の評価」から「8. 評価結果」の記載内容について「添付 5-8 耐震Cクラス設備の耐震基本方針及び評価」とし記載する。			
3. 1 耐震Cクラス施設、設備				3. 1 耐震Cクラス施設、設備							
建築物構	設備分類	今回申請	次回申請	建築物構	設備分類	今回申請	次回申請				
建物	建物	—	廃棄物貯蔵室	建物	建物	—	廃棄物貯蔵室				
構築物	構築物	—	—	構築物	構築物	—	—				
機器・配管系	容器	軽油貯蔵タンク	空気貯槽 空気除湿装置 除湿装置 前置フィルタ 除湿装置 後置フィルタ	機器・配管系	容器	軽油貯蔵タンク	空気貯槽 空気除湿装置 除湿装置 前置フィルタ 除湿装置 後置フィルタ				
	ポンプ	—	冷却水系統 (冷却水ポンプ)		ポンプ	—	冷却水系統 (冷却水ポンプ)				
	圧縮機	—	空気圧縮機		圧縮機	—	空気圧縮機				
	架台	—	仮置架台 たて起こし架台		架台	—	仮置架台 たて起こし架台				
	配管	—	検査架台 圧縮空気主配管		配管	—	検査架台 圧縮空気主配管				
	電気計装機器	無停電電源装置 共用無停電電源装置	蓋間圧力監視装置 表面温度監視装置		電気計装機器	無停電電源装置 共用無停電電源装置	蓋間圧力 検出器 表面温度 検出器				
		電気設備 (常用電源設備) ※予備電源から給電が必要な負荷までの母線を含む電路とした範囲	給排気温度監視装置 代替計測用計測器 ガンマ線エリアモニタ 中性子線エリアモニタ モニタリングポート モニタリングポイント 放射線サーベイ機器 出入管理設備 個人管理用測定設備 (個人線量計)			電気設備 (常用電源設備) ※予備電源から給電が必要な負荷までの母線を含む電路とした範囲	給排気温度 検出器 表示・警報装置 代替計測用計測器 ガンマ線エリアモニタ 中性子線エリアモニタ モニタリングポート モニタリングポイント 放射線サーベイ機器 出入管理設備 個人管理用測定設備 (個人線量計)				
	通信連絡設備	—	通信連絡設備		通信連絡設備	—	通信連絡設備				
	避難通路	—	誘導灯 安全避難用扉		避難通路	—	誘導灯 安全避難用扉				
	消防用設備	—	消火器 防火水槽 防火シャッタ 防火扉		消防用設備	—	消火器 防火水槽 防火シャッタ 防火扉				
	避雷設備	—	動力消防ポンプ		避雷設備	—	動力消防ポンプ				
車両	車両	電源車	—	棟上導体	車両	電源車	—				
3. 2 耐震Cクラス施設、設備の評価方針				3. 2 耐震Cクラス施設、設備の評価方針 (変更なし)							
耐震Cクラス施設、設備の直接支持構造物及び間接支持構造物について、要求される設計用地震力、荷重の組合せと許容限界を考慮し、評価する方針とする。				4. 使用材料及び材料定数 (変更なし)							
4. 使用材料及び材料定数				4. 使用材料及び材料定数 (変更なし)							
4. 1 建物・構築物				4. 1 建物・構築物							
原子力発電所耐震設計技術指針 (JEAG 4601-1987) (日本電気協会 電気技術基準調査会 昭和 62 年 8 月) (以下「JEAG 4601」という。), 建築基準法・同施行令及び鉄筋コンクリート構造計算基準・同解説 (日本建築学会 1999 改定) (以下「RC 基準」という。) の規定に基づく、材料及び材料定数を使用する。				原子力発電所耐震設計技術指針 (JEAG 4601) (日本機械学会 2005 年 9 月) (以下「設計・建設規格」という。) の規定に基づく、材料及び材料定数を使用する。							
4. 2 機器・配管系				4. 2 機器・配管系							
JEAG 4601 及び発電用原子力設備規格 (設計・建設規格 JSME S N C 1-2005) (日本機械学会 2005 年 9 月) (以下「設計・建設規格」という。) の規定に基づく、材料及び材料定数を使用する。				JEAG 4601 及び発電用原子力設備規格 (設計・建設規格 JSME S N C 1-2005) (日本機械学会 2005 年 9 月) (以下「設計・建設規格」という。) の規定に基づく、材料及び材料定数を使用する。							

変更前（改1）	変更後（改2）	備考
<p>5. 荷重及び荷重の組合せ</p> <p>5. 1 建物・構築物</p> <p>JEAG 4601, 建築基準法・同施行令及びRC基準に規定されている地震力以外の荷重を考慮する。また、JEAG 4601及び建築基準法・同施行令の荷重の組合せの考え方に基づき、地震力と地震力以外の荷重を組み合わせて評価する。</p> <p>5. 2 機器・配管系</p> <p>JEAG 4601及び設計・建設規格に規定されている地震力以外の荷重を考慮する。また、JEAG 4601の荷重の組合せの考え方に基づき、地震力と地震以外の荷重を組み合わせて評価する。</p> <p>今回申請設備の電気設備については、貯蔵時の状態で作用する荷重、金属キャスク取り扱いの状態で作用する荷重はないため、静的地震力と常時作用している荷重、すなわち死荷重を組み合わせる。</p> <p>6. 許容限界</p> <p>6. 1 建物・構築物</p> <p>JEAG 4601, 建築基準法・同施行令及びRC基準の規定に基づき、施設に応じた許容限界を設定する。</p> <p>6. 2 機器・配管系</p> <p>JEAG 4601及び設計・建設規格に基づき、設備に応じた許容限界を設定する。</p>	<p>5. 荷重及び荷重の組合せ (変更なし)</p> <p>6. 許容限界</p> <p>6. 1 建物・構築物 (変更なし)</p> <p>6. 2 機器・配管系 (変更なし)</p>	

変更前（改1）					変更後（改2）					備考																																																	
6. 3 対象設備の評価項目					6. 3 対象設備の評価項目																																																						
今回申請設備である電気設備について評価項目を以下に示す。なお、次回申請設備については次回申請にて評価項目を示す。					今回申請設備である電気設備について評価項目を以下に示す。なお、次回申請設備については次回申請にて評価項目を示す。																																																						
<table border="1"> <thead> <tr> <th>設備分類</th><th>設備名称</th><th>評価部位</th><th colspan="2">許容限界</th></tr> </thead> <tbody> <tr> <td rowspan="3">機器・配管系</td><td rowspan="3">電気計装機器</td><td rowspan="3">基礎ボルト (注1)</td><td rowspan="3">一次応力</td><td rowspan="3">せん断</td></tr> <tr><td>無停電電源装置</td></tr> <tr><td>共用無停電電源装置</td></tr> <tr> <td rowspan="8">容器</td><td rowspan="4">軽油貯蔵タンク</td><td rowspan="2">胴</td><td colspan="2">一次一般膜応力</td></tr> <tr><td colspan="2">一次応力</td></tr> <tr><td>固定バンド</td><td>一次応力</td><td>引張り</td></tr> <tr><td>アンカーボルト</td><td>一次応力</td><td>引張り</td></tr> <tr><td rowspan="4">タンク室</td><td>鉄筋</td><td>地震時応力</td><td colspan="2">引張り</td></tr> <tr><td>コンクリート</td><td>地震時応力</td><td>圧縮</td><td colspan="2">せん断</td></tr> <tr><td></td><td></td><td></td><td colspan="2"></td></tr> <tr><td></td><td></td><td></td><td colspan="2"></td></tr> <tr> <td>車両</td><td>電源車</td><td>(評価対象物) 電源車</td><td colspan="2" rowspan="6">(許容状態) 地震力による車両の移動がないこと。※</td></tr> </tbody> </table>										設備分類	設備名称	評価部位	許容限界		機器・配管系	電気計装機器	基礎ボルト (注1)	一次応力	せん断	無停電電源装置	共用無停電電源装置	容器	軽油貯蔵タンク	胴	一次一般膜応力		一次応力		固定バンド	一次応力	引張り	アンカーボルト	一次応力	引張り	タンク室	鉄筋	地震時応力	引張り		コンクリート	地震時応力	圧縮	せん断												車両	電源車	(評価対象物) 電源車	(許容状態) 地震力による車両の移動がないこと。※	
設備分類	設備名称	評価部位	許容限界																																																								
機器・配管系	電気計装機器	基礎ボルト (注1)	一次応力	せん断																																																							
					無停電電源装置																																																						
					共用無停電電源装置																																																						
容器	軽油貯蔵タンク	胴	一次一般膜応力																																																								
			一次応力																																																								
		固定バンド	一次応力	引張り																																																							
		アンカーボルト	一次応力	引張り																																																							
	タンク室	鉄筋	地震時応力	引張り																																																							
		コンクリート	地震時応力	圧縮	せん断																																																						
車両	電源車	(評価対象物) 電源車	(許容状態) 地震力による車両の移動がないこと。※																																																								
(注1) 電気計装機器の盤について、Cクラスの地震力に対して転倒しないことを確認するため、耐震評価上厳しくなる基礎ボルトを評価する。					(注1) 一般的に電気盤の耐震評価は据付部のボルトを評価対象としており、使用済燃料貯蔵施設における電気計装機器の盤についても同様としている。電気計装機器の盤について、筐体は、鉄板とフレームで構成された構造で、その構造強度は十分大きいものである。そのためCクラスの地震力に対して転倒しないことを確認するため、基礎ボルトを評価する。					基礎ボルトの評価について記載の修正。																																																	
(注2) 水平地震力が路面とタイヤの摩擦力を下回ることにより確認する。					(注2) 水平地震力が路面とタイヤの摩擦力を下回ることにより確認する。																																																						
7. 評価方法及び設計用地震力					7. 評価方法及び設計用地震力																																																						
7. 1 評価方法					7. 1 評価方法					(変更なし)																																																	
今回申請設備である電気設備について評価方法を以下に示す。なお、次回申請設備については次回申請にて評価方法を示す。																																																											

変更前（改1）	変更後（改2）	備考
<p>(1) 盤</p> <p>無停電電源装置、共用無停電源装置、電気設備（常用電源）は盤で構成された設備である。盤は基礎ボルトで固定されており、耐震計算については水平地震力に対する基礎ボルトのせん断応力の評価を行う。また、ベースの上に複数の盤が据付けられている場合は、ベース単位で評価を行う。評価の具体例を添付1に示す。</p> <p>(2) 軽油貯蔵タンク</p> <p>軽油貯蔵タンクは、両端に鏡板を有する横置円筒型容器である。タンクをタンク室内の基礎台に載せ、胴を固定バンドで固定し、固定バンドをアンカーボルトで基礎台に据え付ける。タンクが軸直角方向に作用する水平方向地震力を受けた場合が最も保守的と考え、この時の胴、固定バンド、アンカーボルトについて評価を行う。</p> <p>タンク室の鉄筋コンクリート部については、地震時の土圧を考慮した荷重により生じる鉄筋及びコンクリートの応力について評価を行う。評価を添付2に示す。</p> <p>(3) 電源車</p> <p>電源車については、Cクラス施設、設備の設計用地震力により横滑りしないことを評価することにより電源車が有する安全機能を損なわないことの確認を行う。評価を添付3に示す。</p> <p>7. 2 電気設備の設計用地震力</p> <p>耐震Cクラスである電気設備の設計用地震力は静的地震力とする。</p> <p>電気設備は、貯蔵建屋、受変電建屋、施設南側高台に設置される。各建屋、設置場所における水平震度について以下に記載する。</p> <p>(1) 貯蔵建屋内の耐震Cクラス設備における水平震度</p> <p>貯蔵建屋内に設置される無停電電源装置、電気設備（常用電源）の水平震度について「表7-2 貯蔵建屋内の耐震Cクラス設備における水平震度（1.2C<sub>i</sub>）」に記載する。</p> <p>なお、記載する水平震度については「添付5-1 申請設備に係る耐震設計の基本方針」（以下「耐震設計の基本方針」とする。）に記載の地震層せん断力係数：C<sub>i</sub>に1.2（耐震Cクラスの耐震設計上の重要度分類に応じた係数1.0を乗じ20%増しした値）を乗じた値を記載する。</p>	<p>7. 2 電気設備の設計用地震力</p> <p>耐震Cクラスである電気設備の設計用地震力は静的地震力とする。</p> <p>電気設備は、貯蔵建屋、受変電施設、南側高台及び南東側高台に設置される。各建屋、設置場所における水平震度について以下に記載する。</p>	

変更前 (改 1)			変更後 (改 2)	備考																			
表 7-2 貯蔵建屋内の耐震 C クラス設備における水平震度 (1.2C <sub>i</sub> )																							
<table border="1"> <thead> <tr> <th rowspan="2">T.P. (m)</th><th colspan="2">水平震度</th></tr> <tr> <th>NS</th><th>EW</th></tr> </thead> <tbody> <tr> <td>43.5</td><td>0.324</td><td>0.281</td></tr> <tr> <td>39.3</td><td>0.269</td><td>0.271</td></tr> <tr> <td>33.22</td><td>0.257</td><td>0.262</td></tr> <tr> <td>29.22</td><td>0.24</td><td>0.24</td></tr> <tr> <td>16.3</td><td></td><td></td></tr> </tbody> </table>			T.P. (m)	水平震度		NS	EW	43.5	0.324	0.281	39.3	0.269	0.271	33.22	0.257	0.262	29.22	0.24	0.24	16.3			
T.P. (m)	水平震度																						
	NS	EW																					
43.5	0.324	0.281																					
39.3	0.269	0.271																					
33.22	0.257	0.262																					
29.22	0.24	0.24																					
16.3																							
(2) 受変電建屋に設置される電気設備の水平震度 受変電建屋は地表面に設置されており、1階のみの構造である。そのため受変電建屋に設置される共用無停電電源装置の水平震度は「表 7-2 貯蔵建屋内の耐震 C クラス設備における水平震度 (1.2C <sub>i</sub> )」の T.P. 16.3 (m) と同様の値となり、NS, EW ともに 0.24 である。			(2) 受変電施設に設置される電気設備の水平震度 受変電施設は地表面に設置されており、1階のみの構造である。そのため受変電施設に設置される共用無停電電源装置の水平震度は「表 7-2 貯蔵建屋内の耐震 C クラス設備における水平震度 (1.2C <sub>i</sub> )」の T.P. 16.3 (m) と同様の値となり、NS, EW ともに 0.24 である。																				
(3) 施設南側高台に設置される電気設備の水平震度 施設南側高台に配置、設置する設備は、電源車と軽油貯蔵タンク（地下式）である。 電源車の配置面は地表面であり、電源車の水平震度は「表 3-2 貯蔵建屋内の耐震 C クラス設備における水平震度 (1.2C <sub>i</sub> )」の T.P. 16.3 (m) と同様の値となり、NS, EW ともに 0.24 である。  <del>軽油貯蔵タンク（地下式）の水平震度は、「表 7-2 貯蔵建屋内の耐震 C クラス設備における水平震度 (1.2C<sub>i</sub>)」の T.P. 16.3 (m) の値である 0.24 とする。</del>			(3) 南側高台に設置される電気設備の水平震度 南側高台に配置、設置する設備は、電源車である。 電源車の配置面は地表面であり、電源車の水平震度は「表 3-2 貯蔵建屋内の耐震 C クラス設備における水平震度 (1.2C <sub>i</sub> )」の T.P. 16.3 (m) と同様の値となり、NS, EW ともに 0.24 である。																				
8. 評価結果 今回申請設備である電気設備については評価の結果、全ての評価部位について発生応力が許容応力以下であることを確認した。 また、電源車については路面と電源車の摩擦力が、耐震 C クラス設備における水平震度 (1.2C <sub>i</sub> ) に基づく地震力を上回り、電源車の滑動が生じることはなく、耐			(4) 南東側高台に設置される電気設備の水平震度 軽油貯蔵タンク（地下式）の水平震度は、「表 7-2 貯蔵建屋内の耐震 C クラス設備における水平震度 (1.2C <sub>i</sub> )」の T.P. 16.3 (m) の値である 0.24 とする。																				
8. 評価結果 (変更なし)																							

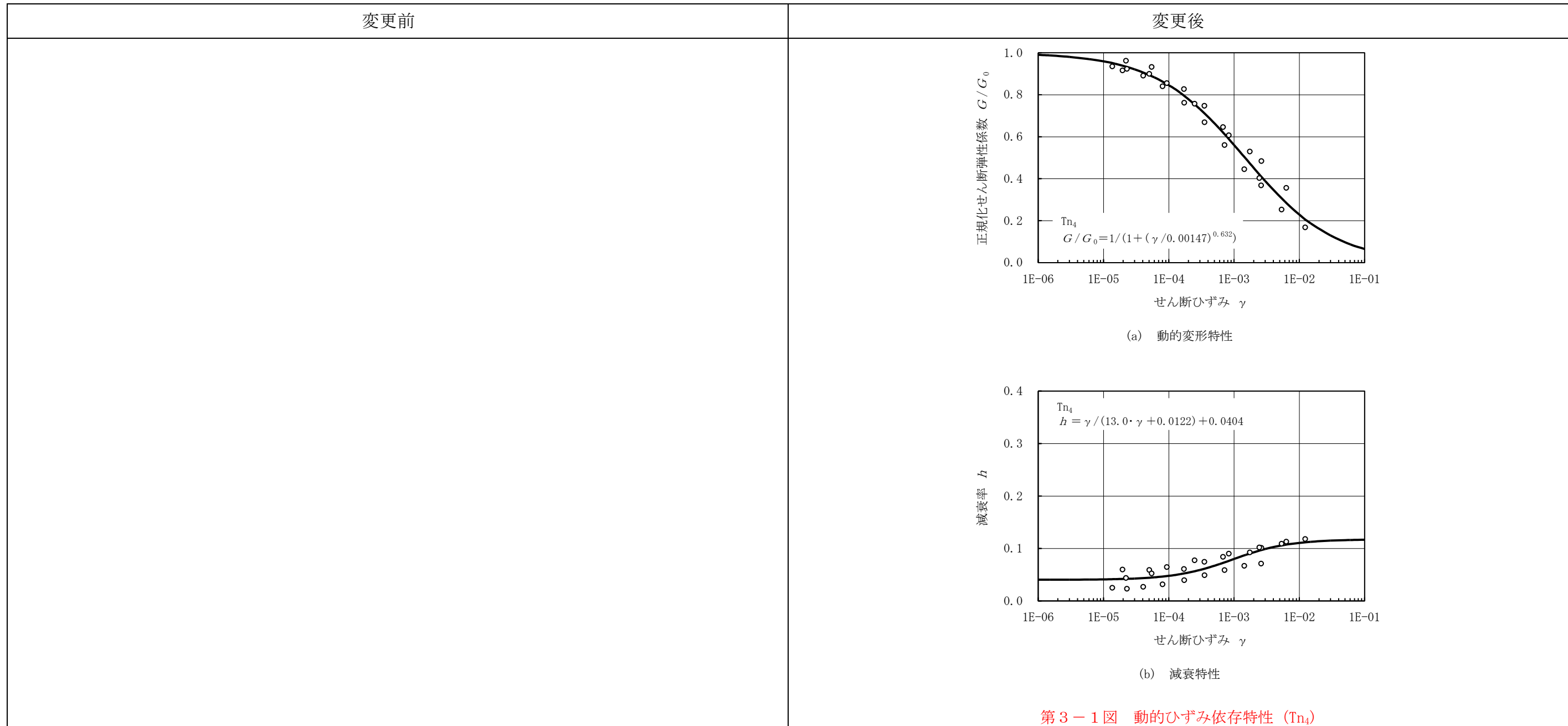
変更前（改1）	変更後（改2）	備考
<p>震Cクラス設備における水平震度 (<math>1.2C_i</math>) に基づく地震力に耐えうるものとなつ ていることを確認した。</p> <p>《評価結果省略》</p> <p>9. 添付資料</p> <p>添付 1：無停電電源装置、共用無停電源装置の耐震性についての計算書</p> <p>添付 2：軽油貯蔵タンクの耐震性についての計算書</p> <p>添付 3：電源車の耐震性についての計算書</p>	<p>《評価結果省略》</p> <p>9. 添付資料 (変更なし)</p>	

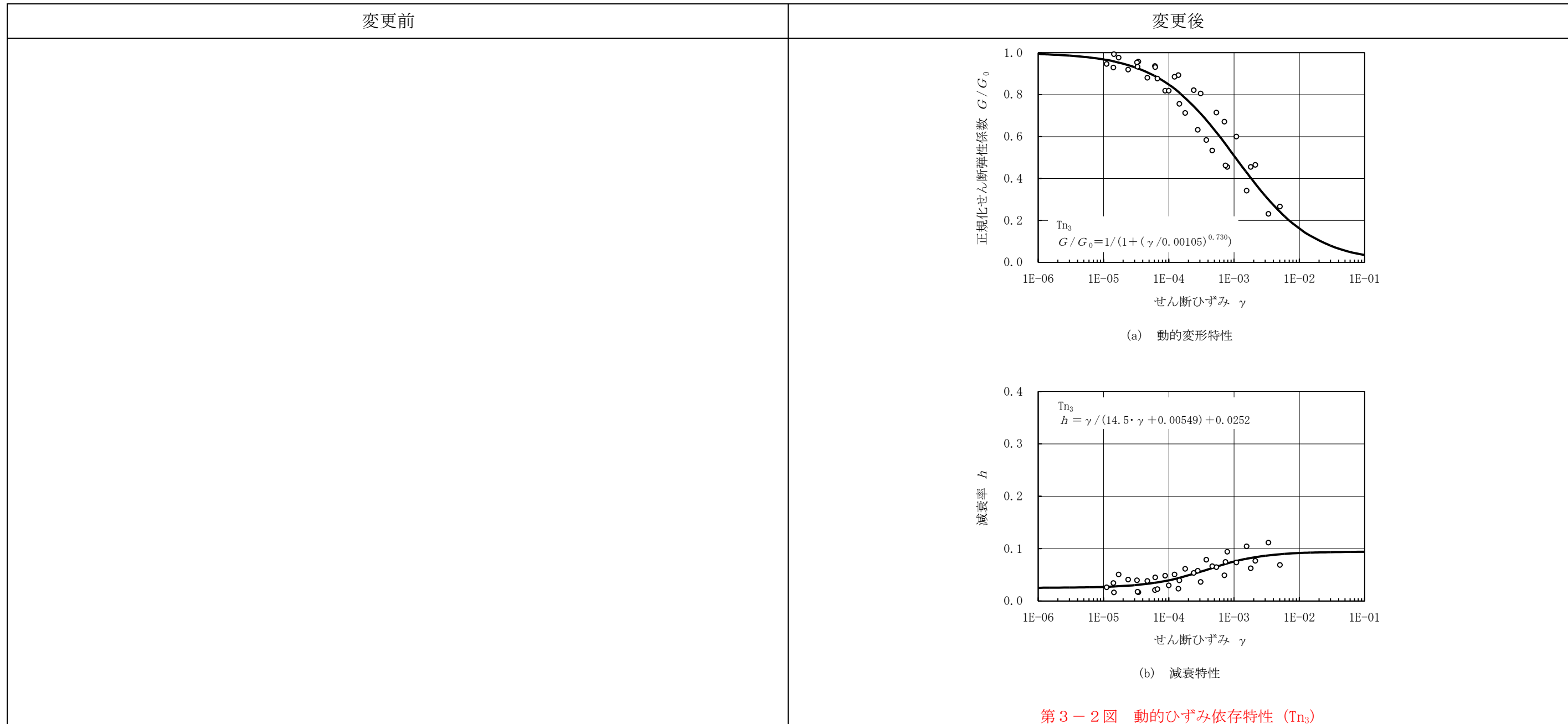
## ○ 設計及び工事の計画の変更認可申請書 変更前, 変更後の内容

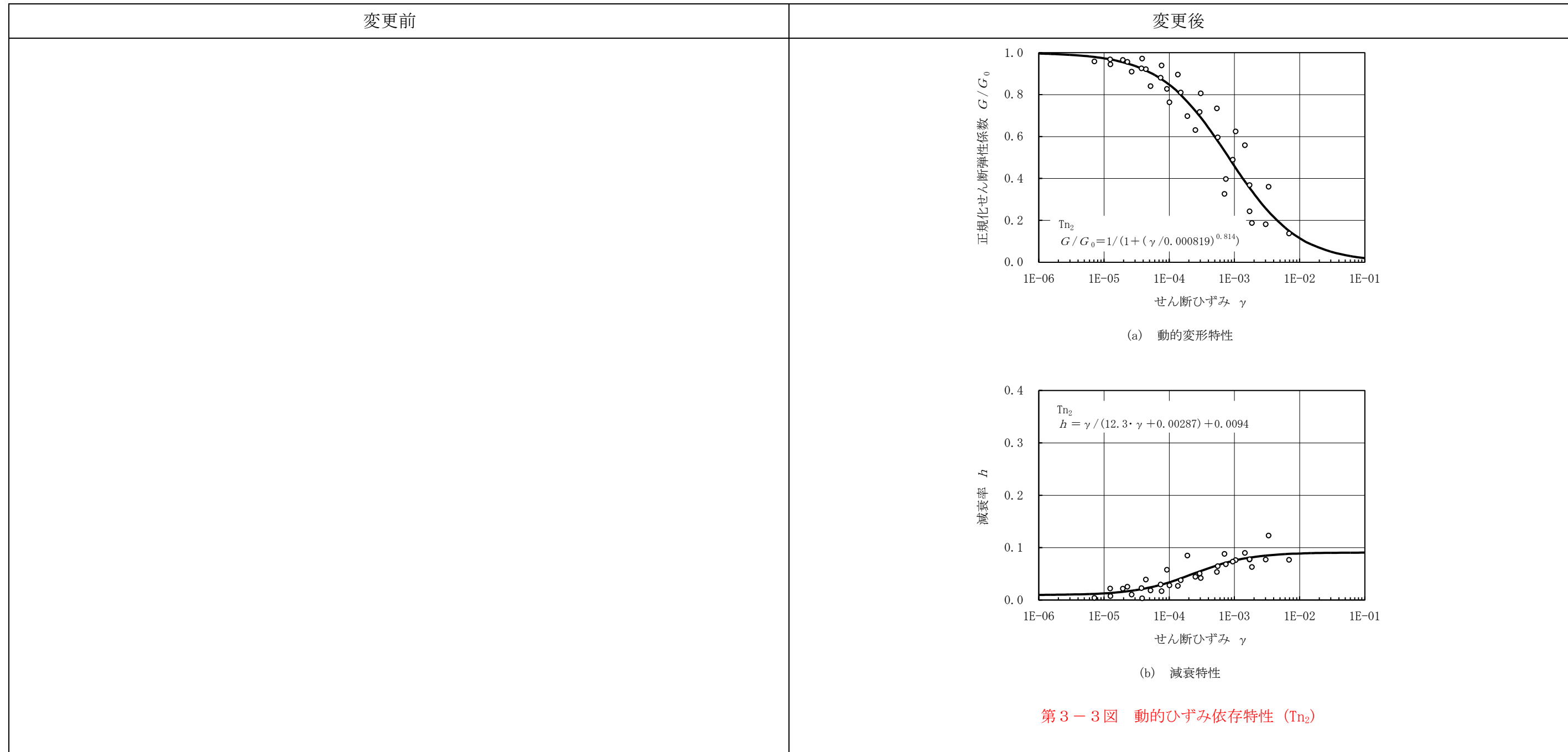
地盤の支持性能に係る基本方針に関し, 変更前, 変更後の内容を示す (赤字: 修正箇所)。

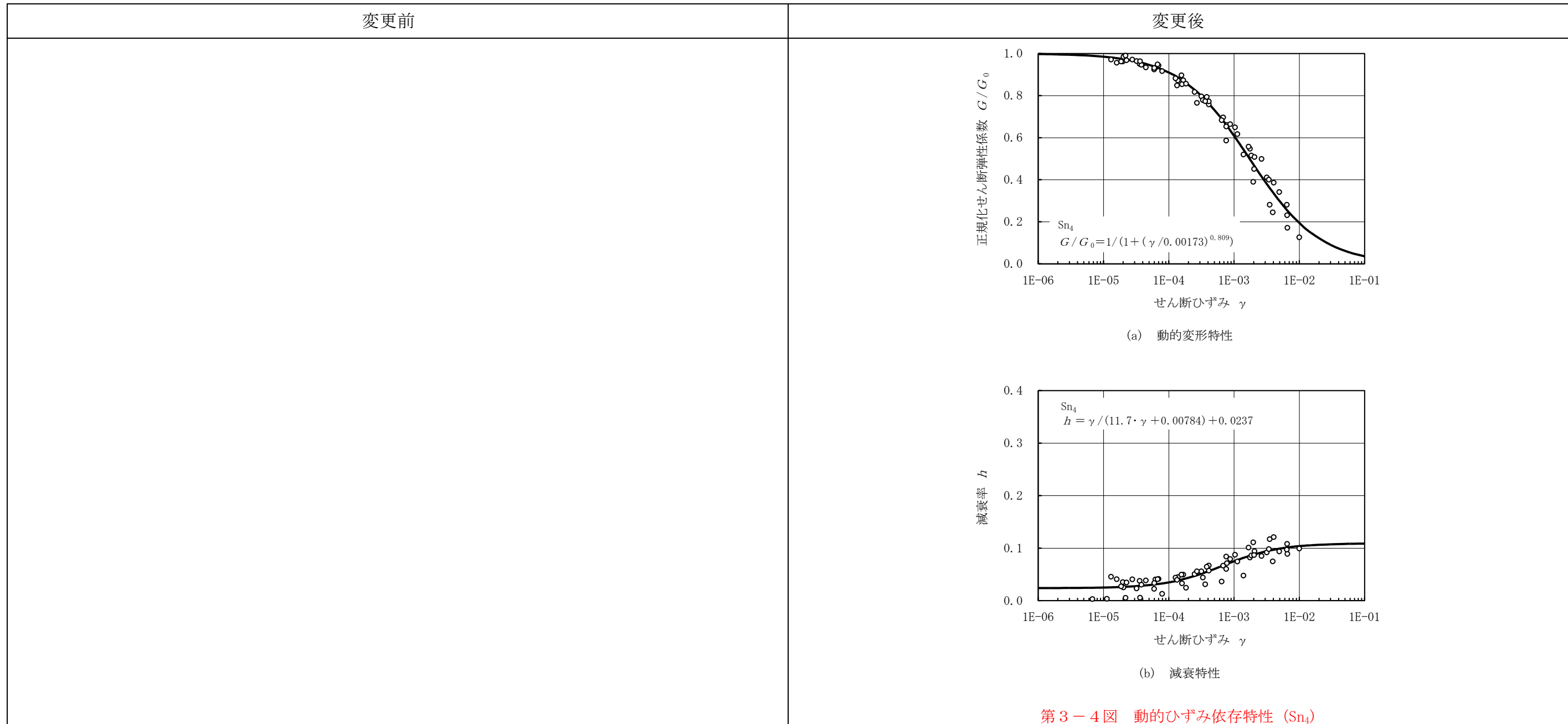
変更前	変更後
<p>添付書類3 使用済燃料貯蔵施設の技術基準への適合性に関する説明書 添付5-1-2 地盤の支持性能に係る基本方針</p>	<p>添付書類3 使用済燃料貯蔵施設の技術基準への適合性に関する説明書 添付5-1-2 地盤の支持性能に係る基本方針</p> <p><b>1. 概要</b> 本資料は、「5-1 申請設備に係る耐震設計の基本方針」に基づき, 使用済燃料貯蔵施設(以下「貯蔵施設」という。)の耐震安全性評価を実施するに当たり, 対象施設を設置する地盤の物理特性, 強度特性, 変形特性等の地盤物性値の設定及び支持性能評価で用いる地盤諸元の基本的な考え方を示したものである。</p> <p><b>2. 基本方針</b> 貯蔵施設は, 技術基準規則第6条に適合するため, 耐震設計上の重要度に応じた地震力が作用した場合においても貯蔵施設を十分に支持することができる地盤に設置されたものとする。 貯蔵施設には, 施設に大きな影響を及ぼすような地震の発生によって崩壊するおそれがある斜面は存在せず, 貯蔵施設は耐震設計上の重要度に応じた地震力が作用した場合においても貯蔵施設を十分に支持することができる地盤に設置される。 貯蔵施設のうち, 使用済燃料貯蔵建屋(以下「貯蔵建屋」という。)は杭基礎とし, 耐震Bクラス施設に適用される地震力及び基準地震動S<sub>s</sub>による地震力が作用した場合においても貯蔵建屋を十分に支持することができる地盤に設置されたものとする。 貯蔵施設のうち, 電気設備をはじめとする耐震Cクラス施設, 設備は, 耐震Cクラス施設に適用される地震力が作用した場合においても当該施設, 設備を十分に支持することができる地盤に設置されたものとする。 耐震Cクラス施設, 設備は, 貯蔵建屋に設置される耐震Cクラス施設, 設備, 貯蔵建屋以外の建屋に設置される耐震Cクラス施設, 設備, 直接地盤に設置される耐震Cクラス施設, 設備のいずれかに類別される。 貯蔵建屋に設置される耐震Cクラス施設, 設備は, 貯蔵建屋に支持させる。貯蔵建屋は杭基礎とし, 耐震Bクラス施設に適用される地震力及び基準地震動S<sub>s</sub>による地震力が作用した場合においても貯蔵建屋を十分に支持することができる地盤に支持させるため, 貯蔵建屋に設置される耐震Cクラス施設, 設備は, 耐震Cクラス施設に適用される地震力が作用した場合においても当該施設, 設備を十分に支持することができる地盤に設置されたものとなる。 貯蔵建屋以外の建屋に設置される耐震Cクラス施設, 設備は, 当該建屋に支持させる。当該建屋は直接基礎とし, 耐震Cクラス施設に適用される地震力と同等である建築基準法に基づく地震力が作用した場合においても当該建屋を十分に支持することができる地盤に支持させるため, 貯蔵建屋以外の建屋に設置される耐震Cクラス施設, 設備は, 耐震Cクラス施設に適用される地震力が作用した場合においても当該施設, 設備を十分に支持することができる地盤に設置されたものとなる。 直接地盤に設置される耐震Cクラス施設, 設備は直接基礎とし, 重量や形状を考慮し, 地盤が当該施設, 設備を十分に支持することができるものであることを確認する。これにより, 建屋外に設置される耐震Cクラス施設, 設備は, 耐震Cクラス施設に適用される地震力が作用した場合においても当該施設, 設備を十分に支持することができる地盤に設置されたものとなる。</p>

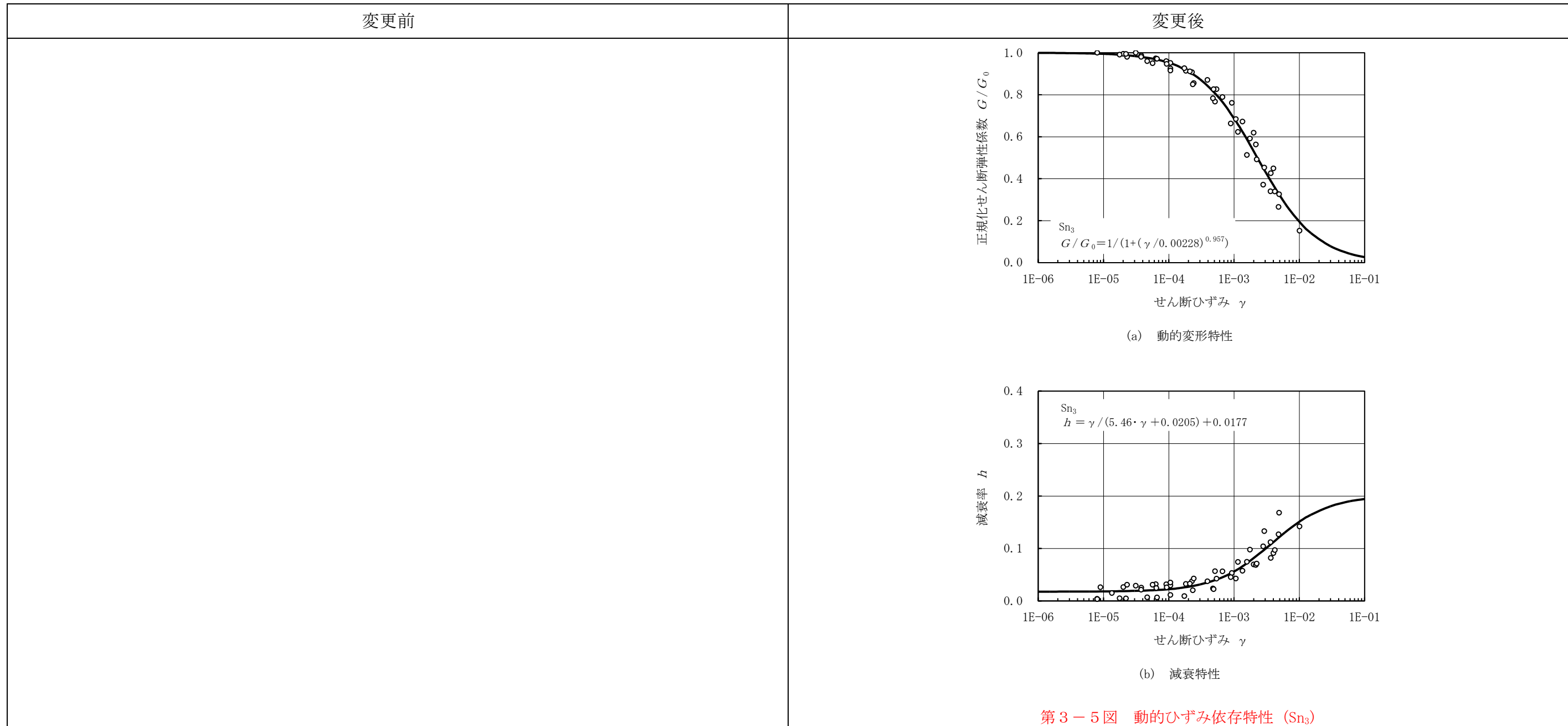
変更前	変更後																																																																																																																																																																																																																																																														
	<p><b>3. 地盤の物性値</b></p> <p>対象施設を設置する地盤の物理特性、強度特性、変形特性等の物性値については、原位置試験及び室内試験から得られた各種物性値を基に設定する。地盤の物性値は、事業変更許可申請書（添付書類四）に記載した値を用いることを基本とする。</p> <p>地盤の物性値及びその設定根拠を第3-1表、第3-2表に示す。動せん剛弹性係数及び減衰定数のひずみ依存特性を第3-1図～第3-7図に示す。</p> <p style="text-align: center;"><b>第3-1表 地盤の物性値</b></p> <table border="1" style="width: 100%; border-collapse: collapse; text-align: center;"> <thead> <tr> <th rowspan="2">△</th> <th colspan="2">物理的物性</th> <th colspan="2">強度的物性</th> <th colspan="2">静的変形的物性</th> <th colspan="2">動的変形的物性</th> </tr> <tr> <th>強度密度 <math>\sigma_s</math> (<math>\text{kg/cm}^2</math>)</th> <th>ピーカ强度 <math>C</math> (<math>\text{N/mm}^2</math>)</th> <th>残留強度 <math>C_r</math> (<math>\text{N/mm}^2</math>)</th> <th>初期変形係数 <math>E_s</math> (<math>\text{N/mm}^2</math>)</th> <th>静ボアソン比 <math>v_s</math></th> <th>動せん剛弹性係数 <math>G_s</math> (<math>\text{N/mm}^2</math>)</th> <th>動ボアソン比 <math>v_d</math></th> <th>正規化した剛弹性係数 <math>G/G_s</math>のひずみ依存性</th> <th>減衰率のひずみ依存性 <math>\beta-\gamma</math></th> </tr> </thead> <tbody> <tr> <td>盛土・堆土 (Oa)</td> <td>1.75</td> <td>0.055</td> <td>0.053</td> <td>16.4</td> <td>0.19</td> <td>56.6</td> <td>0.49</td> <td><math>1/(1 + (\gamma / 0.00005)^{1.00})</math></td> <td><math>6.06 \cdot \gamma + 0.00455 + 0.0229</math></td> </tr> <tr> <td>ローム (Lal)</td> <td>1.47</td> <td>0.085</td> <td>0.084</td> <td>21.8</td> <td>0.21</td> <td>231</td> <td>0.46</td> <td><math>1/(1 + (\gamma / 0.00074)^{1.00})</math></td> <td><math>12.3 \cdot \gamma + 0.00625 + 0.0228</math></td> </tr> <tr> <td>中位段丘堆積物 (Md)</td> <td>1.79</td> <td>0.073</td> <td>0.071</td> <td>11.6</td> <td>0.13</td> <td>71.8</td> <td>0.49</td> <td><math>1/(1 + (\gamma / 0.00005)^{1.00})</math></td> <td><math>16.9 \cdot \gamma + 0.00270 + 0.0216</math></td> </tr> <tr> <td>上部砂質・粘性土 (Tn)</td> <td>1.80</td> <td>0.231</td> <td>0.213</td> <td>29.1</td> <td>0.19</td> <td>227</td> <td>0.48</td> <td><math>1/(1 + (\gamma / 0.00151)^{1.00})</math></td> <td><math>14.2 \cdot \gamma + 0.00976 + 0.0165</math></td> </tr> <tr> <td>中部砂質土 (Tn)</td> <td>1.59</td> <td>0.140</td> <td>0.116</td> <td>26.3</td> <td>0.09</td> <td>256</td> <td>0.47</td> <td><math>1/(1 + (\gamma / 0.00147)^{1.00})</math></td> <td><math>11.0 \cdot \gamma + 0.0122 + 0.0104</math></td> </tr> <tr> <td>中部粘性土 (Tn)</td> <td>1.91</td> <td>0.297</td> <td>0.233</td> <td>13.4</td> <td>0.19</td> <td>284</td> <td>0.47</td> <td><math>1/(1 + (\gamma / 0.000165)^{1.00})</math></td> <td><math>14.5 \cdot \gamma + 0.00549 + 0.0252</math></td> </tr> <tr> <td>下部砂質土 (Tn)</td> <td>1.92</td> <td>0.621</td> <td>0.551</td> <td>172</td> <td>0.11</td> <td>376</td> <td>0.45</td> <td><math>1/(1 + (\gamma / 0.00019)^{1.00})</math></td> <td><math>12.3 \cdot \gamma + 0.00287 + 0.0094</math></td> </tr> <tr> <td>下部粘性土 (Tn)</td> <td>1.69</td> <td>0.277</td> <td>0.184</td> <td>106</td> <td>0.20</td> <td>333</td> <td>0.46</td> <td><math>1/(1 + (\gamma / 0.00594)^{1.00})</math></td> <td><math>24.6 \cdot \gamma + 0.00273 + 0.0116</math></td> </tr> <tr> <td>上部軟岩 (クリソリフ岩) (Sm)</td> <td>1.82</td> <td>0.301 - 0.0352 · <math>Z'</math></td> <td>0.300 - 0.0340 · <math>Z'</math></td> <td>104 - 4.91 · <math>Z'</math></td> <td>0.15</td> <td>326 - 5.11 · <math>Z'</math></td> <td>0.45</td> <td><math>1/(1 + (\gamma / 0.00173)^{1.00})</math></td> <td><math>11.7 \cdot \gamma + 0.00574 + 0.0237</math></td> </tr> <tr> <td>中部軟岩 (クリソリフ岩) (Sm)</td> <td>1.83</td> <td>0.728 - 0.00289 · <math>Z'</math></td> <td>0.741 - 0.00239 · <math>Z'</math></td> <td>386</td> <td>0.15</td> <td>388 - 4.54 · <math>Z'</math></td> <td>0.44</td> <td><math>1/(1 + (\gamma / 0.00202)^{1.00})</math></td> <td><math>5.46 \cdot \gamma + 0.02268 + 0.0177</math></td> </tr> <tr> <td>火山巖凝灰岩 (Sm)</td> <td>2.01</td> <td>1.34</td> <td>1.24</td> <td>422</td> <td>0.19</td> <td>1,230</td> <td>0.41</td> <td><math>1/(1 + (\gamma / 0.00180)^{1.00})</math></td> <td><math>8.45 \cdot \gamma + 0.02236 + 0.0229</math></td> </tr> <tr> <td>下部軟岩 (クリソリフ岩) (Sm)</td> <td>1.77</td> <td>1.12</td> <td>1.04</td> <td>696</td> <td>0.14</td> <td>172 - 3.77 · <math>Z'</math></td> <td>0.42</td> <td><math>1/(1 + (\gamma / 0.00211)^{1.00})</math></td> <td><math>8.27 \cdot \gamma + 0.0232 + 0.0118</math></td> </tr> </tbody> </table> <p>* <math>Z'</math> は標高 (m) を表す。 * 強度密度 (ピーカ強度・残留強度) は右回により設定する。 ただし、残留強度の場合は <math>C</math> を <math>C_r</math> に置き換える。 * ハーベル安全率の算定には、安全側に盛土・堆土 (Oa)・ローム層 (Lal)・中位段丘堆積物 (Md) の強度は無視する。</p> <p style="text-align: center;"><b>第3-2表 地盤の物性値の設定根拠</b></p> <table border="1" style="width: 100%; border-collapse: collapse; text-align: center;"> <thead> <tr> <th rowspan="2">△</th> <th colspan="2">物理的物性</th> <th colspan="2">強度的物性</th> <th colspan="2">静的変形的物性</th> <th colspan="2">動的変形的物性</th> </tr> <tr> <th>強度密度 <math>\sigma_s</math></th> <th>ピーカ強度 <math>C</math></th> <th>残留強度 <math>C_r</math></th> <th>初期変形係数 <math>E_s</math></th> <th>静ボアソン比 <math>v_s</math></th> <th>動せん剛弹性係数 <math>G_s</math></th> <th>動ボアソン比 <math>v_d</math></th> <th><math>G/G_s</math> の ひずみ依存性</th> </tr> </thead> <tbody> <tr> <td>盛土・堆土 (Oa)</td> <td></td> <td></td> <td></td> <td></td> <td></td> <td></td> <td></td> <td></td> </tr> <tr> <td>ローム (Lal)</td> <td></td> <td>プロック試料から採取した供試体の強度密度</td> <td></td> <td></td> <td>プロック試料から採取した供試体の三軸圧縮試験</td> <td></td> <td></td> <td>プロック試料から採取した供試体の剛弹性係数による <math>V_p</math>、<math>V_d</math> により算定</td> </tr> <tr> <td>中位段丘堆積物 (Md)</td> <td></td> <td></td> <td></td> <td></td> <td></td> <td></td> <td></td> <td></td> </tr> <tr> <td>上部砂質・粘性土 (Tn)</td> <td></td> <td></td> <td></td> <td></td> <td></td> <td></td> <td></td> <td></td> </tr> <tr> <td>中部砂質土 (Tn)</td> <td></td> <td></td> <td></td> <td></td> <td></td> <td></td> <td></td> <td></td> </tr> <tr> <td>下部砂質土 (Tn)</td> <td></td> <td></td> <td></td> <td></td> <td></td> <td></td> <td></td> <td></td> </tr> <tr> <td>下部粘性土 (Tn)</td> <td></td> <td>ボーリングコア試料から採取した供試体の強度密度</td> <td></td> <td></td> <td>ボーリングコア試料から採取した供試体の三軸圧縮試験</td> <td></td> <td></td> <td>ボーリングコア試料から採取した供試体の剛弹性係数による <math>V_p</math>、<math>V_d</math> により算定</td> </tr> <tr> <td>上部軟岩 (クリソリフ岩) (Sm)</td> <td></td> <td></td> <td></td> <td></td> <td></td> <td></td> <td></td> <td></td> </tr> <tr> <td>中部軟岩 (クリソリフ岩) (Sm)</td> <td></td> <td></td> <td></td> <td></td> <td></td> <td></td> <td></td> <td></td> </tr> <tr> <td>火山巖凝灰岩 (Sm)</td> <td></td> <td></td> <td></td> <td></td> <td></td> <td></td> <td></td> <td></td> </tr> <tr> <td>下部軟岩 (クリソリフ岩) (Sm)</td> <td></td> <td></td> <td></td> <td></td> <td></td> <td></td> <td></td> <td></td> </tr> </tbody> </table> <p>* 物理的試験結果は、動せん剛弹性係数 <math>G_s</math> 及び動ボアソン比 <math>v_d</math> からかじめの体積弾性係数 <math>K_s</math> を求めておき、 <math>G_s</math> の変動でも <math>K_s</math> は常に初期値一定になるように、 <math>v_d</math> を支える手法 (体積弾性係数 <math>K_s</math> 一定) を用いています。 * <math>G_s = G_s \cdot V_p \cdot V_d</math> * 盛土・堆土 (Oa) は砂質土と粘土から構成されることから、それぞれについて物性値を設定し、解析用物性値は両者の平均値とした。</p>	△	物理的物性		強度的物性		静的変形的物性		動的変形的物性		強度密度 $\sigma_s$ ( $\text{kg/cm}^2$ )	ピーカ强度 $C$ ( $\text{N/mm}^2$ )	残留強度 $C_r$ ( $\text{N/mm}^2$ )	初期変形係数 $E_s$ ( $\text{N/mm}^2$ )	静ボアソン比 $v_s$	動せん剛弹性係数 $G_s$ ( $\text{N/mm}^2$ )	動ボアソン比 $v_d$	正規化した剛弹性係数 $G/G_s$ のひずみ依存性	減衰率のひずみ依存性 $\beta-\gamma$	盛土・堆土 (Oa)	1.75	0.055	0.053	16.4	0.19	56.6	0.49	$1/(1 + (\gamma / 0.00005)^{1.00})$	$6.06 \cdot \gamma + 0.00455 + 0.0229$	ローム (Lal)	1.47	0.085	0.084	21.8	0.21	231	0.46	$1/(1 + (\gamma / 0.00074)^{1.00})$	$12.3 \cdot \gamma + 0.00625 + 0.0228$	中位段丘堆積物 (Md)	1.79	0.073	0.071	11.6	0.13	71.8	0.49	$1/(1 + (\gamma / 0.00005)^{1.00})$	$16.9 \cdot \gamma + 0.00270 + 0.0216$	上部砂質・粘性土 (Tn)	1.80	0.231	0.213	29.1	0.19	227	0.48	$1/(1 + (\gamma / 0.00151)^{1.00})$	$14.2 \cdot \gamma + 0.00976 + 0.0165$	中部砂質土 (Tn)	1.59	0.140	0.116	26.3	0.09	256	0.47	$1/(1 + (\gamma / 0.00147)^{1.00})$	$11.0 \cdot \gamma + 0.0122 + 0.0104$	中部粘性土 (Tn)	1.91	0.297	0.233	13.4	0.19	284	0.47	$1/(1 + (\gamma / 0.000165)^{1.00})$	$14.5 \cdot \gamma + 0.00549 + 0.0252$	下部砂質土 (Tn)	1.92	0.621	0.551	172	0.11	376	0.45	$1/(1 + (\gamma / 0.00019)^{1.00})$	$12.3 \cdot \gamma + 0.00287 + 0.0094$	下部粘性土 (Tn)	1.69	0.277	0.184	106	0.20	333	0.46	$1/(1 + (\gamma / 0.00594)^{1.00})$	$24.6 \cdot \gamma + 0.00273 + 0.0116$	上部軟岩 (クリソリフ岩) (Sm)	1.82	0.301 - 0.0352 · $Z'$	0.300 - 0.0340 · $Z'$	104 - 4.91 · $Z'$	0.15	326 - 5.11 · $Z'$	0.45	$1/(1 + (\gamma / 0.00173)^{1.00})$	$11.7 \cdot \gamma + 0.00574 + 0.0237$	中部軟岩 (クリソリフ岩) (Sm)	1.83	0.728 - 0.00289 · $Z'$	0.741 - 0.00239 · $Z'$	386	0.15	388 - 4.54 · $Z'$	0.44	$1/(1 + (\gamma / 0.00202)^{1.00})$	$5.46 \cdot \gamma + 0.02268 + 0.0177$	火山巖凝灰岩 (Sm)	2.01	1.34	1.24	422	0.19	1,230	0.41	$1/(1 + (\gamma / 0.00180)^{1.00})$	$8.45 \cdot \gamma + 0.02236 + 0.0229$	下部軟岩 (クリソリフ岩) (Sm)	1.77	1.12	1.04	696	0.14	172 - 3.77 · $Z'$	0.42	$1/(1 + (\gamma / 0.00211)^{1.00})$	$8.27 \cdot \gamma + 0.0232 + 0.0118$	△	物理的物性		強度的物性		静的変形的物性		動的変形的物性		強度密度 $\sigma_s$	ピーカ強度 $C$	残留強度 $C_r$	初期変形係数 $E_s$	静ボアソン比 $v_s$	動せん剛弹性係数 $G_s$	動ボアソン比 $v_d$	$G/G_s$ の ひずみ依存性	盛土・堆土 (Oa)									ローム (Lal)		プロック試料から採取した供試体の強度密度			プロック試料から採取した供試体の三軸圧縮試験			プロック試料から採取した供試体の剛弹性係数による $V_p$ 、 $V_d$ により算定	中位段丘堆積物 (Md)									上部砂質・粘性土 (Tn)									中部砂質土 (Tn)									下部砂質土 (Tn)									下部粘性土 (Tn)		ボーリングコア試料から採取した供試体の強度密度			ボーリングコア試料から採取した供試体の三軸圧縮試験			ボーリングコア試料から採取した供試体の剛弹性係数による $V_p$ 、 $V_d$ により算定	上部軟岩 (クリソリフ岩) (Sm)									中部軟岩 (クリソリフ岩) (Sm)									火山巖凝灰岩 (Sm)									下部軟岩 (クリソリフ岩) (Sm)								
△	物理的物性		強度的物性		静的変形的物性		動的変形的物性																																																																																																																																																																																																																																																								
	強度密度 $\sigma_s$ ( $\text{kg/cm}^2$ )	ピーカ强度 $C$ ( $\text{N/mm}^2$ )	残留強度 $C_r$ ( $\text{N/mm}^2$ )	初期変形係数 $E_s$ ( $\text{N/mm}^2$ )	静ボアソン比 $v_s$	動せん剛弹性係数 $G_s$ ( $\text{N/mm}^2$ )	動ボアソン比 $v_d$	正規化した剛弹性係数 $G/G_s$ のひずみ依存性	減衰率のひずみ依存性 $\beta-\gamma$																																																																																																																																																																																																																																																						
盛土・堆土 (Oa)	1.75	0.055	0.053	16.4	0.19	56.6	0.49	$1/(1 + (\gamma / 0.00005)^{1.00})$	$6.06 \cdot \gamma + 0.00455 + 0.0229$																																																																																																																																																																																																																																																						
ローム (Lal)	1.47	0.085	0.084	21.8	0.21	231	0.46	$1/(1 + (\gamma / 0.00074)^{1.00})$	$12.3 \cdot \gamma + 0.00625 + 0.0228$																																																																																																																																																																																																																																																						
中位段丘堆積物 (Md)	1.79	0.073	0.071	11.6	0.13	71.8	0.49	$1/(1 + (\gamma / 0.00005)^{1.00})$	$16.9 \cdot \gamma + 0.00270 + 0.0216$																																																																																																																																																																																																																																																						
上部砂質・粘性土 (Tn)	1.80	0.231	0.213	29.1	0.19	227	0.48	$1/(1 + (\gamma / 0.00151)^{1.00})$	$14.2 \cdot \gamma + 0.00976 + 0.0165$																																																																																																																																																																																																																																																						
中部砂質土 (Tn)	1.59	0.140	0.116	26.3	0.09	256	0.47	$1/(1 + (\gamma / 0.00147)^{1.00})$	$11.0 \cdot \gamma + 0.0122 + 0.0104$																																																																																																																																																																																																																																																						
中部粘性土 (Tn)	1.91	0.297	0.233	13.4	0.19	284	0.47	$1/(1 + (\gamma / 0.000165)^{1.00})$	$14.5 \cdot \gamma + 0.00549 + 0.0252$																																																																																																																																																																																																																																																						
下部砂質土 (Tn)	1.92	0.621	0.551	172	0.11	376	0.45	$1/(1 + (\gamma / 0.00019)^{1.00})$	$12.3 \cdot \gamma + 0.00287 + 0.0094$																																																																																																																																																																																																																																																						
下部粘性土 (Tn)	1.69	0.277	0.184	106	0.20	333	0.46	$1/(1 + (\gamma / 0.00594)^{1.00})$	$24.6 \cdot \gamma + 0.00273 + 0.0116$																																																																																																																																																																																																																																																						
上部軟岩 (クリソリフ岩) (Sm)	1.82	0.301 - 0.0352 · $Z'$	0.300 - 0.0340 · $Z'$	104 - 4.91 · $Z'$	0.15	326 - 5.11 · $Z'$	0.45	$1/(1 + (\gamma / 0.00173)^{1.00})$	$11.7 \cdot \gamma + 0.00574 + 0.0237$																																																																																																																																																																																																																																																						
中部軟岩 (クリソリフ岩) (Sm)	1.83	0.728 - 0.00289 · $Z'$	0.741 - 0.00239 · $Z'$	386	0.15	388 - 4.54 · $Z'$	0.44	$1/(1 + (\gamma / 0.00202)^{1.00})$	$5.46 \cdot \gamma + 0.02268 + 0.0177$																																																																																																																																																																																																																																																						
火山巖凝灰岩 (Sm)	2.01	1.34	1.24	422	0.19	1,230	0.41	$1/(1 + (\gamma / 0.00180)^{1.00})$	$8.45 \cdot \gamma + 0.02236 + 0.0229$																																																																																																																																																																																																																																																						
下部軟岩 (クリソリフ岩) (Sm)	1.77	1.12	1.04	696	0.14	172 - 3.77 · $Z'$	0.42	$1/(1 + (\gamma / 0.00211)^{1.00})$	$8.27 \cdot \gamma + 0.0232 + 0.0118$																																																																																																																																																																																																																																																						
△	物理的物性		強度的物性		静的変形的物性		動的変形的物性																																																																																																																																																																																																																																																								
	強度密度 $\sigma_s$	ピーカ強度 $C$	残留強度 $C_r$	初期変形係数 $E_s$	静ボアソン比 $v_s$	動せん剛弹性係数 $G_s$	動ボアソン比 $v_d$	$G/G_s$ の ひずみ依存性																																																																																																																																																																																																																																																							
盛土・堆土 (Oa)																																																																																																																																																																																																																																																															
ローム (Lal)		プロック試料から採取した供試体の強度密度			プロック試料から採取した供試体の三軸圧縮試験			プロック試料から採取した供試体の剛弹性係数による $V_p$ 、 $V_d$ により算定																																																																																																																																																																																																																																																							
中位段丘堆積物 (Md)																																																																																																																																																																																																																																																															
上部砂質・粘性土 (Tn)																																																																																																																																																																																																																																																															
中部砂質土 (Tn)																																																																																																																																																																																																																																																															
下部砂質土 (Tn)																																																																																																																																																																																																																																																															
下部粘性土 (Tn)		ボーリングコア試料から採取した供試体の強度密度			ボーリングコア試料から採取した供試体の三軸圧縮試験			ボーリングコア試料から採取した供試体の剛弹性係数による $V_p$ 、 $V_d$ により算定																																																																																																																																																																																																																																																							
上部軟岩 (クリソリフ岩) (Sm)																																																																																																																																																																																																																																																															
中部軟岩 (クリソリフ岩) (Sm)																																																																																																																																																																																																																																																															
火山巖凝灰岩 (Sm)																																																																																																																																																																																																																																																															
下部軟岩 (クリソリフ岩) (Sm)																																																																																																																																																																																																																																																															

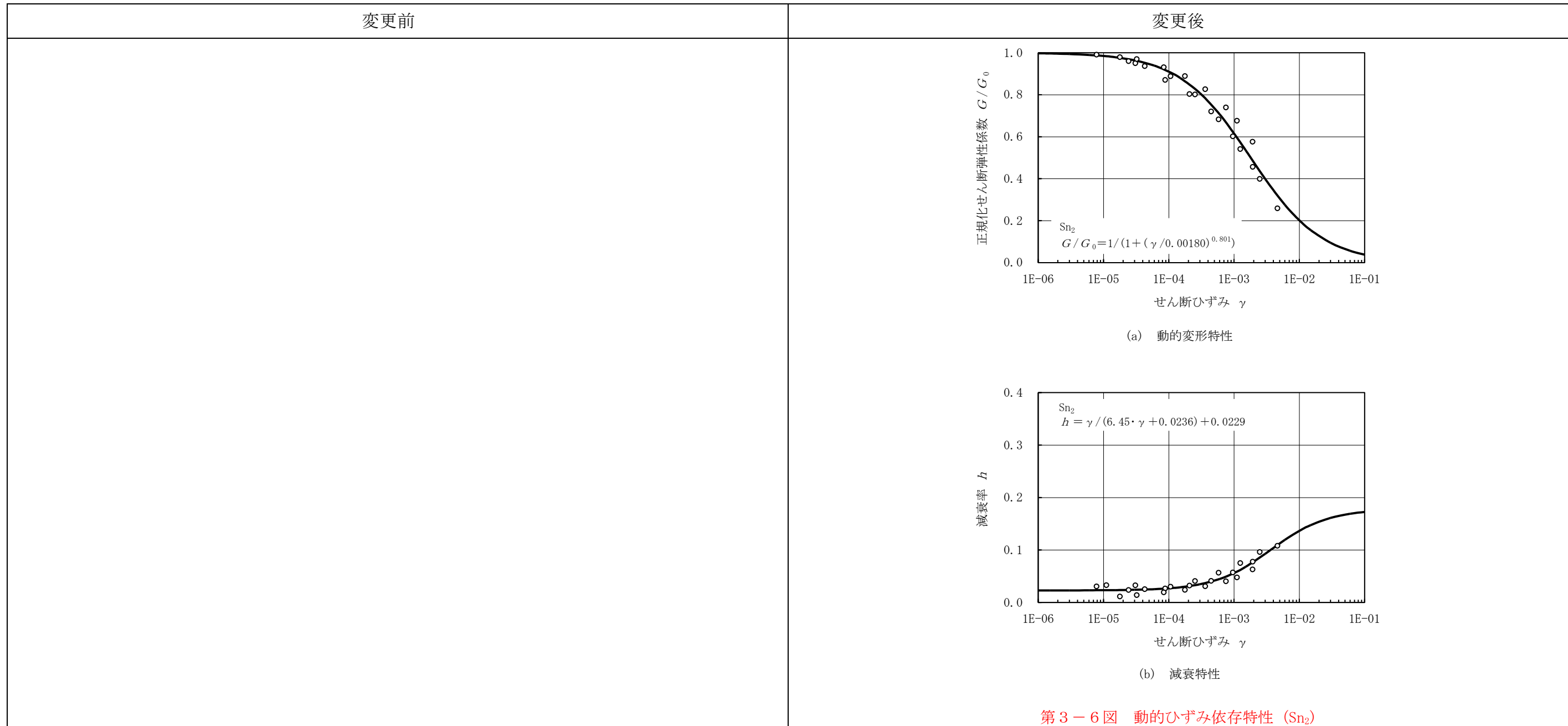


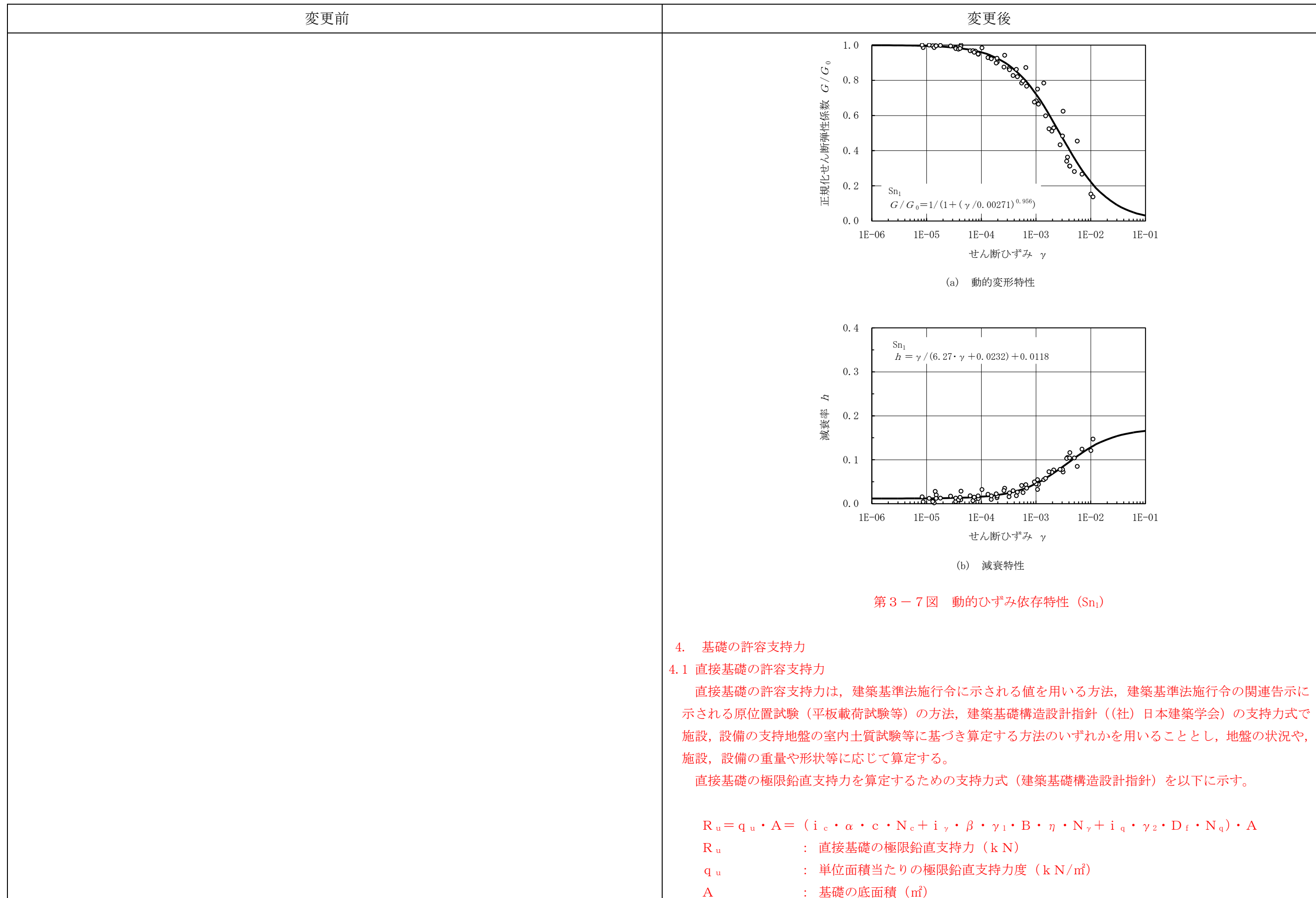












変更前	変更後
	<p> <math>N_c, N_\gamma, N_q</math> : 支持力係数（第4-1表参照）  <math>c</math> : 支持地盤の粘着力 (<math>\text{k N/m}^2</math>)  <math>\gamma_1</math> : 支持地盤の単位体積重量 (<math>\text{k N/m}^3</math>)  <math>\gamma_2</math> : 根入れ部分の土の単位体積重量 (<math>\text{k N/m}^3</math>)          ( <math>\gamma_1, \gamma_2</math> には、地下水位以下の場合には水中単位体積重量を用いる)  <math>\alpha, \beta</math> : 基礎の形状係数（第4-2表参照）  <math>\eta</math> : 基礎の寸法効果による補正係数  <math>\eta = (B/B_0)^{-1/3}</math> (ただし、<math>B, B_0</math> の単位はm, <math>B_0=1\text{m}</math>)  <math>i_c, i_\gamma, i_q</math> : 荷重の傾斜に対する補正係数  <math>i_c = i_q = (1 - \theta/90)^2</math>  <math>i_\gamma = (1 - \theta/\phi)^2</math> (ただし、<math>\theta &gt; \phi</math> の場合には <math>i_\gamma = 0</math>)  <math>\phi</math> : 土の内部摩擦角 (°)  <math>\theta</math> : 荷重の傾斜角 (°)  <math>\tan \theta = H/V</math> (H:水平荷重, V:鉛直荷重) で、かつ  <math>\tan \theta \leq \mu</math> (<math>\mu</math> は基礎底面の摩擦係数)  <math>B</math> : 基礎幅 (m)  <math>D_f</math> : 根入れ深さ (m)       </p>

第4-1表 支持力係数

$\phi$	$N_c$	$N_\gamma$	$N_q$
0°	5.1	1.0	0.0
5°	6.5	1.6	0.1
10°	8.3	2.5	0.4
15°	11.0	3.9	1.1
20°	14.8	6.4	2.9
25°	20.7	10.7	6.8
28°	25.8	14.7	11.2
30°	30.1	18.4	15.7
32°	35.5	23.2	22.0
34°	42.2	29.4	31.1
36°	50.6	37.8	44.4
38°	61.4	48.9	64.1
40° 以上	75.3	64.2	93.7

変更前	変更後															
<p><b>第4－2表 形状係数</b></p> <table border="1" style="margin-left: auto; margin-right: auto;"> <thead> <tr> <th>基礎底面の形状</th><th>連続</th><th>正方形</th><th>長方形</th><th>円形</th></tr> </thead> <tbody> <tr> <td><math>\alpha</math></td><td>1.0</td><td>1.2</td><td><math>1.0 + 0.2 B/L</math></td><td>1.2</td></tr> <tr> <td><math>\beta</math></td><td>0.5</td><td>0.3</td><td><math>0.5 - 0.2 B/L</math></td><td>0.3</td></tr> </tbody> </table> <p>B : 長方形の短辺長さ, L : 長方形の長辺長さ</p>		基礎底面の形状	連続	正方形	長方形	円形	$\alpha$	1.0	1.2	$1.0 + 0.2 B/L$	1.2	$\beta$	0.5	0.3	$0.5 - 0.2 B/L$	0.3
基礎底面の形状	連続	正方形	長方形	円形												
$\alpha$	1.0	1.2	$1.0 + 0.2 B/L$	1.2												
$\beta$	0.5	0.3	$0.5 - 0.2 B/L$	0.3												

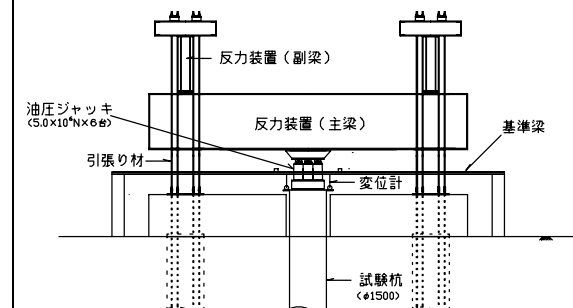
#### 4.2 杭基礎の許容支持力

杭の支持力試験を実施している貯蔵建屋については、杭基礎の極限支持力を支持力試験結果から設定する。杭の載荷試験の概要を第4－3表に示す。

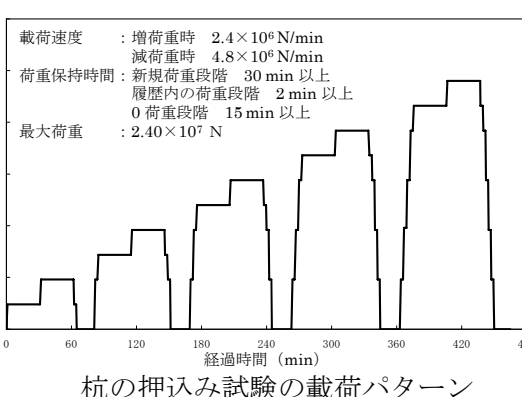
第4－3表 杭の載荷試験の概要

##### ① 杭の押込み試験

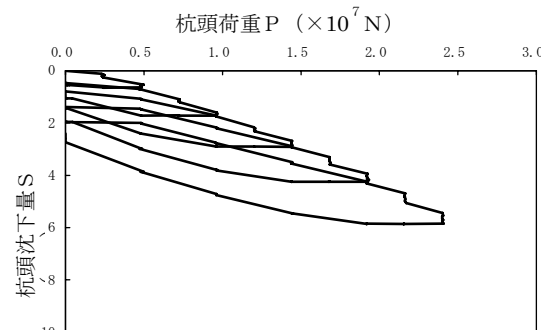
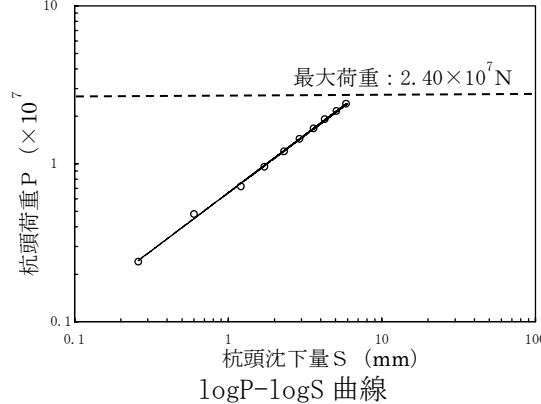
載荷試験による評価は地盤工学会基準「杭の鉛直載荷試験方法・同解説」に準拠する。

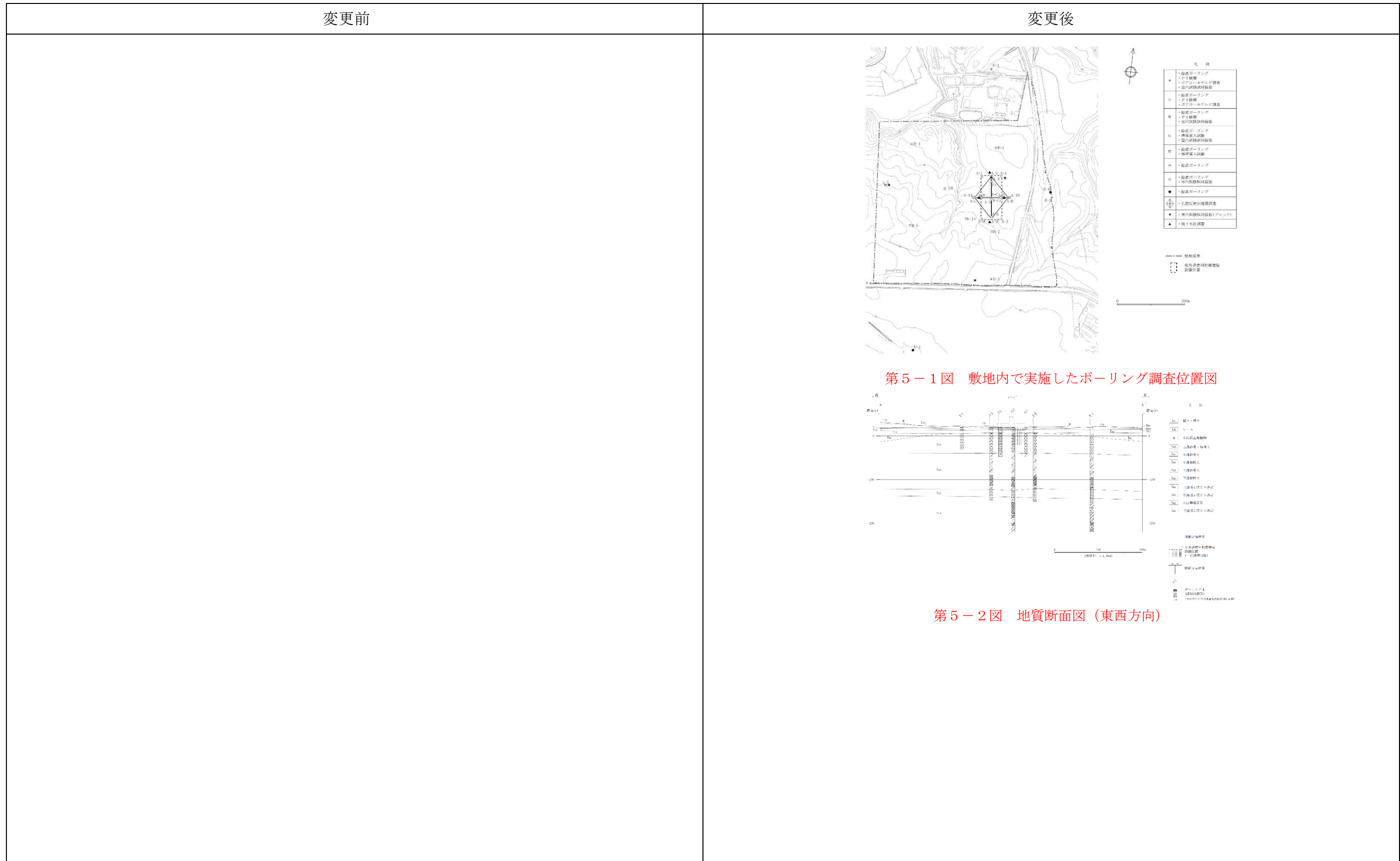


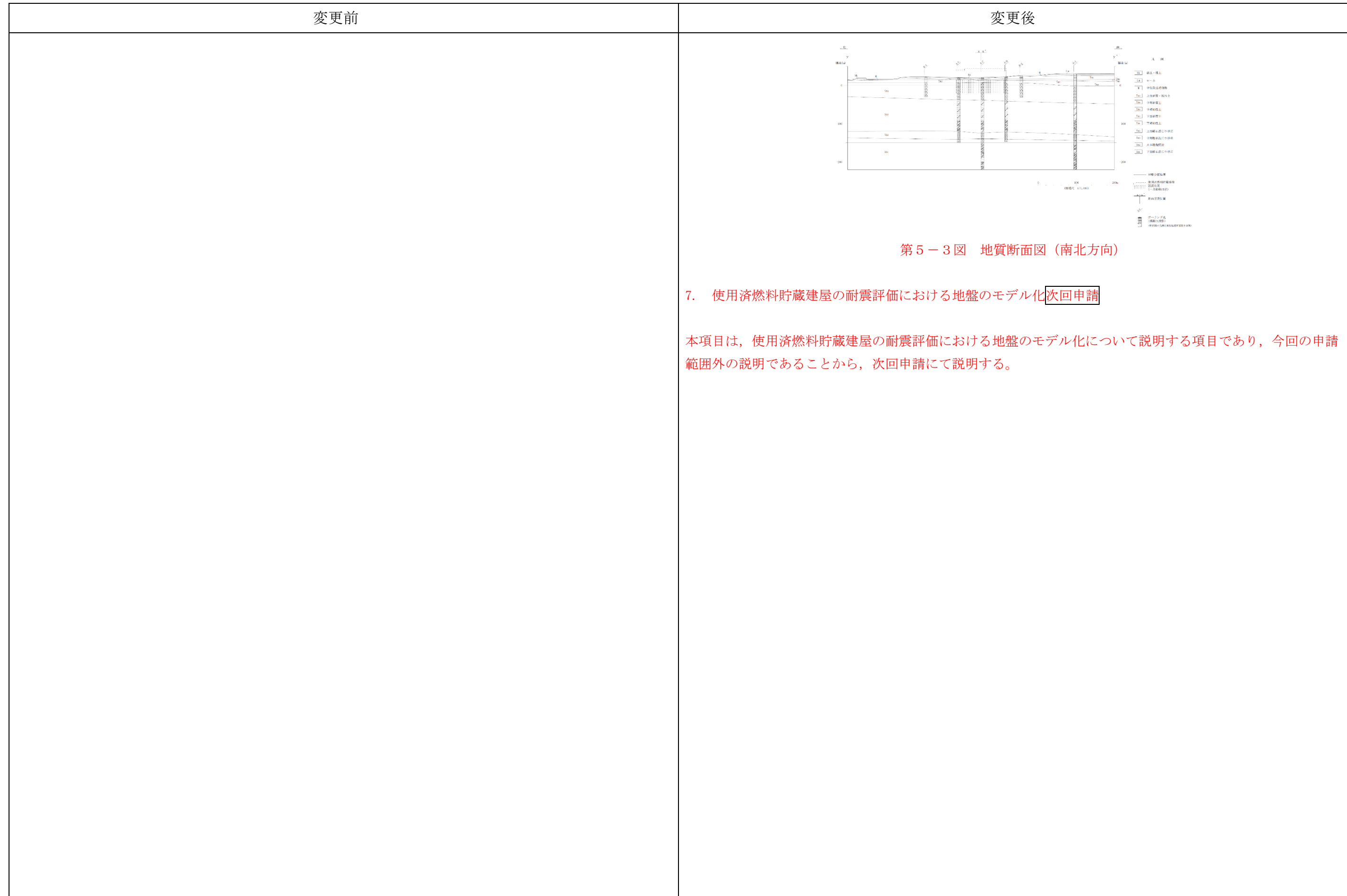
杭の押し込み試験の装置図（断面図）



杭の押し込み試験の載荷パターン

変更前	変更後
	<p>② 試験結果</p> <p>荷重と杭頭沈下量の関係を下図に示す。両対数で描いた荷重—杭頭沈下量曲線上に明瞭な折れ点が現れていないことから、杭及び基礎地盤の支持力は、最大荷重の <math>2.40 \times 10^7</math> N で第 1 限界抵抗力に達していないと判断される。</p> <div style="display: flex; justify-content: space-around;"> <div style="text-align: center;">  <p>荷重-杭頭沈下曲線</p> </div> <div style="text-align: center;">  <p>最大荷重 : <math>2.40 \times 10^7</math> N logP-logS 曲線</p> </div> </div> <p>5. 地質断面図</p> <p>貯蔵建屋の地震応答解析に用いる地質断面図は、評価対象地点近傍のボーリング調査等の結果に基づき、岩盤、堆積物及び埋戻土の分布を設定し作成する。</p> <p>敷地内で実施したボーリング調査位置図を第 5-1 図に、地質断面図を第 5-2 図及び第 5-3 図に示す。</p>





#### 7. 使用済燃料貯蔵建屋の耐震評価における地盤のモデル化次回申請

本項目は、使用済燃料貯蔵建屋の耐震評価における地盤のモデル化について説明する項目であり、今回の申請範囲外の説明であることから、次回申請にて説明する。

耐震Cクラスの耐震基本方針及び評価に関し、変更前、変更後の内容を示す（赤字：修正箇所）。

変更前					変更後																																																																																		
添付書類3 使用済燃料貯蔵施設の技術基準への適合性に関する説明書 添付5-8 耐震Cクラスの耐震基本方針及び評価 1. 概要 ～（中略）～					添付書類3 使用済燃料貯蔵施設の技術基準への適合性に関する説明書 添付5-8 耐震Cクラスの耐震基本方針及び評価 1. 概要 ～（中略）～																																																																																		
4. 荷重及び荷重の組合せ 4.1 建物・構築物 ～（中略）～					4. 荷重及び荷重の組合せ 4.1 建物・構築物 ～（中略）～																																																																																		
4.2 機器・配管系 JEAG 4601 及び設計・建設規格に規定されている地震力以外の荷重を考慮する。また、JEAG 4601 の荷重の組合せの考え方に基づき、地震力と地震以外の荷重を組み合わせて評価する。 今回申請設備の電気設備については、貯蔵時の状態で作用する荷重はないため、静的地震力と常時作用している荷重、すなわち死荷重を組み合わせる。 ～（中略）～					4.2 機器・配管系 JEAG 4601 及び設計・建設規格に規定されている地震力以外の荷重を考慮する。また、JEAG 4601 の荷重の組合せの考え方に基づき、地震力と地震以外の荷重を組み合わせて評価する。 今回申請設備の電気設備については、貯蔵時の状態で作用する荷重、金属キャスク取り扱いの状態で作用する荷重はないため、静的地震力と常時作用している荷重、すなわち死荷重を組み合わせる。 ～（中略）～																																																																																		
5.3 対象設備の評価項目 今回申請設備である電気設備について評価項目を以下に示す。なお、次回申請設備については次回申請にて評価項目を示す。					5.3 対象設備の評価項目 今回申請設備である電気設備について評価項目を以下に示す。なお、次回申請設備については次回申請にて評価項目を示す。																																																																																		
<table border="1"> <thead> <tr> <th>設備分類</th><th>設備名称</th><th>評価部位</th><th colspan="2">許容限界</th><th>設備分類</th><th>設備名称</th><th>評価部位</th><th colspan="2">許容限界</th></tr> </thead> <tbody> <tr> <td rowspan="3">機器・配管系</td><td>無停電電源装置</td><td rowspan="3">基礎ボルト</td><td rowspan="2">一次応力</td><td>せん断</td><td rowspan="3">機器・配管系</td><td>無停電電源装置</td><td rowspan="3">(注1)</td><td rowspan="2">一次応力</td><td>せん断</td></tr> <tr> <td>共用無停電電源装置</td><td></td><td>共用無停電電源装置</td><td></td></tr> <tr> <td>電気設備（常用電源設備）</td><td></td><td></td><td>電気設備（常用電源設備）</td><td></td><td></td></tr> <tr> <td rowspan="6">容器</td><td rowspan="4">軽油貯蔵タンク</td><td rowspan="2">胴</td><td>一次一般膜応力</td><td></td><td rowspan="6">容器</td><td rowspan="2">軽油貯蔵タンク</td><td rowspan="4">胴</td><td>一次一般膜応力</td><td></td></tr> <tr> <td>一次応力</td><td></td><td>一次応力</td><td></td></tr> <tr> <td>固定バンド</td><td>一次応力</td><td>引張り</td><td>固定バンド</td><td>一次応力</td><td>引張り</td></tr> <tr> <td>アンカーボルト</td><td>一次応力</td><td>引張り</td><td>アンカーボルト</td><td>一次応力</td><td>引張り</td></tr> <tr> <td rowspan="4">タンク室</td><td rowspan="2">鉄筋</td><td>地震時応力</td><td></td><td rowspan="2">タンク室</td><td rowspan="2">鉄筋</td><td>地震時応力</td><td></td></tr> <tr> <td>コンクリート</td><td>圧縮</td><td>コンクリート</td><td>せん断</td></tr> <tr> <td colspan="2">車両</td><td>(評価対象物) 電源車</td><td>(許容状態) 地震力による車両の移動がないこと。※</td><td></td><td>車両</td><td>電源車</td><td>(評価対象物) 電源車</td><td>(許容状態) 地震力による車両の移動がないこと。(注2)</td><td></td></tr> </tbody> </table>										設備分類	設備名称	評価部位	許容限界		設備分類	設備名称	評価部位	許容限界		機器・配管系	無停電電源装置	基礎ボルト	一次応力	せん断	機器・配管系	無停電電源装置	(注1)	一次応力	せん断	共用無停電電源装置		共用無停電電源装置		電気設備（常用電源設備）			電気設備（常用電源設備）			容器	軽油貯蔵タンク	胴	一次一般膜応力		容器	軽油貯蔵タンク	胴	一次一般膜応力		一次応力		一次応力		固定バンド	一次応力	引張り	固定バンド	一次応力	引張り	アンカーボルト	一次応力	引張り	アンカーボルト	一次応力	引張り	タンク室	鉄筋	地震時応力		タンク室	鉄筋	地震時応力		コンクリート	圧縮	コンクリート	せん断	車両		(評価対象物) 電源車	(許容状態) 地震力による車両の移動がないこと。※		車両	電源車	(評価対象物) 電源車	(許容状態) 地震力による車両の移動がないこと。(注2)	
設備分類	設備名称	評価部位	許容限界		設備分類	設備名称	評価部位	許容限界																																																																															
機器・配管系	無停電電源装置	基礎ボルト	一次応力	せん断	機器・配管系	無停電電源装置	(注1)	一次応力	せん断																																																																														
	共用無停電電源装置					共用無停電電源装置																																																																																	
	電気設備（常用電源設備）					電気設備（常用電源設備）																																																																																	
容器	軽油貯蔵タンク	胴	一次一般膜応力		容器	軽油貯蔵タンク	胴	一次一般膜応力																																																																															
			一次応力					一次応力																																																																															
		固定バンド	一次応力	引張り		固定バンド		一次応力	引張り																																																																														
		アンカーボルト	一次応力	引張り		アンカーボルト		一次応力	引張り																																																																														
	タンク室	鉄筋	地震時応力			タンク室	鉄筋	地震時応力																																																																															
			コンクリート	圧縮				コンクリート	せん断																																																																														
車両		(評価対象物) 電源車	(許容状態) 地震力による車両の移動がないこと。※		車両	電源車	(評価対象物) 電源車	(許容状態) 地震力による車両の移動がないこと。(注2)																																																																															
<p style="color: red;">(注1) 一般的に電気盤の耐震評価は据付部のボルトを評価対象としており、使用済燃料貯蔵施設における電気計装機器の盤についても同様としている。電気計装機器の盤について、筐体は、鉄板とフレームで構</p>																																																																																							

変更前	変更後
<p>※水平地震力が路面とタイヤの摩擦力を下回ることにより確認する。</p> <p>6. 評価方法及び設計用地震力</p> <p>6.1 評価方法</p> <p>今回申請設備である電気設備について評価方法を以下に示す。なお、次回申請設備については次回申請にて評価方法を示す。</p> <p>(1) 無停電電源装置、共用無停電源装置、電気設備（常用電源）</p> <p>無停電電源装置、共用無停電源装置、電気設備（常用電源）は盤で構成された設備である。盤は基礎ボルトで固定されており、耐震計算については水平地震力に対する基礎ボルトのせん断応力の評価を行う。また、ベースの上に複数の盤が据付けられている場合は、ベース単位で評価を行う。評価の具体例を「添付 5-8-1 無停電電源装置、共用無停電電源装置の計算方法に関する説明書」に示す。</p> <p>～（中略）～</p> <p>6.2 電気設備の設計用地震力</p> <p>耐震Cクラスである電気設備の設計用地震力は静的地震力とする。</p> <p>電気設備は、貯蔵建屋、受変電建屋、施設南側高台に設置される。各建屋、設置場所における水平震度について以下に記載する。</p> <p>～（中略）～</p> <p>(2) 受変電建屋に設置される電気設備の水平震度</p> <p>受変電建屋は地表面に設置されており、1階のみの構造である。そのため受変電建屋に設置される共用無停電電源装置の水平震度は「第6-1表 貯蔵建屋内の耐震Cクラス設備における水平震度（1.2C<sub>i</sub>）」のT.P. 16.3 (m) と同様の値となり、NS, EWともに0.24である。</p> <p>(3) 施設南側高台に設置される電気設備の水平震度</p> <p>施設南側高台に配置、設置する設備は、電源車と軽油貯蔵タンク（地下式）である。</p> <p>電源車の配置面は地表面であり、電源車の水平震度は「表3-2 貯蔵建屋内の耐震Cクラス設備における水平震度（1.2C<sub>i</sub>）」のT.P. 16.3 (m) と同様の値となり、NS, EWともに0.24である。</p> <p>軽油貯蔵タンク（地下式）の水平震度は、「表7-2 貯蔵建屋内の耐震Cクラス設備における水平震度（1.2C<sub>i</sub>）」のT.P. 16.3 (m) の値である0.24とする。</p>	<p>成された構造で、その構造強度は十分大きいものである。そのためCクラスの地震力に対して転倒しないことを確認するため、基礎ボルトを評価する。</p> <p>(注2) 水平地震力が路面とタイヤの摩擦力を下回ることにより確認する。</p> <p>6. 評価方法及び設計用地震力</p> <p>6.1 評価方法</p> <p>今回申請設備である電気設備について評価方法を以下に示す。なお、次回申請設備については次回申請にて評価方法を示す。</p> <p>(1) 盤</p> <p>無停電電源装置、共用無停電源装置、電気設備（常用電源）は盤で構成された設備である。盤は基礎ボルトで固定されており、耐震計算については水平地震力に対する基礎ボルトのせん断応力の評価を行う。また、ベースの上に複数の盤が据付けられている場合は、ベース単位で評価を行う。評価の具体例を「添付 5-8-1 盤の計算方法に関する説明書」に示す。</p> <p>～（中略）～</p> <p>6.2 電気設備の設計用地震力</p> <p>耐震Cクラスである電気設備の設計用地震力は静的地震力とする。</p> <p>電気設備は、貯蔵建屋、受変電施設、南側高台及び南東側高台に設置される。各建屋、設置場所における水平震度について以下に記載する。</p> <p>～（中略）～</p> <p>(2) 受変電施設に設置される電気設備の水平震度</p> <p>受変電施設は地表面に設置されており、1階のみの構造である。そのため受変電施設に設置される共用無停電電源装置の水平震度は「第6-1表 貯蔵建屋内の耐震Cクラス設備における水平震度（1.2C<sub>i</sub>）」のT.P. 16.3 (m) と同様の値となり、NS, EWともに0.24である。</p> <p>(3) 南側高台に設置される電気設備の水平震度</p> <p>南側高台に配置、設置する設備は、電源車である。</p> <p>電源車の配置面は地表面であり、電源車の水平震度は「表3-2 貯蔵建屋内の耐震Cクラス設備における水平震度（1.2C<sub>i</sub>）」のT.P. 16.3 (m) と同様の値となり、NS, EWともに0.24である。</p> <p>(4) 南東側高台に設置される電気設備の水平震度</p> <p>軽油貯蔵タンク（地下式）の水平震度は、「表7-2 貯蔵建屋内の耐震Cクラス設備における水平震度（1.2C<sub>i</sub>）」のT.P. 16.3 (m) の値である0.24とする。</p>

変更前					変更後					
7. 評価結果					7. 評価結果					
～（中略）～					～（中略）～					
(2) 軽油貯蔵タンク					(2) 軽油貯蔵タンク					
a. 軽油貯蔵タンク					a. 軽油貯蔵タンク					
(単位 : MPa)					(単位 : MPa)					
部位	材料	応力	計算応力	許容応力	部位	材料	応力	計算応力	許容応力	
		一次一般膜	$\sigma_0 = 7$	$S_a = 208$			一次一般膜	$\sigma_0 = 7$	$S_a = 208$	
胴板	SS400	一次	$\sigma_1 = 7$	$S_a = 208$			一次	$\sigma_1 = 7$	$S_a = 208$	
		固定バンド	SS400	引張り	$\sigma_{FB} = 48$	$f_t = 208$	固定バンド	SS400	引張り	$\sigma_{FB} = 48$
アンカー ボルト	SS400	引張り	$\sigma_b = 47$	$f_{to} = 156$	アンカー ボルト	SS400	引張り	$\sigma_b = 47$	$f_{to} = 156$	判定

～（以下省略）～

～（以下省略）～

無停電電源装置、共用無停電電源装置の計算方法に関する説明書に関し、変更前、変更後の内容を示す（赤字：修正箇所）。

変更前	変更後
<p>添付書類3 使用済燃料貯蔵施設の技術基準への適合性に関する説明書</p> <p>添付5-8-1 無停電電源装置、共用無停電電源装置の計算方法に関する説明書</p> <p>1. 概要</p> <p>本資料は、無停電電源装置（予備電源）及び共用無停電電源装置の計算方法について説明するものである。</p> <p>～（以下省略）～</p>	<p>添付書類3 使用済燃料貯蔵施設の技術基準への適合性に関する説明書</p> <p>添付5-8-1 盤の計算方法に関する説明書</p> <p>1. 概要</p> <p>本資料は、盤の計算方法として無停電電源装置（予備電源）及び共用無停電電源装置の計算方法について説明するものである。</p> <p>～（以下省略）～</p>

軽油貯蔵タンク（地下式）の計算方法に関する説明書に関し、変更前、変更後の内容を示す（赤字：修正箇所）。

変更前	変更後																																										
添付書類3 使用済燃料貯蔵施設の技術基準への適合性に関する説明書 添付5-8-2 軽油貯蔵タンク（地下式）の計算方法に関する説明書  ～（中略）～	添付書類3 使用済燃料貯蔵施設の技術基準への適合性に関する説明書 添付5-8-2 軽油貯蔵タンク（地下式）の計算方法に関する説明書  ～（中略）～																																										
	3.5 地盤の支持性能に関する検討																																										
	地盤の許容支持応力度																																										
	<table border="1"> <thead> <tr> <th>地盤の許容支持応力度</th> <th>長期</th> <th>短期</th> <th>極限</th> </tr> </thead> <tbody> <tr> <td>※ (kN/m<sup>2</sup>)</td> <td>50</td> <td>100</td> <td>—</td> </tr> </tbody> </table>	地盤の許容支持応力度	長期	短期	極限	※ (kN/m <sup>2</sup> )	50	100	—																																		
地盤の許容支持応力度	長期	短期	極限																																								
※ (kN/m <sup>2</sup> )	50	100	—																																								
	※建築基準法施行令第93条の表に示される値（ローム層）より設定。																																										
	重量、地震荷重																																										
	<table border="1"> <thead> <tr> <th></th> <th>基礎底面から の高さ (m)</th> <th>重量 (kN)</th> <th>水平震度 ※</th> <th>Q (kN)</th> <th>M (kN・m)</th> </tr> </thead> <tbody> <tr> <td>上載荷重</td> <td>2.832</td> <td>352.8</td> <td>0.3</td> <td>105.9</td> <td>300.0</td> </tr> <tr> <td>タンク</td> <td>1.061</td> <td>15.7</td> <td>0.3</td> <td>4.8</td> <td>5.1</td> </tr> <tr> <td>軽油</td> <td>1.061</td> <td>39.2</td> <td>0.3</td> <td>11.8</td> <td>12.6</td> </tr> <tr> <td>乾燥砂</td> <td>1.416</td> <td>261.8</td> <td>0.3</td> <td>78.6</td> <td>111.3</td> </tr> <tr> <td>タンク室</td> <td>1.416</td> <td>994.0</td> <td>0.3</td> <td>298.2</td> <td>422.3</td> </tr> <tr> <td>合計</td> <td></td> <td>1663.5</td> <td></td> <td>499.3</td> <td>851.3</td> </tr> </tbody> </table>		基礎底面から の高さ (m)	重量 (kN)	水平震度 ※	Q (kN)	M (kN・m)	上載荷重	2.832	352.8	0.3	105.9	300.0	タンク	1.061	15.7	0.3	4.8	5.1	軽油	1.061	39.2	0.3	11.8	12.6	乾燥砂	1.416	261.8	0.3	78.6	111.3	タンク室	1.416	994.0	0.3	298.2	422.3	合計		1663.5		499.3	851.3
	基礎底面から の高さ (m)	重量 (kN)	水平震度 ※	Q (kN)	M (kN・m)																																						
上載荷重	2.832	352.8	0.3	105.9	300.0																																						
タンク	1.061	15.7	0.3	4.8	5.1																																						
軽油	1.061	39.2	0.3	11.8	12.6																																						
乾燥砂	1.416	261.8	0.3	78.6	111.3																																						
タンク室	1.416	994.0	0.3	298.2	422.3																																						
合計		1663.5		499.3	851.3																																						
	※水平震度は消防法関連告示「危険物の規制に関する技術上の基準の細目を定める告示 第四条の二十三」に示された計算方法により算定される値の最大値である0.3とする。この値は、地表面に設置される耐震Cクラス設備の耐震設計に求められる水平震度0.24より大きな値である。																																										
	接地圧の検討																																										
	<table border="1"> <thead> <tr> <th>検討方向</th> <th colspan="3">短辺方向</th> </tr> </thead> <tbody> <tr> <td>地盤の許容支持応力度（長期）</td> <td>q<sub>L</sub></td> <td>(kN/m<sup>2</sup>)</td> <td>50</td> </tr> <tr> <td>地盤の許容支持応力度（短期）</td> <td>q<sub>S</sub></td> <td>(kN/m<sup>2</sup>)</td> <td>100</td> </tr> <tr> <td>鉛直力</td> <td>N</td> <td>(kN)</td> <td>1663.5</td> </tr> <tr> <td>転倒モーメント</td> <td>M</td> <td>(kN・m)</td> <td>851.3</td> </tr> <tr> <td>基礎の短辺長さ</td> <td>L<sub>1</sub></td> <td>(m)</td> <td>4.8</td> </tr> <tr> <td>基礎の長辺長さ</td> <td>L<sub>2</sub></td> <td>(m)</td> <td>7.35</td> </tr> <tr> <td>基礎の底面積</td> <td>A</td> <td>(m<sup>2</sup>)</td> <td>35.28</td> </tr> <tr> <td>限界モーメント (N・L<sub>1</sub>/6)</td> <td>M<sub>0</sub></td> <td>(kN・m)</td> <td>1330.8</td> </tr> </tbody> </table>	検討方向	短辺方向			地盤の許容支持応力度（長期）	q <sub>L</sub>	(kN/m <sup>2</sup> )	50	地盤の許容支持応力度（短期）	q <sub>S</sub>	(kN/m <sup>2</sup> )	100	鉛直力	N	(kN)	1663.5	転倒モーメント	M	(kN・m)	851.3	基礎の短辺長さ	L <sub>1</sub>	(m)	4.8	基礎の長辺長さ	L <sub>2</sub>	(m)	7.35	基礎の底面積	A	(m <sup>2</sup> )	35.28	限界モーメント (N・L <sub>1</sub> /6)	M <sub>0</sub>	(kN・m)	1330.8						
検討方向	短辺方向																																										
地盤の許容支持応力度（長期）	q <sub>L</sub>	(kN/m <sup>2</sup> )	50																																								
地盤の許容支持応力度（短期）	q <sub>S</sub>	(kN/m <sup>2</sup> )	100																																								
鉛直力	N	(kN)	1663.5																																								
転倒モーメント	M	(kN・m)	851.3																																								
基礎の短辺長さ	L <sub>1</sub>	(m)	4.8																																								
基礎の長辺長さ	L <sub>2</sub>	(m)	7.35																																								
基礎の底面積	A	(m <sup>2</sup> )	35.28																																								
限界モーメント (N・L <sub>1</sub> /6)	M <sub>0</sub>	(kN・m)	1330.8																																								

変更前	変更後			
浮き上がり有無				無
偏心距離 (M/N)	e	(m)	0.51	
中立軸※1	Xn	(m)	6.16	
接地率	$\eta$	%	100	
平均接地圧 (N/A)	$\sigma_0$	(kN/m <sup>2</sup> )	47.2	
接地圧係数※2	$\alpha$		1.64	
最大接地圧 ( $\alpha \cdot \sigma_0$ )	$\sigma_{max}$	(kN/m <sup>2</sup> )	77.5	
判定 (長期 : 地盤の許容支持応力度 (長期) $\geq$ 平均接地圧)		OK		
判定 (短期 : 地盤の許容支持応力度 (短期) $\geq$ 最大接地圧)		OK		

※1 浮き上がり有 :  $3(L_1/2 - e)$  , 浮き上がり無 :  $(L_1/2) \cdot (1 + L_1/6e)$

※2 浮き上がり有 :  $2L_1/X_n$  , 浮き上がり無 :  $1 + 6e/L_1$

以上より、軽油貯蔵タンク（地下式）は、耐震Cクラス施設に適用される地震力が作用した場合においても当該施設、設備を十分に支持することができる地盤に設置されたものであることを確認した。

電源車の計算方法に関する説明書に関し、変更前、変更後の内容を示す（赤字：修正箇所）。

変更前	変更後																																				
添付書類3 使用済燃料貯蔵施設の技術基準への適合性に関する説明書 添付5-8-3 電源車の計算方法に関する説明書 1. 概要  ～（中略）～	添付書類3 使用済燃料貯蔵施設の技術基準への適合性に関する説明書 添付5-8-3 電源車の計算方法に関する説明書 1. 概要  ～（中略）～																																				
4. 記号の説明	4. 記号の説明																																				
<table border="1"> <thead> <tr> <th>記号</th><th>記号の説明</th><th>単位</th></tr> </thead> <tbody> <tr> <td>a</td><td>設計地震力による加速度</td><td>m/s<sup>2</sup></td></tr> <tr> <td>C<sub>H</sub></td><td>水平方向設計震度</td><td>—</td></tr> <tr> <td>g</td><td>重力加速度(=9.80665)</td><td>m/s<sup>2</sup></td></tr> <tr> <td>m</td><td>電源車の質量</td><td>kg</td></tr> <tr> <td><math>\mu_s</math></td><td>電源車と路面の静摩擦係数※</td><td>—</td></tr> </tbody> </table>	記号	記号の説明	単位	a	設計地震力による加速度	m/s <sup>2</sup>	C <sub>H</sub>	水平方向設計震度	—	g	重力加速度(=9.80665)	m/s <sup>2</sup>	m	電源車の質量	kg	$\mu_s$	電源車と路面の静摩擦係数※	—	<table border="1"> <thead> <tr> <th>記号</th><th>記号の説明</th><th>単位</th></tr> </thead> <tbody> <tr> <td>a</td><td>設計地震力による加速度</td><td>m/s<sup>2</sup></td></tr> <tr> <td>C<sub>H</sub></td><td>水平方向設計震度</td><td>—</td></tr> <tr> <td>g</td><td>重力加速度(=9.80665)</td><td>m/s<sup>2</sup></td></tr> <tr> <td>m</td><td>電源車の質量</td><td>kg</td></tr> <tr> <td><math>\mu_s</math></td><td>電源車と路面の静摩擦係数※(=0.44)</td><td>—</td></tr> </tbody> </table>	記号	記号の説明	単位	a	設計地震力による加速度	m/s <sup>2</sup>	C <sub>H</sub>	水平方向設計震度	—	g	重力加速度(=9.80665)	m/s <sup>2</sup>	m	電源車の質量	kg	$\mu_s$	電源車と路面の静摩擦係数※(=0.44)	—
記号	記号の説明	単位																																			
a	設計地震力による加速度	m/s <sup>2</sup>																																			
C <sub>H</sub>	水平方向設計震度	—																																			
g	重力加速度(=9.80665)	m/s <sup>2</sup>																																			
m	電源車の質量	kg																																			
$\mu_s$	電源車と路面の静摩擦係数※	—																																			
記号	記号の説明	単位																																			
a	設計地震力による加速度	m/s <sup>2</sup>																																			
C <sub>H</sub>	水平方向設計震度	—																																			
g	重力加速度(=9.80665)	m/s <sup>2</sup>																																			
m	電源車の質量	kg																																			
$\mu_s$	電源車と路面の静摩擦係数※(=0.44)	—																																			
※：「道路構造令 5. 視距」湿潤状態の路面の制動停止距離  ～（中略）～	※：「道路構造令 5. 視距」湿潤状態の路面の制動停止距離より 地震力が発生した際の電源車は停止状態であるが 保守的に走行速度 20km/h の摩擦係数 0.44 を使用。  ～（中略）～																																				
	7. 地盤の支持性能に関する検討																																				
	地盤の許容支持応力度																																				
	<table border="1"> <thead> <tr> <th rowspan="2">地盤の許容支持応力度 ※ (kN/m<sup>2</sup>)</th><th>長期</th><th>短期</th><th>極限</th></tr> <tr> <th>50</th><th>100</th><th>—</th></tr> </thead> </table>	地盤の許容支持応力度 ※ (kN/m <sup>2</sup> )	長期	短期	極限	50	100	—																													
地盤の許容支持応力度 ※ (kN/m <sup>2</sup> )	長期		短期	極限																																	
	50	100	—																																		
	※建築基準法施行令第93条の表に示される値（ローム層）より設定。																																				
	重量、地震荷重																																				
	<table border="1"> <thead> <tr> <th></th><th>基礎底面から の高さ ※1 (m)</th><th>重量 (kN)</th><th>水平震度 ※2</th><th>Q (kN)</th><th>M (kN·m)</th></tr> </thead> <tbody> <tr> <td>上載荷重</td><td>0.500</td><td>144.9</td><td>0.24</td><td>34.8</td><td>17.4</td></tr> <tr> <td>電源車</td><td>1.543</td><td>78.4</td><td>0.24</td><td>18.9</td><td>29.2</td></tr> <tr> <td>基礎</td><td>0.250</td><td>170.4</td><td>0.24</td><td>40.9</td><td>10.3</td></tr> <tr> <td>合計</td><td></td><td>393.7</td><td></td><td>94.6</td><td>56.9</td></tr> </tbody> </table>		基礎底面から の高さ ※1 (m)	重量 (kN)	水平震度 ※2	Q (kN)	M (kN·m)	上載荷重	0.500	144.9	0.24	34.8	17.4	電源車	1.543	78.4	0.24	18.9	29.2	基礎	0.250	170.4	0.24	40.9	10.3	合計		393.7		94.6	56.9						
	基礎底面から の高さ ※1 (m)	重量 (kN)	水平震度 ※2	Q (kN)	M (kN·m)																																
上載荷重	0.500	144.9	0.24	34.8	17.4																																
電源車	1.543	78.4	0.24	18.9	29.2																																
基礎	0.250	170.4	0.24	40.9	10.3																																
合計		393.7		94.6	56.9																																
	※1 基礎の厚さを 0.5m と設定する。																																				
	※2 水平震度は、地表面に設置される耐震Cクラス設備の耐震設計に求められる水平震度である 0.24 とする。																																				

変更前	変更後							
接地圧の検討								
検討方向								
地盤の許容支持応力度（長期）	$q_L$	(kN/m <sup>2</sup> )	50	短辺方向				
地盤の許容支持応力度（短期）	$q_S$	(kN/m <sup>2</sup> )	100					
鉛直力	N	(kN)	393.7					
転倒モーメント	M	(kN·m)	56.9					
基礎の短辺長さ※1	$L_1$	(m)	2.18					
基礎の長辺長さ※1	$L_2$	(m)	6.645					
基礎の底面積	A	(m <sup>2</sup> )	14.49					
限界モーメント (N · L <sub>1</sub> /6)	$M_0$	(kN·m)	143.0					
浮き上がり有無			無					
偏心距離 (M/N)	e	(m)	0.14					
中立軸※2	Xn	(m)	3.92					
接地率	$\eta$	%	100					
平均接地圧 (N/A)	$\sigma_0$	(kN/m <sup>2</sup> )	27.2					
接地圧係数※3	$\alpha$		1.39					
最大接地圧 ( $\alpha \cdot \sigma_0$ )	$\sigma_{max}$	(kN/m <sup>2</sup> )	37.9					
判定（長期：地盤の許容支持応力度（長期） $\geq$ 平均接地圧）			OK					
判定（短期：地盤の許容支持応力度（短期） $\geq$ 最大接地圧）			OK					

※1 基礎の短辺長さ、長辺長さは、電源車の全幅、全長で設定する。

※2 浮き上がり有：3(L<sub>1</sub>/2-e) , 浮き上がり無：(L<sub>1</sub>/2) · (1+L<sub>1</sub>/6e)

※3 浮き上がり有：2L<sub>1</sub>/Xn , 浮き上がり無：1+6e/L<sub>1</sub>

以上より、電源車は、耐震Cクラス施設に適用される地震力が作用した場合においても当該施設、設備を十分に支持することができる地盤に設置されたものであることを確認した。

## 電気盤の耐震性について

## 1. はじめに

一般的に電気盤の耐震評価は据付部のボルトを評価対象としており、リサイクル燃料備蓄センターにおける電気設備の無停電電源装置の電気盤についても同様としている。本資料は、その妥当性を補足するものである。

## 2. 目的

電気盤の筐体は、鉄板とフレームで構成された構造で、その構造強度は十分大きいものである。ここでは、筐体の構造強度について簡易的な構造で概略検討を行い、その構造強度が十分であることを確認する。

## 3. 無停電電源装置の電気盤の筐体の仕様

a. 電気盤の筐体の寸法は以下のとおり。

幅  $B_1$  : 6,600 mm

奥行  $H_1$  : 1,200 mm

高さ  $H$  : 2,350 mm

板厚  $t$  : 2.3 mm

## 4. 評価方法

無停電電源装置の電気盤の筐体に関する断面係数を筐体本体板厚のみで簡易的に算定し、筐体の応力を概算することで、筐体の強度を確認する。

a. 電気盤の筐体の断面係数

(機械工学便覧 α 3 編材料力学 α -22 ページ参照)

$$\text{断面係数 } Z_a = \frac{1}{6} \cdot B_1 \cdot H_1^2 - \frac{1}{6} \cdot B_2 \cdot H_2^2$$

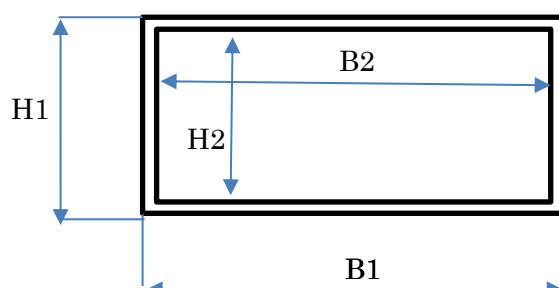
$$= 13,216,276 \text{ mm}^3$$

$$B_1 = 6,600 \text{ mm}$$

$$H_1 = 1,200 \text{ mm}$$

$$B_2 = 6,600 - 2 \cdot 2.3 \cdot 2 = 6,595.4 \text{ mm}$$

$$H_2 = 1,200 - 2 \cdot 2.3 \cdot 2 = 1,195.4 \text{ mm}$$



$$\text{筐体の応力 } \sigma = M / Z_a \quad (\text{ここで } M \text{ は盤の転倒モーメント})$$

$$= 3.01 \text{ [MPa]}$$

$$M = C_H \cdot W \cdot g \cdot h$$

$C_H$ : 水平方向設計震度	(0.24)
W : 盤の質量	(15,000kg)
g : 重力加速度	(9.80665m/s <sup>2</sup> )
h : 重心高さ	(1,125 mm)

このとおり、無停電電源装置の電気盤の筐体に対する概略評価では、筐体の応力を確認でき、筐体の健全性は確認した。

今回の概略検討では、筐体内部の構造体は強度計算では考慮しておらず、実際の応力はさらに小さくなることから基礎ボルトを耐震評価対象部位とすることは妥当であると考える。

以上